


Souřadnicový systém S-JTSK

Výškový systém Bpv



projektová, průzkumná a konzultační společnost

PUDIS a.s., Nad Vodovodem 2/3258, 100 31 Praha 10
tel.: +420 274 776 645, fax: +420 274 778 656, www.pudis.cz, info@pudis.cz

Vypracoval: Ing. Dušan Drahoš Kateřina Gregorová		Hlavní inženýr projektu: Ing. Michal Turek	Razítko:  PUDIS a.s. 100 31 Praha 10, Nad Vodovodem 2/3258 IČO: 45272891 DIČ: 010-45272891 tel.: 274 776 642, fax: 274 776 643 -10-		
Vedoucí projektant: Ing. Petr Duník		Kontroloval: Ing. Jan Křížek, CSc.	Číslo zakázky: 1-3741-0001-02		
Investor: Správa a údržba silnic Jihomoravského kraje, příspěvková organizace, Žerotínovo nám. 3/5, 601 82, Brno		Ředitel střediska: Ing. Václav Krch			
Akce: III/37418, 37417 Podolí průtah a most 37417-1			Měřítko:	Formát: 85 x A4	Datum: 10/2013
Příloha: SO 201 Most 37417-1 STATICKÝ VÝPOČET			Stupeň: DSP, PDPS		Souprava:
			Číslo přílohy: C.2.1.13		



Statický výpočet

SO 201

Most č.e. 37417-1

Návrh a posouzení mostního objektu a opěrných konstrukcí
--

Vypracovali:

Ing. Dušan Drahoš
Ing. Petr Duník

Praha, říjen 2013

Firma: PUDIS a.s.
Adresa: Nad Vodovodem 2/3258
100 31 Praha 10 – Strašnice
IČ: 45272891
DIČ: CZ45272891

Obsah:

Zpráva ke statickému výpočtu.....	5
1. Předmět a účel statického posouzení	5
2. Popis objektu	5
3. Materiály	5
4. Podloží	5
5. Zatížení	5
6. Kombinace zatížení	6
7. Použité podklady a předpisy.....	6
8. Použitý software	7
9. Navržené dimenze.....	7
10. Navržená výztuž	7
11. Vyhodnocení výsledků.....	8
Statický výpočet.....	9
I. Rám.....	9
1. Charakteristiky modelu a postup výpočtu.....	9
2. Zatížení.....	11
3. MSÚ - vnitřní síly	17
4. MSP - charakteristické kombinace - vnitřní síly.....	19
5. MSP - kvazistálá kombinace - vnitřní síly	21
6. Reakce v - MSÚ	22
7. Posouzení průhybu a vázaného smršťování	22
II. Křídlo.....	25
1. Charakteristiky modelu a postup výpočtu.....	25
2. Posouzení MSÚ - ohyb, smyk; MSP - šířka trhlin	26
III. Úhlové zdi Z1 a Z2.....	42
1. Charakteristiky modelu	42
2. Výpočet.....	42
IV. Opěrná konstrukce na pilotovém základu.....	54
1. Charakteristika modelu	54

2.	Výpočet	54
V.	Pilotový práh	59
1.	Charakteristika modelu	59
2.	Zatížení, vnitřní síly	59
VI.	Pilotový základ mostu	65
1.	Výpočet a posouzení	65
VII.	Posouzení vybraných průřezů	66
1.	Stručné shrnutí výsledků posouzení řezů	71
2.	Posouzení řezů	71
VIII.	Navržená výztuž - uspořádání	79
IX.	Konstrukční zásady pro vázanou výztuž	82

ZPRÁVA KE STATICKÉMU VÝPOČTU

1. Předmět a účel statického posouzení

Předmětem tohoto statické výpočtu je návrh a posouzení hlavních nosných prvků konstrukce SO 201 Most č.e. 37417-1.

Posuzovány jsou tyto prvky:

- Základy - piloty, pilotový práh
- Nosná konstrukce - rám
- Křídlo
- Opěrné konstrukce - úhlové zdi Z1 a Z2, stěna na pilotovém základu

2. Popis objektu

Stavba SO 201 Most č.e. 37417-1 je součástí úpravy průtahu silnic III/37418, 37417 městem Podolí - Letovice. Mostní objekt převádí komunikaci III/37417 přes Míchovský potok.

Nosná konstrukce mostu je navržena jako přesýpaný jednopolový rám z monolitického železobetonu o rozpětí 4,87 m. Nosná konstrukce je hlubinně založena.

3. Materiály

Nosné konstrukce		
Beton	C30/37	Rámová konstrukce, křídla, úhlové zdi, opěrná konstrukce na pilotách
	C35/45	Piloty
Výztuž	B500B	Krytí výztuže u všech povrchů 40 / 50 mm (min/nom)


4. Podloží

Dle podrobného IG průzkumu jsou v zájmovém území očekávány:

- vrstva antropogenních navážek (AN)
- fluvialní a deluviální sedimenty (FL+DL)
- skalní podloží (permské pískovce a jílovce) - třída W5 od 3,5 m pod základovou spárou
- skalní podloží (permské pískovce a jílovce) - třída W4-W3 od 4,0 m pod základovou spárou
- skalní podloží (permské pískovce a jílovce) - třída W2 od 5,5 m pod základovou spárou

Pokud by nebyly kvalitativní podmínky v základové spáře nebo na patě pilot splněny, je nutné dle zjištěné skutečnosti navrhnout sanaci za účelem dosažení potřebných parametrů únosnosti a stability specifikované v kapitole V.

5. Zatížení

 PUDIS akciová společnost	Stavba:	Rekonstrukce průtahu silnic III/37418, 37417 a mostu č.e. 37417-1 v obci Letovice – Podolí
	Objekt:	SO 201 Most č.e. 37417-1

Stálá zatížení			
ZS1.1	Vlastní tíha		Generována softwarem
ZS1.2	Ostatní stálé - vozovka	0,10×0,22	2,20 kN/m ²
ZS1.2	Ostatní stálé - ŠD	0,15×23	3,45 kN/m ²
ZS1.3	Ostatní stálé - MZ	0,30×22	6,60 kN/m ²
Stálá geotechnická zatížení			
ZS2	Zemní tlak v klidu	tlak zeminy v přechodové oblasti	20 kN/m ³ , K ₀ = 0,55
Reologické vlivy			
ZS3	Smršťování	rovnoměrné ochlazení mostovky (rozdíl ve smršťování, které proběhne před betonáží mostovky v základové desce a stěnách opěr)	5,0 °C

Teplota			
ZS4.1	Rovnoměrné oteplení	Rovnoměrné oteplení desky mostovky	29,6 °C
ZS4.2	Rovnoměrné ochlazení	Rovnoměrné ochlazení desky mostovky	-30,1 °C
ZS4.3	Lineární oteplení	Lineární oteplení horního povrchu mostovky	15,0 °C (-7,5 °C / +7,5 °C)
ZS4.4	Lineární ochlazení	Lineární ochlazení horního povrchu mostovky	8,0 °C (-4,0 °C / +4,0 °C)

Doprava			
ZS5.1	LM1 - TS	600×1,0 (α _{Q1} = 1,0) roznášecí plocha 3×5 m	40 kN/m ²
ZS5.2	LM1 - UDL	9×1,0 (α _{Q1} = 1,0)	9,0 kN/m ²

6. Kombinace zatížení

Při výpočtech rámových konstrukcí byly vytvořeny dvě kombinace pro MSÚ a dvě (charakteristické) pro MSP, přičemž v jednotlivých kombinacích bylo zvoleno:

- hlavní proměnné zatížení dopravou
- hlavní proměnné zatížení teplotou

Byly vytvořeny obálky pro MSP a MSÚ. Všechna zatížení byla zadána jako nahodilá, vyjma ZS1.1 (vlastní tíha) a ZS1.2 (ostatní stálé zatížení).

Pro zatížení konstrukce dopravou (ZS5.1 LM1-TS) byl pohyb vozidla namodelován čtyřmi zatěžovacími stavy, které odpovídají polohám nápravy na konstrukci. Pro tyto stavy byla do kombinací vytvořena výběrová skupina zatížení, která zajišťuje výskyt vždy pouze jednoho zatěžovacího stavu TS. Stejný postup byl zvolen i pro zatížení rovnoměrnou složkou změny teploty a lineární složkou změny teploty.

7. Použité podklady a předpisy

- Soustava norem ČSN EN:
 - [1] ČSN EN 1990 Zásady navrhování konstrukcí včetně změny A1 (Příloha A2)
 - [2] ČSN EN 1991-1-1 Zatížení konstrukcí - Obecná zatížení - Objemové tíhy, vlastní tíha a užitná zatížení pozemních staveb
 - [3] ČSN EN 1991-1-5 Zatížení konstrukcí - Obecná zatížení - Zatížení teplotou
 - [4] ČSN EN 1991-2 Zatížení konstrukcí - Zatížení mostů dopravou
 - [5] ČSN EN 1992-1-1 Navrhování betonových konstrukcí - Obecná pravidla a pravidla pro pozemní stavby

- [6] ČSN EN 1992-2 Navrhování betonových konstrukcí - Betonové mosty - Navrhování
a konstrukční zásady
- [7] ČSN EN 1997-1 Navrhování geotechnických konstrukcí - Obecná pravidla

8. Použitý software

- Microsoft Word
- Microsoft Excel
- Nemetschek Scia Engineer 2012
- GEO v.15 - moduly: Piloty, Zemní tlaky, Úhlová zed', Pažení - posudek

9. Navržené dimenze

- Mostovka tl. 400 mm (C30/37)
- Rámová stojka tl. 400 mm (C30/37)
- Křídla tl. 350 mm (C30/37)
- Převázka pilot 1100/550 mm (C30/37)
- Piloty (základ mostu) $\Phi 700$ dl. 6,5 m (C35/45)
- Piloty (základ opěrné konstrukce) $\Phi 700$ dl. 8,7 m (C35/45)

10. Navržená výztuž

Mostovka (tl. 400 mm, C30/37)	
Podélná výztuž spodní	$\Phi 20 / 125$ mm
Podélná výztuž horní	$\Phi 20 / 125$ mm


Rámová stojka (tl. 400 mm, C30/37)	
Svislá výztuž vnější	$\Phi 20 / 125$ mm
Svislá výztuž vnitřní	$\Phi 12 / 125$ mm

Křídla (tl. 350 mm, C30/37)	
Ohybová výztuž ve vetknutí	$\Phi 22 / 125$ mm
Svislá výztuž vnější i vnitřní	$\Phi 12 / 125$ mm
Vodorovná rozdělovací výztuž vnější i vnitřní	$\Phi 12 / 125$ mm

Pilotový práh (1100/550 mm, C30/37)	
Podélná výztuž	$\Phi 16$

Piloty ($\Phi 700$; C35/45)	
Svislá výztuž (základ mostu)	16 $\Phi 25$
Svislá výztuž (základ opěrné konstrukce)	16 $\Phi 22$

Úhlové zdi	
Ohybová výztuž	$\Phi 16 / 125$ mm

 PUDIS akciová společnost	Stavba:	Rekonstrukce průtahu silnic III/37418, 37417 a mostu č.e. 37417-1 v obci Letovice – Podolí
	Objekt:	SO 201 Most č.e. 37417-1

Opěrná konstrukce na pilotách	
Ohybová výztuž	Φ16 / 125 mm

Dimenze výztuže jsou počítány pro směr výztuže kolmý na opěry. Pokud bude zvoleno vyztužení mostovky rovnoběžné s osou vozovky, je nutné plochy výztuže přepočítat dle cosinu příslušného úhlu. V praxi to znamená zvětšení ploch cca o 15% pro ohybovou výztuž mostovky.

11. Vyhodnocení výsledků

Konstrukce v dimenzích a vyztužení navržených v kapitolách 9. Navržené dimenze a 10. Navržená výztuž vyhovuje všem kritériím bezpečnosti a použitelnosti. To platí, jsou-li splněny předpoklady uvedené v kapitole 4. Podloží.

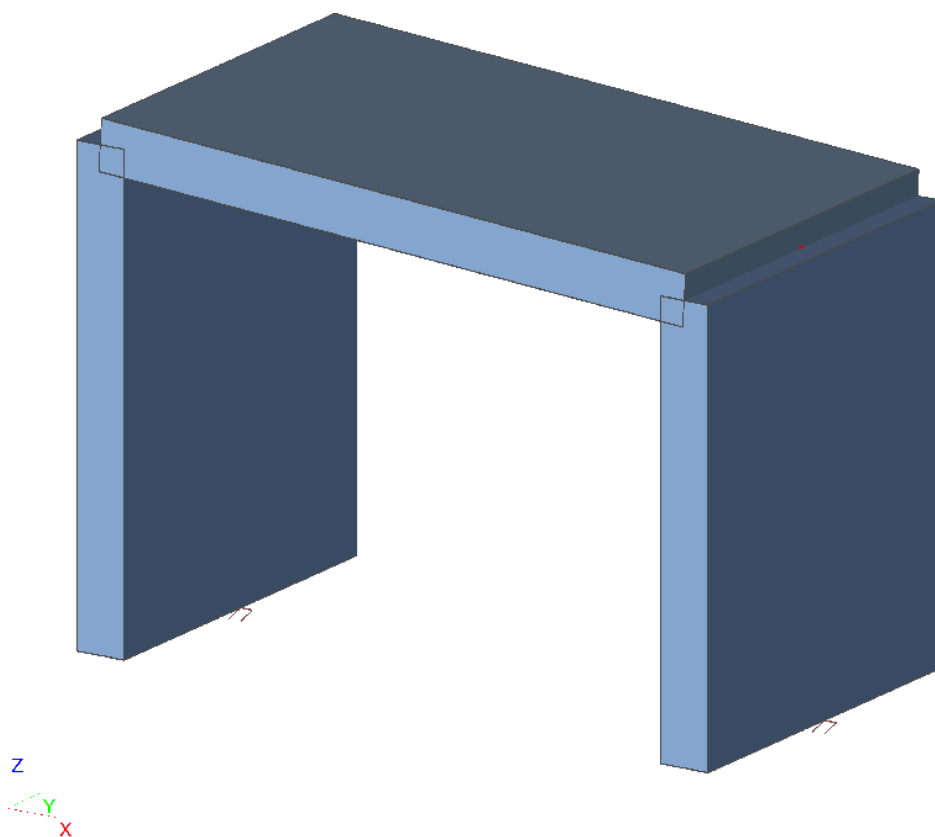
STATICKÝ VÝPOČET

I. RÁM

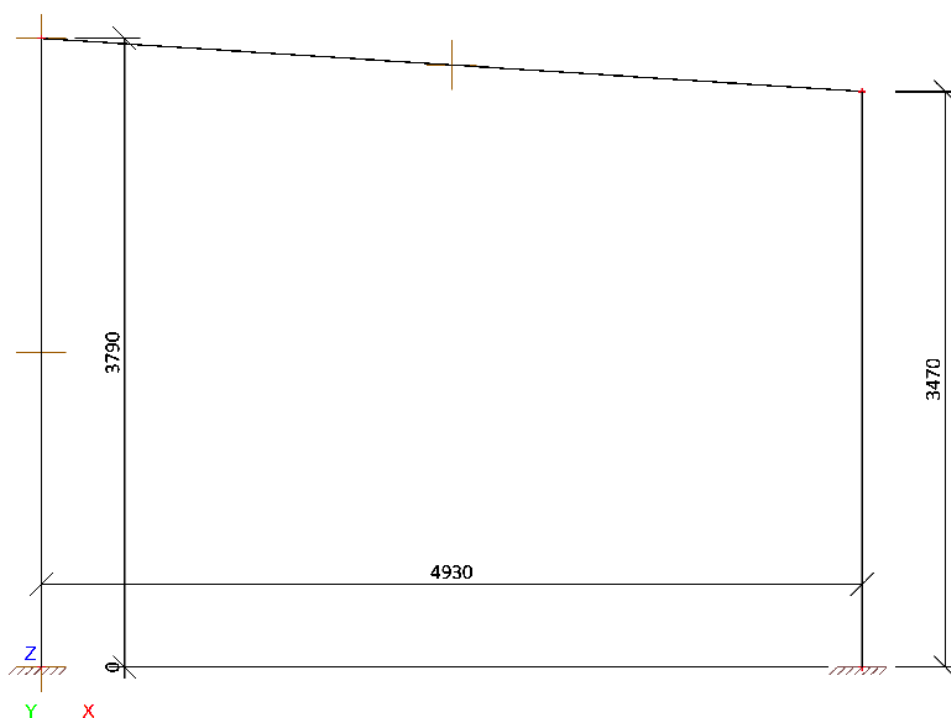
1. Charakteristiky modelu a postup výpočtu

- Byl vytvořen rovinný prutový konečně prvkový model.
- Model reprezentuje zjednodušenou geometrii konstrukce. Zjednodušení spočívá v těchto bodech:
 - konstrukce je modelována jako prutová v modelovém prostředí XZ Rám
 - šířka prutu odpovídá jednomu zatěžovacímu pruhu šířky 3 metry
 - proměnná výška opěr byla nahrazena výškou maximální (u vtoku)
- Síť prvků byla vytvořena automatickým generátorem.

Posudky byly provedeny vlastními programy v MS Excel a byl zahrnut vliv MSP – ověření trhlin a u tlačných prvků i ověření napětí. Dále byly vytvořeny posudky v MS Excel na ověření průhybů, dodržení konstrukčních zásad, ověření napětí v základové spáře a pro stanovení minima vyztužení, které brání rozvoji trhlin od vázaného smršťování.



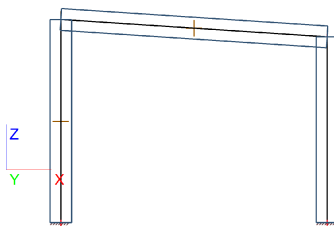
Jméno	Průřez	Délka [m]
Stojka 1	CS1 - Obdélník (400; 3000)	3,790
Stojka 2	CS1 - Obdélník (400; 3000)	3,470
Mostovka	CS1 - Obdélník (400; 3000)	4,940



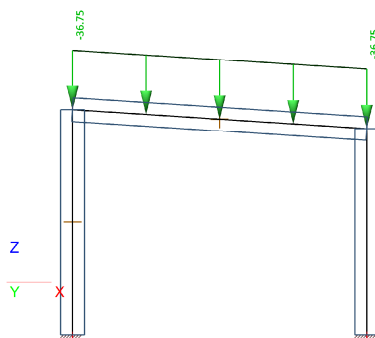
2. Zatížení

Zatěžovací stavy

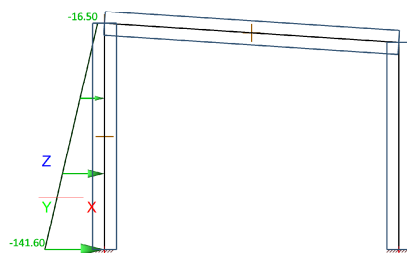
Jméno	Popis
g0	vlastní tíha



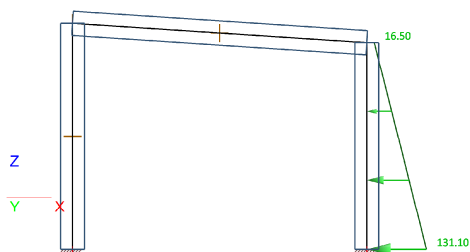
Jméno	Popis
g-g0	ostatní stálé



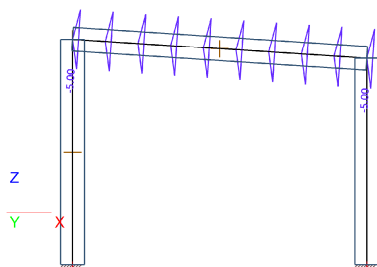
Jméno	Popis
ZTk1	zemní tlak 1



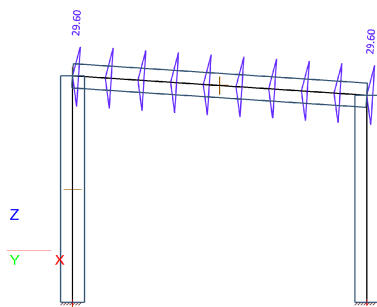
Jméno	Popis
ZTk2	zemní tlak 2



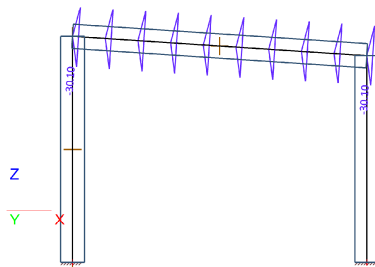
Jméno	Popis
Smr	Smršťování



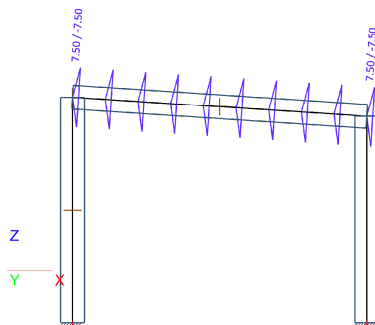
Jméno	Popis
TR+	rovnomměrné oteplení



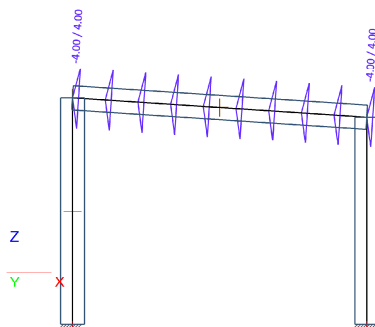
Jméno	Popis
TR-	rovnomměrné ochlazení



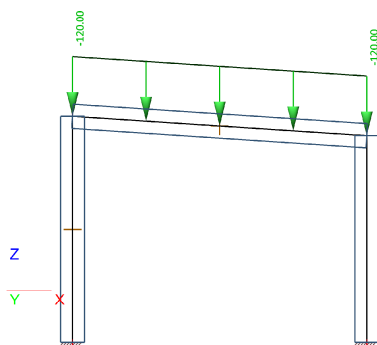
Jméno	Popis
TL+	nerovnoměrné oteplení



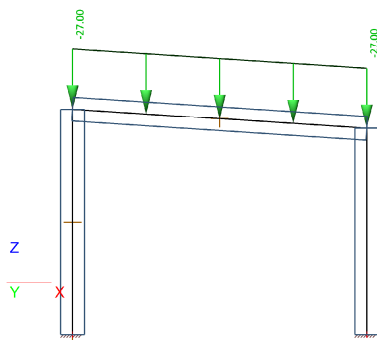
Jméno	Popis
TL-	nerovnoměrné ochlazení



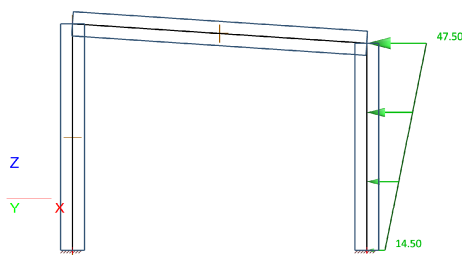
Jméno
LM1 TS1



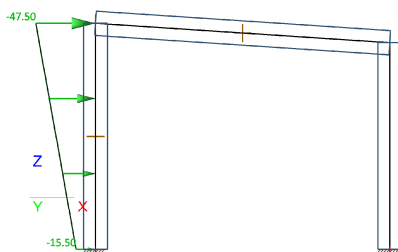
Jméno
LM1 UDL



Jméno	Popis
LM1_B1	bocní prítizení 1



Jméno	Popis
LM1_B2	bocní prítizení 2



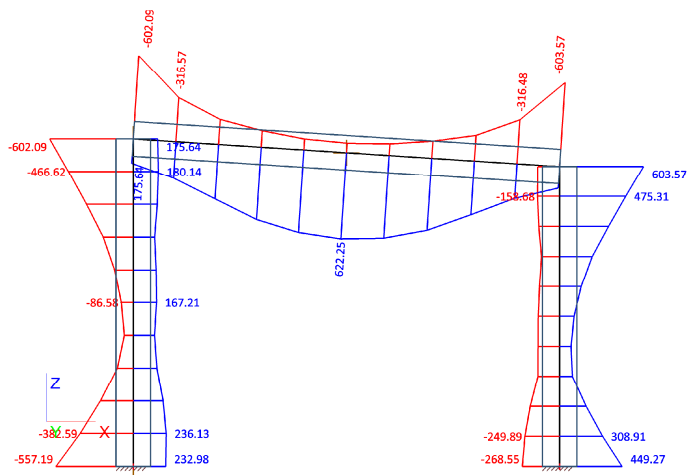
Kombinace

Jméno	Popis	Typ	Zatěžovací stavy	Souč. [-]
MSÚ1	hlavní nahodilé - doprava	Obálka - únosnost	g0 - vlastní tíha	1.35
			g-g0 - ostatní stálé	1.35
			ZTk1 - zemní tlak 1	1.35
			Smr - Smršťování	1.35
			TR+ - rovnoměrné oteplení	0.90
			TR- - rovnoměrné ochlazení	0.90
			TL+ - nerovnoměrné oteplení	0.90
			TL- - nerovnoměrné ochlazení	0.90
			LM1 UDL	1.35
			LM1 TS1	1.35
			ZTk2 - zemní tlak 2	1.35
			LM1_B1 - bocní pritížení 1	1.35
			LM1_B2 - bocní pritížení 2	1.35
MSP char1	hlavní nahodilé - doprava	Obálka - použitelnost	g0 - vlastní tíha	1.00
			g-g0 - ostatní stálé	1.00
			ZTk1 - zemní tlak 1	1.00
			Smr - Smršťování	1.00
			TR+ - rovnoměrné oteplení	0.60
			TR- - rovnoměrné ochlazení	0.60
			TL+ - nerovnoměrné oteplení	0.60
			TL- - nerovnoměrné ochlazení	0.60
			LM1 UDL	1.00
			LM1 TS1	1.00
			ZTk2 - zemní tlak 2	1.00
			LM1_B1 - bocní pritížení 1	1.00
			LM1_B2 - bocní pritížení 2	1.00
MSP char2	hlavní nahodilé - teplota	Obálka - použitelnost	g0 - vlastní tíha	1.00
			g-g0 - ostatní stálé	1.00
			ZTk1 - zemní tlak 1	1.00
			Smr - Smršťování	1.00
			TR+ - rovnoměrné oteplení	1.00
			TR- - rovnoměrné ochlazení	1.00
			TL+ - nerovnoměrné oteplení	1.00
			TL- - nerovnoměrné ochlazení	1.00
			LM1 UDL	0.40
			LM1 TS1	0.75
			ZTk2 - zemní tlak 2	1.00
			LM1_B1 - bocní pritížení 1	0.75
			LM1_B2 - bocní pritížení 2	0.75
MSP kvaz		Obálka - použitelnost	g0 - vlastní tíha	1.00
			g-g0 - ostatní stálé	1.00
			ZTk1 - zemní tlak 1	1.00
			Smr - Smršťování	1.00
			TR+ - rovnoměrné oteplení	0.50
			TR- - rovnoměrné ochlazení	0.50
			TL+ - nerovnoměrné oteplení	0.50
			TL- - nerovnoměrné ochlazení	0.50
			ZTk2 - zemní tlak 2	1.00
MSÚ2	hlavní nahodilé - teplota	Obálka -	g0 - vlastní tíha	1.35
			g-g0 - ostatní stálé	1.35
			ZTk1 - zemní tlak 1	1.35
			Smr - Smršťování	1.35
			TR+ - rovnoměrné oteplení	1.50
			TR- - rovnoměrné ochlazení	1.50

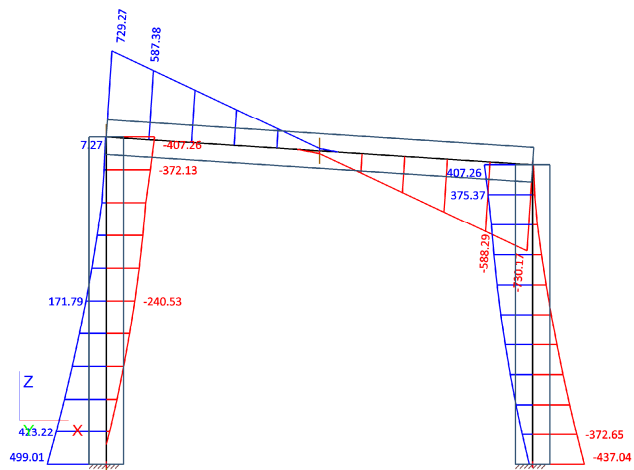
Jméno	Popis	Typ	Zatěžovací stavy	Souč. [-]
MSÚ2	hlavní nahodilé - teplota	Oteplení	TL+ - nerovnoměrné oteplení	1.50
			TL- - nerovnoměrné ochlazení	1.50
			LM1 UDL	0.54
			LM1 TS1	1.01
			ZTk2 - zemní tlak 2	1.35
			LM1_B1 - bocní pritížení 1	1.01
			LM1_B2 - bocní pritížení 2	1.01

3. MSÚ - vnitřní síly

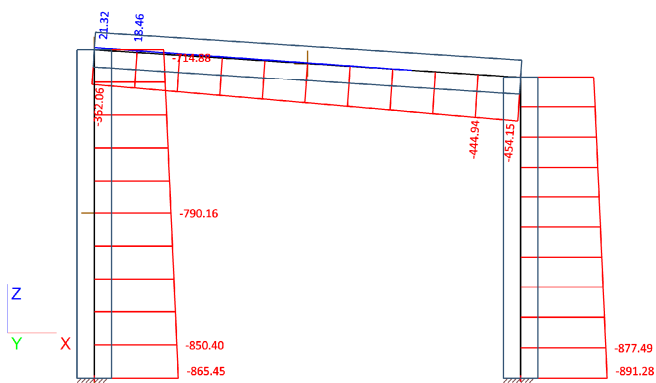
MSÚ obálka M_y




MSÚ obálka V_z



MSÚ obálka N



 PUDIS akciová společnost	Stavba:	Rekonstrukce průtahu silnic III/37418, 37417 a mostu č.e. 37417-1 v obci Letovice – Podolí
	Objekt:	SO 201 Most č.e. 37417-1

Vnitřní síly na prutu

Lineární výpočet, Extrém : Řez, Systém : LSS

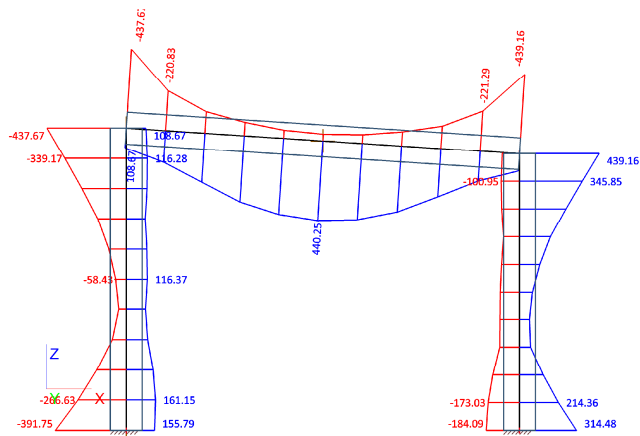
Výběr : Vše

Třída : Všechny MSU

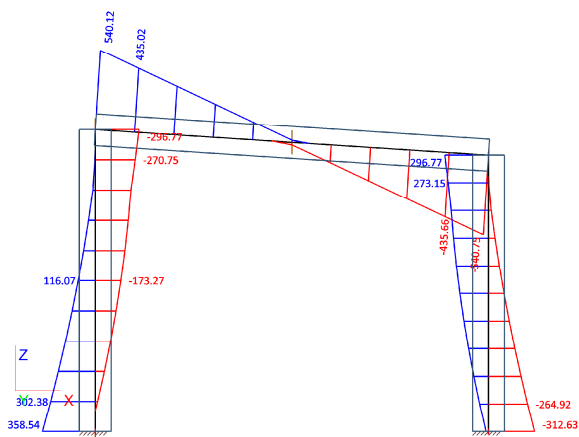
Prvek	Stav	dx [m]	N [kN]	Vz [kN]	My [kNm]
Stojka 1	MSÚ1/1	0.000	-865.45	199.06	-101.45
Stojka 1	MSÚ1/2	0.000	-334.47	310.23	-170.57
Stojka 1	MSÚ1/3	0.000	-857.83	41.71	208.44
Stojka 1	MSÚ2/4	0.000	-350.72	499.01	-557.19
Stojka 1	MSÚ2/5	0.000	-698.59	43.47	232.98
Stojka 1	MSÚ1/1	1.895	-790.16	-83.18	-16.92
Stojka 1	MSÚ1/2	1.895	-259.18	-32.12	74.14
Stojka 1	MSÚ1/3	1.895	-782.54	-240.53	-5.21
Stojka 1	MSÚ2/4	1.895	-275.43	171.79	57.96
Stojka 1	MSÚ2/6	1.895	-617.47	-85.64	-86.58
Stojka 1	MSÚ2/7	1.895	-281.26	18.66	167.21
Stojka 1	MSÚ1/1	1.895	-790.16	-83.18	-16.92
Stojka 1	MSÚ1/2	1.895	-259.18	-32.12	74.14
Stojka 1	MSÚ1/3	1.895	-782.54	-240.53	-5.21
Stojka 1	MSÚ2/4	1.895	-275.43	171.79	57.96
Stojka 1	MSÚ2/6	1.895	-617.47	-85.64	-86.58
Stojka 1	MSÚ2/7	1.895	-281.26	18.66	167.21
Stojka 1	MSÚ1/1	3.790	-714.88	-205.40	-315.62
Stojka 1	MSÚ1/2	3.790	-183.89	-255.39	-217.09
Stojka 1	MSÚ1/8	3.790	-684.65	-407.26	-563.29
Stojka 1	MSÚ2/9	3.790	-217.05	7.27	146.61
Stojka 1	MSÚ1/3	3.790	-707.25	-362.75	-602.09
Stojka 1	MSÚ2/4	3.790	-200.14	-26.03	175.64
Mostovka	MSÚ1/8	0.000	-362.06	709.59	-563.29
Mostovka	MSÚ2/9	0.000	21.32	216.12	146.61
Mostovka	MSÚ1/10	0.000	-85.43	197.46	69.38
Mostovka	MSÚ1/3	0.000	-316.18	729.27	-602.09
Mostovka	MSÚ2/4	0.000	-13.01	201.41	175.64
Mostovka	MSÚ1/8	2.470	-408.11	0.19	313.36
Mostovka	MSÚ2/9	2.470	7.02	-4.11	408.47
Mostovka	MSÚ1/10	2.470	-99.73	-22.77	285.14
Mostovka	MSÚ1/3	2.470	-362.23	19.86	323.14
Mostovka	MSÚ2/11	2.470	-313.59	-0.78	-68.75
Mostovka	MSÚ2/12	2.470	-74.48	-2.73	622.25
Mostovka	MSÚ1/8	2.470	-408.11	0.19	313.36
Mostovka	MSÚ2/9	2.470	7.02	-4.11	408.47
Mostovka	MSÚ1/10	2.470	-99.73	-22.77	285.14
Mostovka	MSÚ1/3	2.470	-362.23	19.86	323.14
Mostovka	MSÚ2/11	2.470	-313.59	-0.78	-68.75
Mostovka	MSÚ2/12	2.470	-74.48	-2.73	622.25

4. MSP - charakteristické kombinace - vnitřní síly

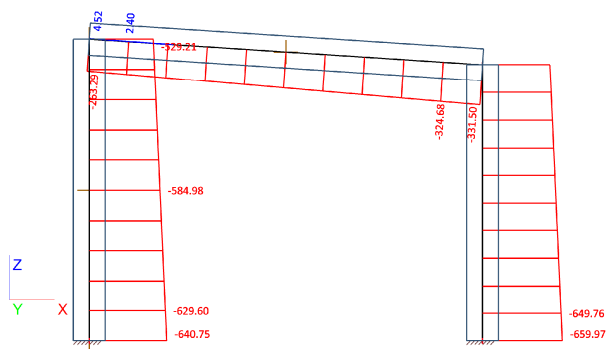
MSP char obálka M_y




MSP char obálka V_z



MSP char obálka N



 PUDIS akciová společnost	Stavba:	Rekonstrukce průtahu silnic III/37418, 37417 a mostu č.e. 37417-1 v obci Letovice – Podolí
	Objekt:	SO 201 Most č.e. 37417-1

Vnitřní síly na prutu

Lineární výpočet, Extrém : Řez, Systém : LSS

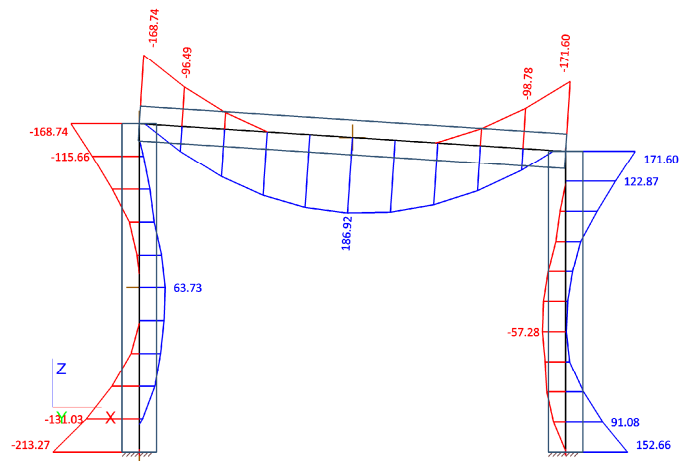
Výběr : Vše

Třída : Všechny MSP char

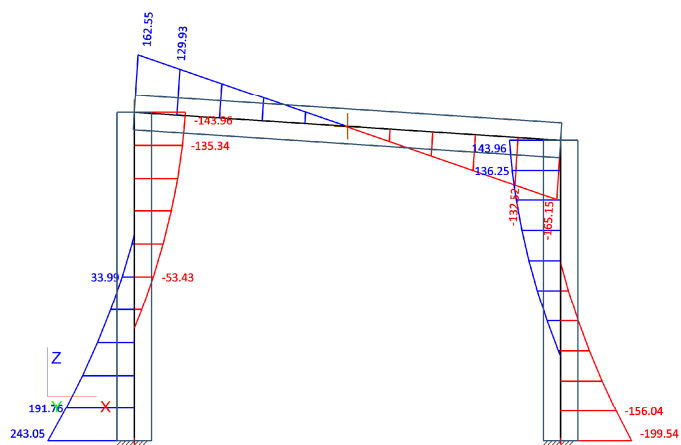
Prvek	Stav	dx [m]	N [kN]	Vz [kN]	My [kNm]
Stojka 1	MSP char1/13	0.000	-640.75	140.70	-62.44
Stojka 1	MSP char1/14	0.000	-247.99	234.70	-136.59
Stojka 1	MSP char1/15	0.000	-635.67	35.79	144.16
Stojka 1	MSP char2/16	0.000	-259.22	358.54	-391.75
Stojka 1	MSP char2/17	0.000	-518.44	40.19	155.79
Stojka 1	MSP char1/13	1.895	-584.98	-68.37	-12.63
Stojka 1	MSP char1/14	1.895	-192.22	-18.90	53.96
Stojka 1	MSP char1/15	1.895	-579.90	-173.27	-4.82
Stojka 1	MSP char2/16	1.895	-203.45	116.07	42.82
Stojka 1	MSP char2/18	1.895	-457.85	-64.92	-58.43
Stojka 1	MSP char2/19	1.895	-208.26	12.12	116.37
Stojka 1	MSP char1/13	1.895	-584.98	-68.37	-12.63
Stojka 1	MSP char1/14	1.895	-192.22	-18.90	53.96
Stojka 1	MSP char1/15	1.895	-579.90	-173.27	-4.82
Stojka 1	MSP char2/16	1.895	-203.45	116.07	42.82
Stojka 1	MSP char2/18	1.895	-457.85	-64.92	-58.43
Stojka 1	MSP char2/19	1.895	-208.26	12.12	116.37
Stojka 1	MSP char1/13	3.790	-529.21	-158.90	-246.69
Stojka 1	MSP char1/14	3.790	-136.45	-184.28	-152.48
Stojka 1	MSP char1/20	3.790	-507.39	-296.77	-408.92
Stojka 1	MSP char2/21	3.790	-160.23	-5.87	87.11
Stojka 1	MSP char1/15	3.790	-524.13	-263.81	-437.67
Stojka 1	MSP char2/16	3.790	-147.68	-30.60	108.67
Mostovka	MSP char1/20	0.000	-263.29	525.55	-408.92
Mostovka	MSP char2/21	0.000	4.52	160.28	87.11
Mostovka	MSP char1/22	0.000	-70.05	146.38	38.50
Mostovka	MSP char1/15	0.000	-229.30	540.12	-437.67
Mostovka	MSP char2/16	0.000	-20.97	149.35	108.67
Mostovka	MSP char1/20	2.470	-297.40	0.06	240.25
Mostovka	MSP char2/21	2.470	-6.07	-2.86	281.54
Mostovka	MSP char1/22	2.470	-80.63	-16.76	198.60
Mostovka	MSP char1/15	2.470	-263.41	14.63	247.49
Mostovka	MSP char2/23	2.470	-224.22	-0.71	-37.40
Mostovka	MSP char2/24	2.470	-66.57	-1.83	440.25
Mostovka	MSP char1/20	2.470	-297.40	0.06	240.25
Mostovka	MSP char2/21	2.470	-6.07	-2.86	281.54
Mostovka	MSP char1/22	2.470	-80.63	-16.76	198.60
Mostovka	MSP char1/15	2.470	-263.41	14.63	247.49
Mostovka	MSP char2/23	2.470	-224.22	-0.71	-37.40
Mostovka	MSP char2/24	2.470	-66.57	-1.83	440.25

5. MSP - kvazistálá kombinace - vnitřní síly

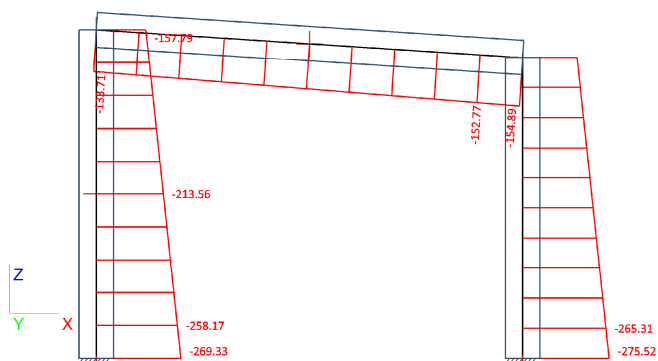
MSP kvaz obálka M_y




MSP kvaz obálka V_z



MSP kvaz obálka N



 PUDIS akciová společnost	Stavba:	Rekonstrukce průtahu silnic III/37418, 37417 a mostu č.e. 37417-1 v obci Letovice – Podolí
	Objekt:	SO 201 Most č.e. 37417-1

Vnitřní síly na prutu

Lineární výpočet, Extrém : Řez, Systém : LSS

Výběr : Vše

Kombinace : MSP kvaz

Prvek	Stav	dx [m]	N [kN]	Vz [kN]	My [kNm]
Stojka 1	MSP kvaz/25	0.000	-269.33	243.05	-213.27
Stojka 1	MSP kvaz/26	0.000	-265.09	155.64	-41.11
Stojka 1	MSP kvaz/25	1.895	-213.56	33.99	30.51
Stojka 1	MSP kvaz/26	1.895	-209.32	-53.43	37.01
Stojka 1	MSP kvaz/27	1.895	-211.43	-10.58	3.79
Stojka 1	MSP kvaz/28	1.895	-211.44	-8.86	63.73
Stojka 1	MSP kvaz/25	1.895	-213.56	33.99	30.51
Stojka 1	MSP kvaz/26	1.895	-209.32	-53.43	37.01
Stojka 1	MSP kvaz/27	1.895	-211.43	-10.58	3.79
Stojka 1	MSP kvaz/28	1.895	-211.44	-8.86	63.73
Stojka 1	MSP kvaz/25	3.790	-157.79	-56.54	-9.58
Stojka 1	MSP kvaz/26	3.790	-153.55	-143.96	-168.74
Mostovka	MSP kvaz/26	0.000	-133.71	162.55	-168.74
Mostovka	MSP kvaz/25	0.000	-46.21	161.12	-9.58
Mostovka	MSP kvaz/26	2.470	-144.30	-0.58	31.32
Mostovka	MSP kvaz/25	2.470	-56.79	-2.02	186.92
Mostovka	MSP kvaz/26	2.470	-144.30	-0.58	31.32
Mostovka	MSP kvaz/25	2.470	-56.79	-2.02	186.92

6. Reakce v - MSÚ

Svislá reakce ve vetknutí (na 3,0 m šířky): 892 kN

Vodorovná reakce ve vetknutí (na 3,0 m šířky) : 499 kN

Momentová reakce ve vetknutí (na 3,0 m šířky): 558 kNm

Tyto reakce vychází při zatížení konstrukce stálým zatížením, teplotou a pruhem č.1 z LM1, budou použity pro posouzení pilotového základu.

7. Posouzení průhybu a vázaného smršťování

$$\begin{aligned}
& \text{Součinitel dotyrování} \\
& \alpha_1 = - \left[\frac{35}{f} \right] = - \left[\frac{35}{1} \right] = - 35 \\
& \alpha_2 = 1 - \frac{R \sqrt{100}}{100} \left[\frac{35}{\alpha_1} \right] = 1 - \frac{16.8}{100} \left[\frac{35}{-35} \right] = 1 - \frac{16.8}{100} \left[-1 \right] = 1 + \frac{16.8}{100} = 1.168 \\
& \rho(t_{\text{em}}) = \frac{1}{\sqrt{1 - \frac{v^2}{c^2}}} = \frac{1}{\sqrt{1 - \frac{0.3^2}{1^2}}} = \frac{1}{\sqrt{1 - 0.09}} = \frac{1}{\sqrt{0.91}} \approx 1.0488 \\
& \beta(t_b) = \frac{\beta(t_b)}{(1 + \frac{g^2}{c^2})} = \frac{1}{(1 + \frac{0.3^2}{1^2})} = \frac{1}{1.09} \approx 0.9174 \\
& \varphi_b = \varphi_0 \sqrt{1 + \frac{g^2}{c^2}} = 1.5 \sqrt{1 + \frac{0.3^2}{1^2}} = 1.5 \sqrt{1.09} \approx 1.545 \\
& f_b = 1.5 [1 + (0.312 R \rho)^{0.3}] \rho_0 + 250 \alpha_1 = 1.5 [1 + (0.312 \cdot 16.8 \cdot 1.0488)^{0.3}] \rho_0 + 250 \cdot 1.168 \\
& \quad = 1.5 [1 + (0.312 \cdot 16.8 \cdot 1.0488)^{0.3}] \rho_0 + 285.2 = 1.5 [1 + (5.4)^{0.3}] \rho_0 + 285.2 \\
& \quad = 1.5 [1 + 1.5] \rho_0 + 285.2 = 3.75 \rho_0 + 285.2 \\
& \quad = 36500 - 28 = 36472 \\
& \varphi_b(t_b) = \varphi_0 f_b(t_b) = 1.5 \cdot 36472 = 54708 \\
& k_b = \frac{\alpha_c}{t_{\text{em}}(t_b)} = \frac{0.1}{38} = 0.00263 \\
& \alpha(t_b, \alpha_c) = \varphi_b(t_b) \exp(1.5 (k_b - 0.45)) = 54708 \exp(1.5 (0.00263 - 0.45)) \\
& \quad = 54708 \exp(-0.6675) \approx 54708 \cdot 0.513 \approx 28060 \\
& E_{\text{em}} = \frac{E_{\text{em}}}{1 + \frac{g^2}{c^2}} = \frac{33.0}{1 + \frac{0.3^2}{1^2}} = \frac{33.0}{1.09} \approx 30.27 \\
& \alpha_b = 18.992
\end{aligned}$$

CELKOVÝ DLOUHODOBÝ PRŮHYB	
PRŮHYB OD SMRSTOVÁNÍ	
$Křivost: \left(\frac{1}{\sqrt{r_{0,10}}} \right) = -\epsilon_{\text{max}} \alpha \left[(1 - \epsilon_{\text{max}}) \frac{\Delta_1}{l_1} + \frac{\Delta_2}{S_{0,10} l_2} \right] = 0,0040 \cdot 18,99 \cdot (0,00281 + 0,1395) = 0,001072$	
$\text{Průhyb: } \frac{1}{8} \left(\frac{l}{r_{0,10}} \right)^2 = \frac{1}{8} \cdot \frac{l^2}{r_{0,10}} = 0,0011 \cdot 23 = 3,09 \text{ mm}$	
CELKOVÝ PRŮHYB	
$15,8294 + 3,08708 = 18,9 \text{ mm}$	$< 1/2501 = 19 \text{ mm}$
vyhoví	

Omezení šířky trhlin od vázaného smršťování - mostovka v místě rámového rohu na délku 1 m

Průřez					
b_{eff}	=	1000 mm	H	=	400 mm
c_1	=	78 mm	u	=	2 m (obvod v kontaktu se vzduchem)
krytí vedlejší/vodorovné výztuže		$\rho_s = \frac{2A_s}{u}$	=	2	$4E+05 / 2000 = 400$ mm
				k_{rt}	= 0,725

Materiály					
ocel: B 500 B	f_{yk}	=	500 MPa	beton: C30/37	cement: N
γ_s	=	1,15	E_y	=	200,0 GPa
f_{yd}	=	435 MPa	$f_{ct,m}$	=	2,9 MPa
				f_{cm}	= 38 MPa
				E_{cm}	= 33,0 GPa
				s	= 0,25

Časové údaje			Zadání		
Stáří při prvním vzniku trhlin:	t_s	= 7 dny	Maximální šířka trhlin:	w_k	= 0,3 mm
Konec ošetřování:	t	= 5 dny	Redukce smršťování:		0%
Trhliny od vázaného smrštění:	t	= 36500 dny	Relativní vlhkost:	RH	= 50 %

Efektivní parametry:	
$\beta_{ss}(t) = \exp \left[s \left(1 - \left(\frac{28}{t} \right)^{1/4} \right) \right] = 0,779$	$f_{ct,eff} = 0,779 \cdot 2,9 = 2,259$ MPa

Výztuž - kontrola stupně vyztužení					
hlavní / svislý směr				trám/deska	stěna
výztuž u povrchu 1	8	Φ 16 mm	$A_{s,h,1} = 1608$ mm ²	vyhoví	vyhoví
výztuž u povrchu 2	8	Φ 12 mm	$A_{s,h,2} = 905$ mm ²	vyhoví	vyhoví
			$A_{s,celk} = 2513$ mm ²	vyhoví	vyhoví
směr prnutí			$A_{s,celk} = 1810$ mm ²	deska	stěna
výztuž u povrchu 1	8	Φ 12 mm	$A_{s,v,1} = 905$ mm ²	vyhoví	vyhoví
výztuž u povrchu 2	8	Φ 12 mm	$A_{s,v,2} = 905$ mm ²	vyhoví	vyhoví

Min. stupeň vyztužení					
deska/trám hlavní	$A_{s,min} = 0,26 \frac{f_{ctm}}{f_{yk}} b_1 d_1$	=	0,0013 $b_1 d_1$	=	477 mm ²
deska vedlejší	$A_{s,v,1,min} = 0,2 A_{s,h,1}$	=		=	322 mm ²
stěna svislá	$A_{s,v,min} = 0,002 A_c$	=		=	800 mm ²
stěna vodorovná	$A_{s,h,min,1} = 0,0005 A_c$	=	0,25 $A_{s,h,1}$	=	402 mm ²
	$A_{s,h,min,2} = 0,0005 A_c$	=	0,25 $A_{s,h,2}$	=	226 mm ²

Ověření napětí ve výztuži po vzniku trhliny	
$\sigma_s = k_s k_{ct,eff} A_{ct} / A_s = 1 \cdot 0,930 \cdot 2,259 \cdot 0,400 / 1810 = 464,3$ MPa	vyhoví

Šířka trhliny - vázané smršťování	
Součinitel smršťování	
$\beta_{RH} = 1,55 \left[1 - \left(\frac{RH}{RH_0} \right)^3 \right] = 1,55 \cdot \left(1 - \left(\frac{50}{100} \right)^3 \right) = 1,35625$	
$\epsilon_{cs,0} = 0,85 \left[\left(220 + 110 \cdot \alpha_{ds1} \right) \cdot \exp \left(-\alpha_{ds2} \cdot \frac{f_{cm}}{f_{cm0}} \right) \right] \cdot 10^{-6} \cdot \beta_{RH} =$	
$= 0,85 \cdot \left(220 + 110 \cdot 4,00 \right) \cdot \exp \left(-0,12 \cdot \frac{38}{10} \right) \cdot e^{-6} \cdot 1,36 = 0,0005$	
$\beta_{ds}(t_s, t_s) = \frac{(t - t_s)}{(t - t_s) + 0,04 \sqrt{h_0^3}} = \frac{36500 - 5}{36500 - 5 + 0,04 \cdot 8000} = 0,991308$	
$\epsilon_{cs}(t) = \beta_{ds}(t_s, t_s) k_{rt} \epsilon_{cs,0} = 0,99 \cdot 0,725 \cdot 0,0005 = 0,000347$	
$\beta_{ss}(t) = 1 - \exp \left(-0,2 t^{0,5} \right) = 1 - \exp \left(-0,2 \cdot 191,05 \right) = 1,00$	
$\epsilon_{cs}(\infty) = 2,5 (f_{ck} - 10) \cdot 10^{-6} = 2,5 \cdot (30 - 10) \cdot e^{-6} = 0,000050$	
$\epsilon_{cs}(t) = \beta_{ss}(t) \epsilon_{cs}(\infty) = 1,00 \cdot 0,0001 = 0,000050$	
$\epsilon_{cs} = \epsilon_{cs}(t) + \epsilon_{cs}(\infty) = 0,0003 + 0,0001 = 0,000397 \cdot 1,00 = 0,000397$ (39,6586 K)	
Délka výztuže, kde dochází k pokluzu	
$\tau_{bm} = 1,8 f_{ctm} = 1,8 \cdot 2,9 = 5,22$ MPa	
$l_{s,max} = \frac{1}{4} \frac{f_{ctm}}{\tau_{bm}} \frac{\Phi_s}{\rho_s} = \frac{1}{4} \cdot \frac{2,9}{5,22} \cdot \frac{0,012}{0,00452} = 0,368$ m	
Šířka trhliny - vázané smršťování:	
$w_d = 2 l_{s,max} \epsilon_{cs} = 2 \cdot 0,37 \cdot 4,0E-04 = 0,292$ mm	$w_{k,max} = 0,300$ mm
	vyhoví

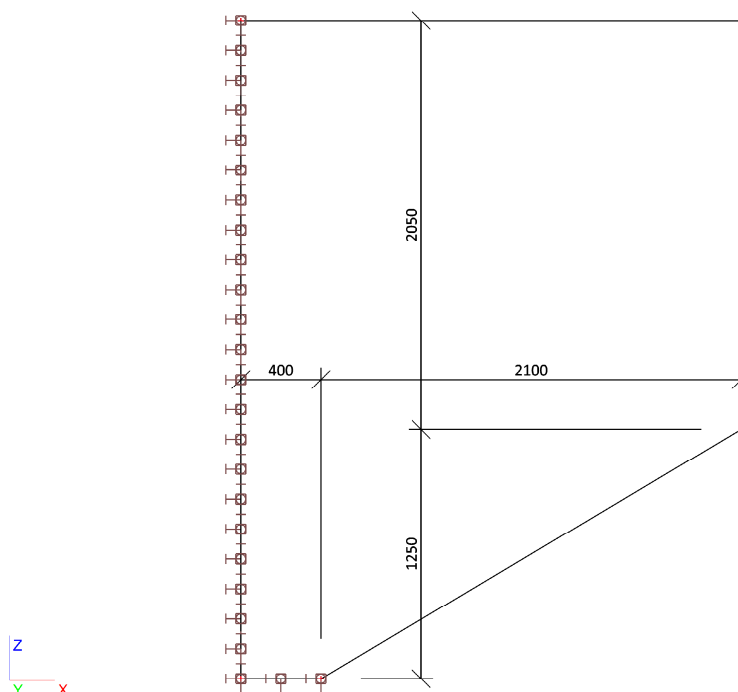
II. KŘÍDLO

1. Charakteristiky modelu a postup výpočtu

- Byl vytvořen stěnový konečně prvkový model.
- Sít' prvků byla vytvořena automatickým generátorem.

Posudky mezních stavů byly provedeny vlastními programy v MS Excel.

Výpočtový model



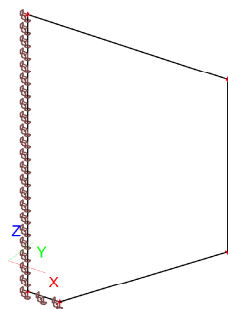
Liniové podpory na hranách ploch

Jméno	Plocha	Hrana Poč	X Poz x_1	Y Poz x_2	Z	Rx	Ry	Rz
Sle1	S1	5 Od počátku	Tuhý 0.000	Tuhý 1.000	Tuhý	Tuhý	Tuhý	Tuhý
Sle2	S1	1 Od počátku	Tuhý 0.000	Tuhý 1.000	Tuhý	Tuhý	Tuhý	Tuhý

Zatěžovací stavy

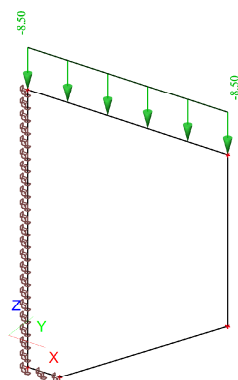
Zatěžovací stavy - g0

Jméno	Popis
g0	vlastní tíha



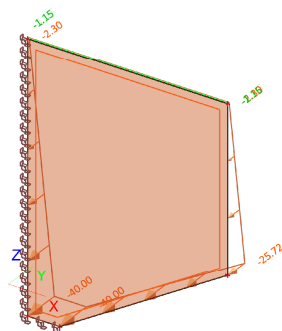
Zatěžovací stavy - g-g0

Jméno	Popis
g-g0	ostatní stálé



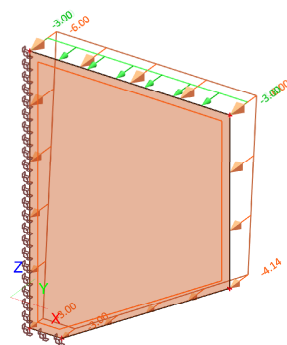
Zatěžovací stavy - ZT

Jméno	Popis
ZT	tlak v klidu



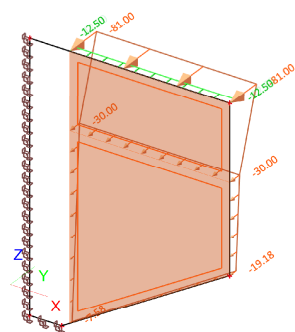
Zatěžovací stavy - LM1 UDL

Jméno
LM1 UDL



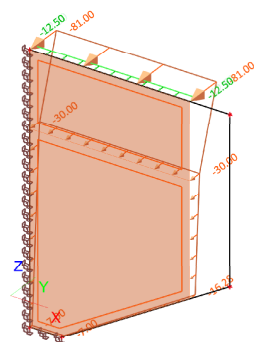
Zatěžovací stavy - LM1 TS1

Jméno
LM1 TS1



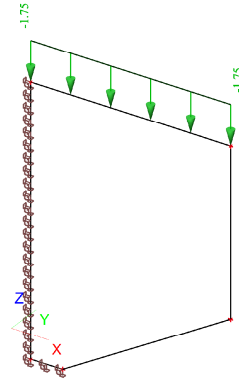
Zatěžovací stavy - LM1 TS2

Jméno
LM1 TS2



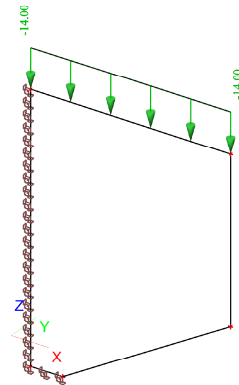
Zatěžovací stavy - Chodci

Jméno
Chodci



Zatěžovací stavy - LM1 Z


Jméno
LM1 Z

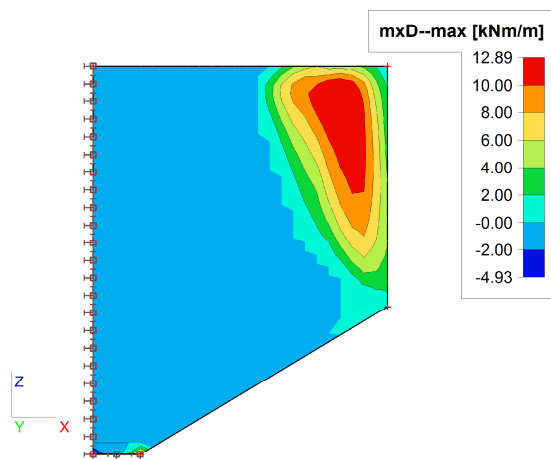
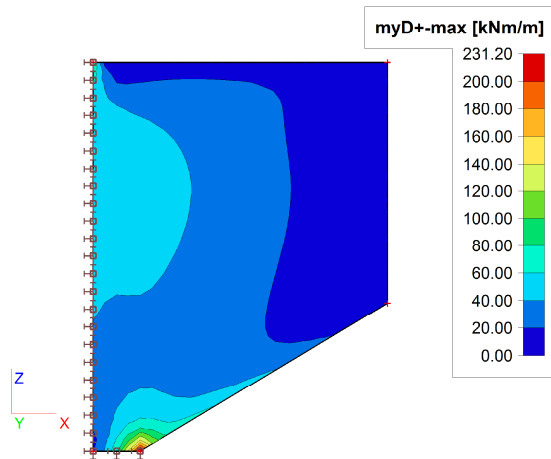
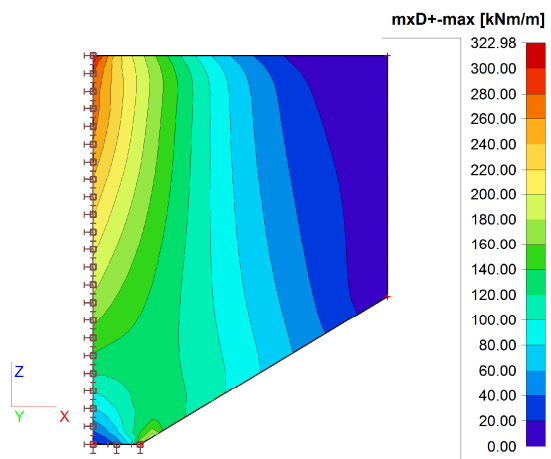


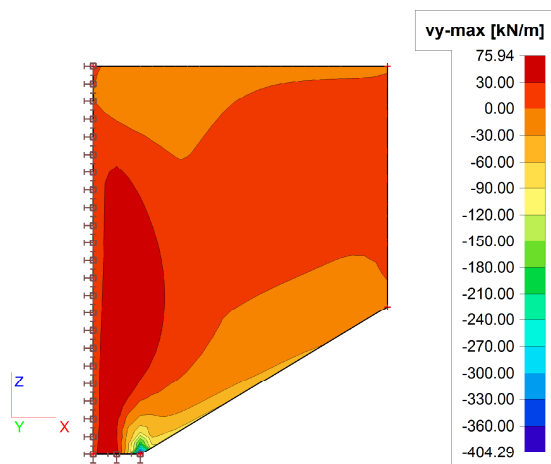
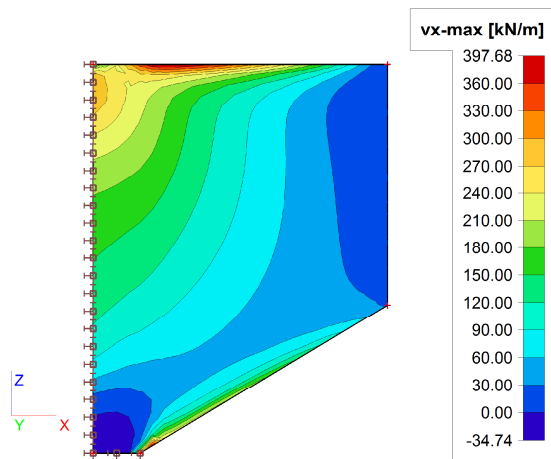
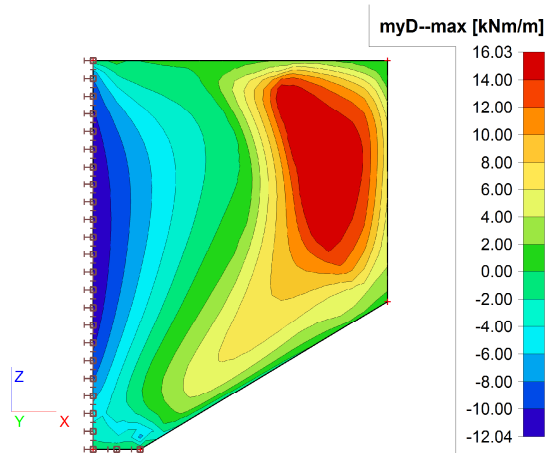
Kombinace

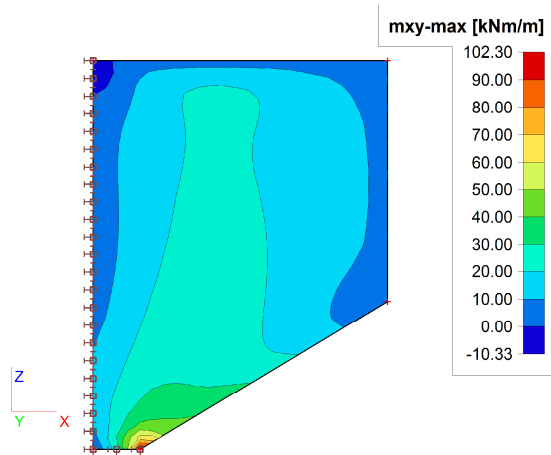
Jméno	Typ	Zatěžovací stavy	Souč. [-]
MSP	Obálka - použitelnost	g0 - vlastní tíha	1.00
		g-g0 - ostatní stálé	1.00
		LM1 TS1	1.00
		Chodci	1.00
		ZT - tlak v klidu	1.00
		LM1 UDL	1.00
		LM1 TS2	1.00
		LM1 Z	1.00
MSÚ	Obálka - únosnost	g0 - vlastní tíha	1.35
		g-g0 - ostatní stálé	1.35
		LM1 TS1	1.35
		Chodci	1.35
		ZT - tlak v klidu	1.35
		LM1 UDL	1.35
		LM1 TS2	1.35
		LM1 Z	1.35

Vnitřní síly - MSÚ

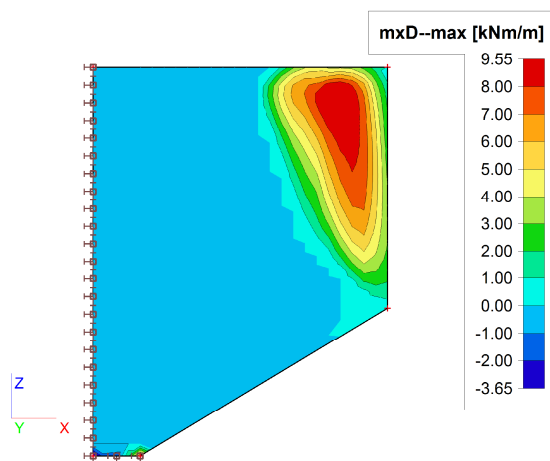
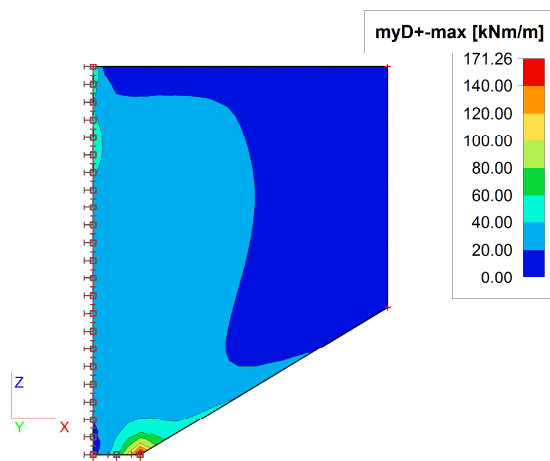
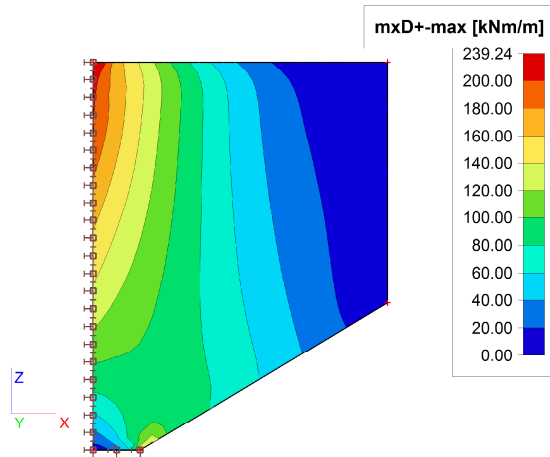
 PUDIS akciová společnost	Stavba:	Rekonstrukce průtahu silnic III/37418, 37417 a mostu č.e. 37417-1 v obci Letovice – Podolí
	Objekt:	SO 201 Most č.e. 37417-1

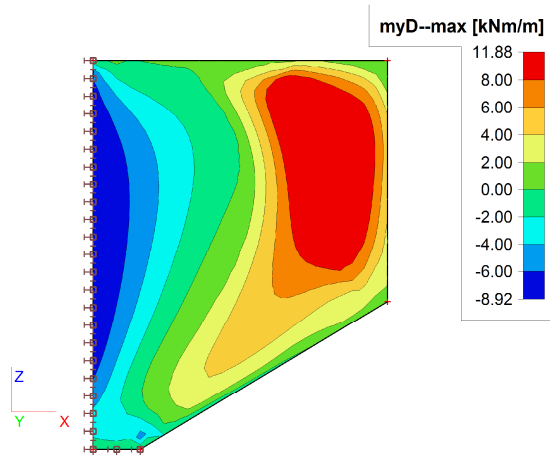






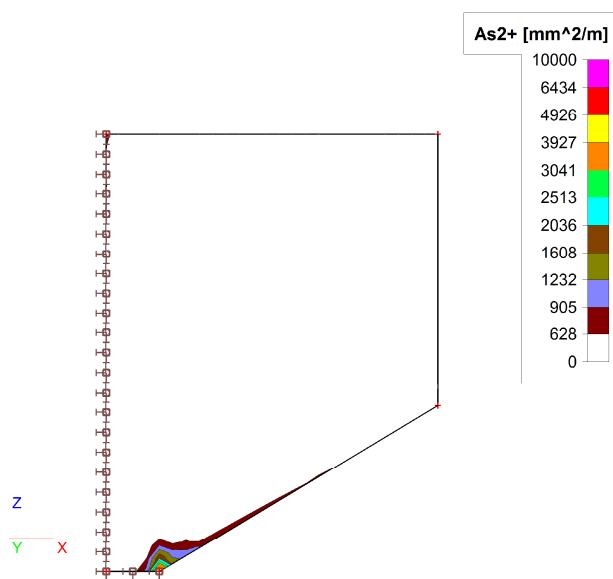
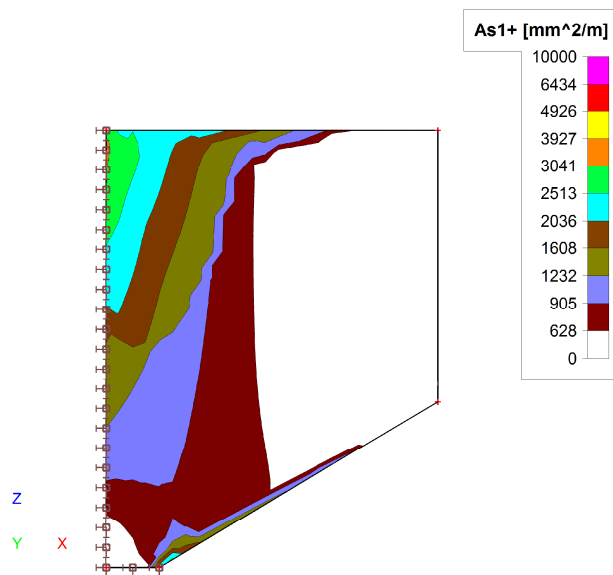
Vnitřní síly - MSP

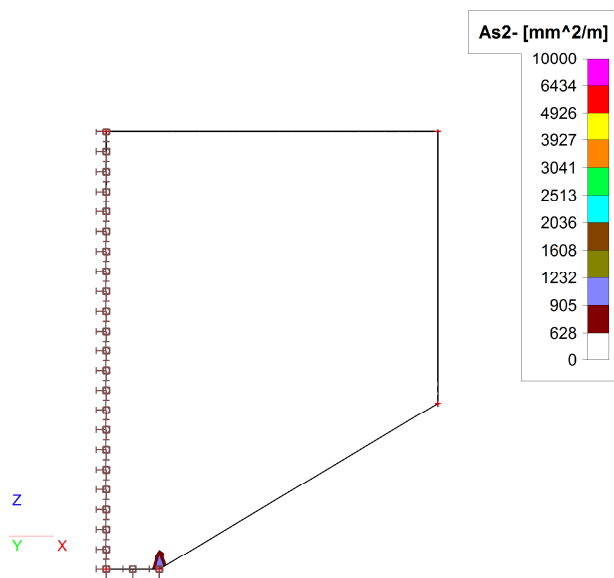
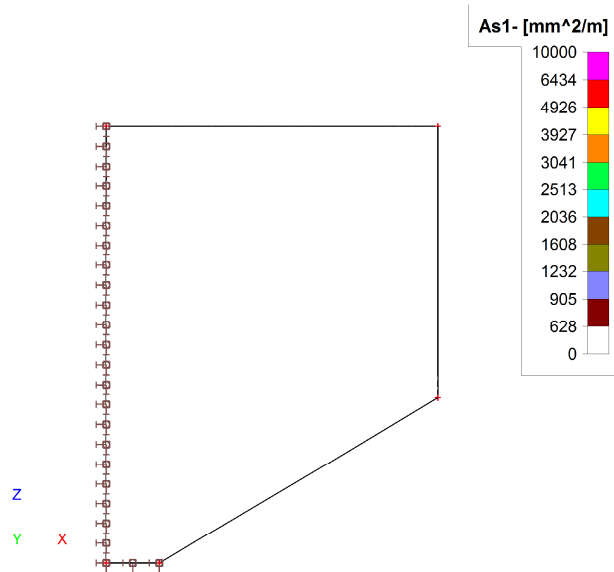


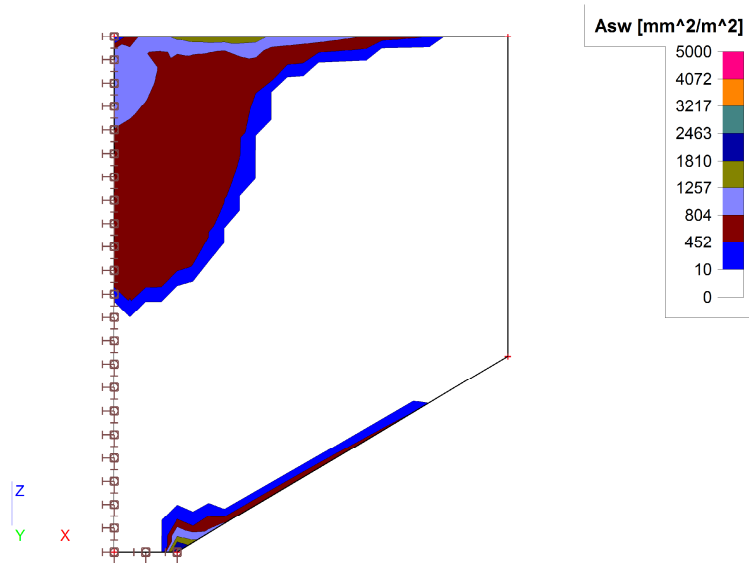


Návrh nutných ploch výztuže

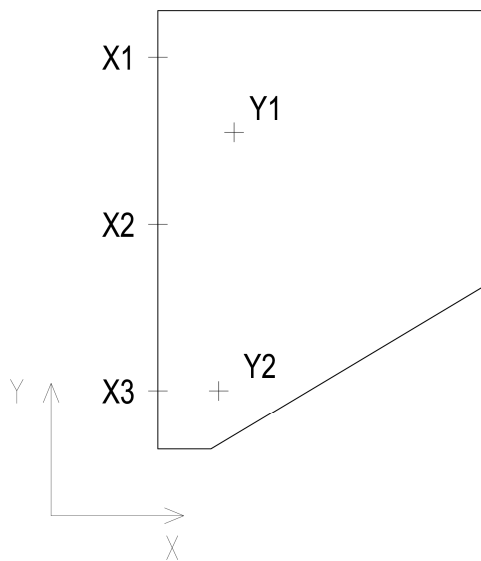
podle MSÚ







2. Posouzení MSÚ - ohyb, smyk; MSP - šířka trhlin



Křídlo_x průřez 1

Průřez				
b _{stl} = 1000 mm	b _w = 1000 mm	H = 350 mm		
c ₁ = 60 mm	c ₂ = 60 mm	W _{k,max} = 0.40 mm		
d = 279 mm	d _s = 65 mm	A _c = 0.350 m²		
Materiály				
ocel: B 500 B	beton: C30/37	f _{yk} = 500 MPa	f _{ck} = 30.0 MPa	
Y _S = 1.15	f _{yk} = 500 MPa	a _{cr} = 1	γ _c = 1.5	
f _{yd} = 434.8 MPa	E _{cm} = 33.0	f _{cd} = 20.0 MPa		
E _{rj} = 200.0 GPa	a _s = 6.06	f _{ct,m} = 2.9 MPa		
Ohybová výtěžnost				
tlačená výtěžnost	8 Φ 22 mm + 0 Φ 25 mm	A _{s1} = 3041 mm²	(ρ _{ws} = 0.13%)	výhoví
A _{s,min} = A _{s,min} = 0.26 · f _{yk} · b · d / σ _s	= 421 < 3041 < A _{s,max}	A _{s,max} = 0.04 · A _c = 14 000		
přídatná ohyb. výzt.	0,0 Φ 22 mm	A _{s,extia} = 569 mm²		
min. rozd. výztž:	8,0 Φ 10 mm	A _{s,pap} = 608 mm²	(pro desky)	
tlačená výtěžnost	8 Φ 10 mm	A _{s2} = 628 mm²	Tlačená výtěžnost nezapočítána	
Smyková výtěžnost				
třífemný	4 Φ 10 mm	A _{asrup} = 314 mm²		
ohyby	0 Φ 10 mm	A _{aband} = mm²		
celkem	ρ _{ws} +ρ _{wb} = 0.13% >	ρ _{ws} = A _{asrup} /((s · b _w · sinα) = 0.00% <	ρ _{ws} = A _{aband} /((s · b _w · sinα) = 0.13%	sklon α = 45°
		> ρ _{adm} - ((0.08 · f _{yk}) / f _{yk}) = 0.09%		výhoví
Vnitřní síly				
M _d = 300 kNm	M _k = 220 kNm (kvazistálá)	V = 330 kN		
OHYBOVÁ ÚNOSNOST PRŮŘEZU				
Pozice neutrální osy	x _{Nal1} = d · 700 / (700 + f _{pd}) = 290	700 / (700 + 434.8) = 179 mm		
	x _{Nal2} = d · 700 / (700 - f _{pd}) = 60	700 / (700 - 434.8) = 158.4 mm		
	x = (A _{s1} · f _{sd} - A _{s2} · f _{pd}) / (0.8 · b _{eff} · f _{cd}) = 3041 · 435 - 628 · 435 = 65.6 mm			
ověřeni: X _{Nal1} = 179 mm	X _{Nal2} = 66 mm >	x _{Nal2} = 158.4 mm	nevyužitá As2	
nezapočtená tlačenná výtěž:	x = (A _{s1} · f _{sd}) / (0.8 · b _{eff} · f _{cd}) = 3041 · 435 = 82.6 mm			
Momentová únosnost				
r _c = H - ((c ₁ +Φ)/2) = 0.4 · x = 350	- 71 - 0.4 · 83 = 246 mm			
r _{a2} = H - ((c ₂ +Φ)/2) - (c ₂ +Φ)/2 = 350 - 65 = 214.0 mm				
M _{rd} = 0.8 · b · x · f _{cd} · r _c + A _{s2} · f _{pd} · r _{a2} = 0.8 · 1000 · 83 · 20.0 + 0 · 434.8 · 214 = 325 kNm				
Max. moment: M _{rd} = 325.2 kN	> M _{Ed} = 300 kN		92%	výhoví

Křídlo x průřez 2

Průřez									
b_{eff}	= 1000 mm	b_w	= 1000 mm	H	= 350 mm	$w_{k,max}$	= 0,40 mm		
c_1	= 60 mm	c_2	= 60 mm	A_c	= 0,350 m ²				
d	= 281 mm								
Materiály									
ocel: B 500 B		beton: C30/37		f_{yk}	= 500 MPa	f_{tk}	= 30,0 MPa		
Y_s	= 1,15	f_{yk}	= 500 MPa	α_{cc}	= 1	Y_c	= 1,5		
f_{td}	= 434,8 MPa	E_{cm}	= 33,0 GPa	f_{ed}	= 33,0 MPa				
E_y	= 200,0 GPa	c_p	= 6,06	$f_{c,1m}$	= 2,9 MPa				
Ohybová výtěž									
tažená výtěž	8 Φ 18 mm + 0 Φ 25 mm	A_{s1}	= 2036 mm ²	A_{s1}	= 2036 mm ²	$\rho_w = A_{s1}/(s \cdot b_w \cdot \sin \alpha)$	= 0,13%		
$A_{s,min}$	= $A_{s,min} = 0,26 \cdot f_{ctd} \cdot b \cdot d$	A_{s1}	= 424	A_{s1}	= 424	$\rho_w = A_{s1}/(s \cdot b_w \cdot \sin \alpha)$	= 0,13%		
přidaná ohyb. výtž.	2,0 Φ 18 mm	$A_{s,extra}$	= 362 mm ²	$A_{s,extra}$	= 362 mm ²	$\rho_w = A_{s,extra}/(s \cdot b_w \cdot \sin \alpha)$	= 0,00%		
min. rozd. výtž.	2,0 Φ 20 mm	$A_{s,perp}$	= 407 mm ²	$A_{s,perp}$	= 407 mm ²	$\rho_w = A_{s,perp}/(s \cdot b_w \cdot \sin \alpha)$	= 0,09%		
tačená výtěž	0 Φ 16 mm	A_{s2}	= mm ²	A_{s2}	= mm ²	$\rho_w = A_{s2}/(s \cdot b_w \cdot \sin \alpha)$	= 0,00%		
Smyková výtěž									
tréminky	4 Φ 10 mm	$A_{s,strip}$	= 314 mm ²	$A_{s,strip}$	= 314 mm ²	$\rho_w = A_{s,strip}/(s \cdot b_w \cdot \sin \alpha)$	= 0,13%		
ohyby	0 Φ 10 mm	$A_{s,bend}$	= mm ²	$A_{s,bend}$	= mm ²	$\rho_w = A_{s,bend}/(s \cdot b_w \cdot \sin \alpha)$	= 0,13%		
celkem	$\rho_{w,s} + \rho_{w,b} = 0,13\%$	$\rho_{w,s}$	= 0,13%	$\rho_{w,b}$	= 0,00%	$\rho_w = \rho_{w,s} + \rho_{w,b}$	= 0,13%		
Vnitřní síly									
M_d	= 220 kNm	M_k	= 140 kNm (kvazistátá)	V	= 210 kN				
Ohybová únosnost průřezu									
police neutrální osy									
x_{bal1}	= d	x_{bal2}	= d	x_{bal3}	= d	x_{bal4}	= d	x_{bal5}	= d
započtená tačená výtž.	$A_{s1} \cdot f_{td} - A_{s2} \cdot f_{td}$	$A_{s1} \cdot f_{td} - A_{s2} \cdot f_{td}$	$A_{s1} \cdot f_{td} - A_{s2} \cdot f_{td}$	$A_{s1} \cdot f_{td} - A_{s2} \cdot f_{td}$	$A_{s1} \cdot f_{td} - A_{s2} \cdot f_{td}$	$A_{s1} \cdot f_{td} - A_{s2} \cdot f_{td}$	$A_{s1} \cdot f_{td} - A_{s2} \cdot f_{td}$	$A_{s1} \cdot f_{td} - A_{s2} \cdot f_{td}$	$A_{s1} \cdot f_{td} - A_{s2} \cdot f_{td}$
ověření:	$x_{bal1} = 179$ mm	$x_{bal2} = 179$ mm	$x_{bal3} = 179$ mm	$x_{bal4} = 179$ mm	$x_{bal5} = 179$ mm	$x_{bal6} = 179$ mm	$x_{bal7} = 179$ mm	$x_{bal8} = 179$ mm	$x_{bal9} = 179$ mm
nezapočtená tačená výtž.	$x = \frac{0,8 \cdot b_{eff} \cdot f_{td}}{0,8 \cdot b_{eff} \cdot f_{td} - A_{s1} \cdot f_{td} - A_{s2} \cdot f_{td}}$	$x = \frac{0,8 \cdot b_{eff} \cdot f_{td}}{0,8 \cdot b_{eff} \cdot f_{td} - A_{s1} \cdot f_{td} - A_{s2} \cdot f_{td}}$	$x = \frac{0,8 \cdot b_{eff} \cdot f_{td}}{0,8 \cdot b_{eff} \cdot f_{td} - A_{s1} \cdot f_{td} - A_{s2} \cdot f_{td}}$	$x = \frac{0,8 \cdot b_{eff} \cdot f_{td}}{0,8 \cdot b_{eff} \cdot f_{td} - A_{s1} \cdot f_{td} - A_{s2} \cdot f_{td}}$	$x = \frac{0,8 \cdot b_{eff} \cdot f_{td}}{0,8 \cdot b_{eff} \cdot f_{td} - A_{s1} \cdot f_{td} - A_{s2} \cdot f_{td}}$	$x = \frac{0,8 \cdot b_{eff} \cdot f_{td}}{0,8 \cdot b_{eff} \cdot f_{td} - A_{s1} \cdot f_{td} - A_{s2} \cdot f_{td}}$	$x = \frac{0,8 \cdot b_{eff} \cdot f_{td}}{0,8 \cdot b_{eff} \cdot f_{td} - A_{s1} \cdot f_{td} - A_{s2} \cdot f_{td}}$	$x = \frac{0,8 \cdot b_{eff} \cdot f_{td}}{0,8 \cdot b_{eff} \cdot f_{td} - A_{s1} \cdot f_{td} - A_{s2} \cdot f_{td}}$	$x = \frac{0,8 \cdot b_{eff} \cdot f_{td}}{0,8 \cdot b_{eff} \cdot f_{td} - A_{s1} \cdot f_{td} - A_{s2} \cdot f_{td}}$
Momentová únosnost									
r_c	= H - (c ₁ +Φ/2)	r_c	= H - (c ₁ +Φ/2)	r_c	= H - (c ₁ +Φ/2)	r_c	= H - (c ₁ +Φ/2)	r_c	= H - (c ₁ +Φ/2)
r_{ed}	= H - (c ₂ +Φ/2)	r_{ed}	= H - (c ₂ +Φ/2)	r_{ed}	= H - (c ₂ +Φ/2)	r_{ed}	= H - (c ₂ +Φ/2)	r_{ed}	= H - (c ₂ +Φ/2)
M_d	= 0,8 · b · x · f _{td}	M_d	= 0,8 · b · x · f _{td}	M_d	= 0,8 · b · x · f _{td}	M_d	= 0,8 · b · x · f _{td}	M_d	= 0,8 · b · x · f _{td}
Max. moment:	$M_{Rd} = 229,1$ kN	M_{Rd}	= 229,1 kN	M_{Rd}	= 229,1 kN	M_{Rd}	= 229,1 kN	M_{Rd}	= 229,1 kN

Smyková únosnost průřezu bez smykové výztuže									
$k = 1 + \sqrt{\frac{200}{d}}$	= 1 + 200 / 281	= 1,844	< 2						K = 1,844
$\rho = \frac{A_{s1}}{b_w \cdot d}$	= 2036 / (1000 · 281)	= 0,007	< 0,02						ρ = 0,0072
$\sigma_{cp} = N_{ed}/A_c$	= 0 / 0,35	= 0	Mpa	< 0,2f _{cd}					σ _{cp} = 0,00
$V_{Rd,c} = [C_{Rd,c} K (100 \rho / f_{ctk})^{1/3} + k_1 \sigma_{cp}] b_w \cdot d$	= (0,12 · 1,844 · (30) ^{1/3} + 0,150 · 0,0) · 1000	= 281	= 173 kN						
minimum:	$V_{Rd,c} = 0,035 k^{1/2} \cdot f_{tk} \cdot b_w \cdot d$	= 0,0350 · 2,50333 · 548	= 0,480						
	$V_{Rd,c} = (V_{min} + k_1 \sigma_{cp}) b_w \cdot d$	= (0,480 + 0,15 · 0,00) · 1000	= 281	= 135 kN					
Max. smyk:	$V_{Rd,ct} = 173$ kN	> V _{Ed}	= 210 kN						121% nevýhoví

Smyková únosnost průřezu se smykovou výztuží									
sklon tlak. diagonál:	1 < cot θ = 2,500	< 2,500	θ = 21,80°						výhoví
$V_{Rd,s} = \frac{A_{s1} \cdot f_{y,ed}}{s} \cdot \cot \theta$	= 0,6 · (1 - 30 / 250) = 0,53	= 0,53	v = 0,528						
z	= 0,9 · (H - (d ₁ + Φ/2)) = 0,9 · (350 - 69)	= 253 mm							
tl. diag.:	$V_{Rd,max} = \frac{A_{s1} \cdot f_{y,ed}}{s} \cdot \cot \theta$	= 1000 · 0,53 · 20,0	= 2,90	= 921 kN					
tréminky:	$V_{Rd,s} = \frac{A_{s1} \cdot f_{y,ed}}{s} \cdot \cot \theta$	= 314 / 0,25	= 253	= 435	= 250	= 345 kN			
ohyby:									
$V_{Rd,s} = \frac{A_{s1} \cdot f_{y,ed}}{s} \cdot \cot \theta$	= 0 / 1,00	= 253	= 435	= 3,50	= 0,70711	= kN			
únosnost tlakových diagonál:	V _{Ed,max} = 920,90 kN	> V _{Ed}	= 210,0 kN						výhoví
únosnost tréminek:	V _{Ed,s,strip} = 345,44 kN	> V _{Ed}	= 210,0 kN						výhoví
únosnost ohybů:	V _{Ed,s,bend} = 0,00 kN	< V _{Ed,s,strip}	= 345,4 kN						výhoví
únosnost oceli:	V _{Ed,s} = 345,44 kN	> V _{Ed}	= 210,0 kN						výhoví
Max. smyk:	V _{Ed} = 345,44 kN	> V _{Ed}	= 210,0 kN						61% výchoví
přídavná ohybová výztuž:									
$F_{ed} = \frac{V_{Ed}}{2} \cdot \frac{1}{\cot \theta}$	= 0,500 · 210	= 105	= 157,5 kN						
$A_{s,extra} = F_{ed} \cdot f_{y,ed}$	= 158 / 435	= 362,25 mm ²							

MEZNI STAV POUŽITELNOSTI - VÝPOČET TRHLIN									
napětí ve výztuži:	$\sigma_s = \frac{M_{ed}}{I_{y,eff}} \cdot y_s$	= 0,01 · (-1 + 0,33 · (5,7E-04 / 4,1E-06) ^{1/4})	= 72 mm						
$I_{y,eff} = I_{y,cr} + \alpha_s \cdot I_{y,eff} \cdot (1 - x) = 1,2E-04 + 6,06 \cdot (8,9E-05 + 0,0E+400) = 0,000663$									
$\sigma_s = \alpha_s \cdot M_{ed} / (I_{y,eff} \cdot (1 - x))$	= 6,06 · 140 / 6,6E-04	= 281	= 72	= 287,5 Mpa					
šířka trhlin:	$\sigma_s = \alpha_s \cdot M_{ed} / (I_{y,eff} \cdot (1 - x))$	= 287,5	= 0,4	= 0,0220	= 1 + 6,06 · 0,0220	= 0,00104			
$\epsilon_{s,adm} - \epsilon_{s,min} = \frac{E_s}{E_c}$	= 0,6	= 287,5	= 200000	= 0,00080					
$S_{R,adm} = k_1 \cdot k_2 \cdot k_3 \cdot \rho / f_{y,ed}$	= 3,4 · 60 + 0,17	= 18	= 0,0220	= 343 mm					
$M_{R,adm} = S_{R,adm} \cdot (E_{s,adm} - E_{c,adm})$	= 343 · 0,00104	= 0,357 mm	< W _{k,max}	= 0,400 mm					výhoví

Křídlo_y_průřez 1

Průřez									
b _{eff}	=	1000 mm	b _w	=	1000 mm	H	=	350 mm	
c ₁	=	80 mm	c ₂	=	80 mm	w _{k,max}	=	0,40 mm	
d	=	265 mm	d ₂	=	85 mm	A _c	=	0,350 m2	
Materiály									
ocel: B 500 B		beton: C30/37		f _{yk}		f _{ctk}		MPa	
Y _s	=	1,15	f _{yk}	=	500 MPa	σ _{cc}	=	1	
f _{td}	=	434,8 MPa	E _{cm}	=	33,0	f _{cd}	=	20,0	MPa
E _y	=	200,0 GPa	α _c	=	6,06	f _{ct,m}	=	2,9	MPa
Ohybová výtěž									
tažená výtěž	8	Φ 10 mm	+	0	Φ 25 mm	A _{s1}	=	628 mm ²	(0,180%)
A _{s,min}	=	A _{s,min} = 0,26 · $\frac{f_{ctd}}{f_{yk}}$ · b _d · d		= 400 < 628 < A _{s,max}		= 0,04 · A _c		= 14 000	
přidaná ohyb. výž.									
min. rozš. výž.	2,0	Φ 10 mm	A _{s,exp}	=	126 mm ²	(pro desky)			
tažená výtěž	8	Φ 10 mm	A _{s2}	=	628 mm ²	Tlačená výtěž nezapočítána			
Smyková výtěž									
tržninky	4	Φ 10 mm	A _{stirrup}	=	314 mm ²	ρ _w = A _{stirrup} / (s · b _w · sinα) =		0,13%	
ohyby	0	Φ 10 mm	A _{bend}	=	mm ²	sklon α =		45°	
celkem	ρ _{ws} + ρ _{wb}	=	0,13%	>	ρ _{ws,min} = (0,08 · $\sqrt{f_{ctd}}$) / f _{yk}	= 0,09%		vyhoví	
Vnitřní síly									
M _d	=	60 kNm	M _k	=	40 kNm (kvazistátá)	V	=	200 kN	
OHYBOVÁ ÚNOSNOST PRŮŘEZU									
Police neutrální osy									
x _{bal1}	=	d	·	700 / (700 +	f _{td}	=	270	·
x _{bal2}	=	d	·	700 / (700 -	f _{td}	=	80	·
započtená tlačená výž.									
$x = \frac{A_{s1} \cdot f_{td} - A_{s2} \cdot f_{td}}{0,8 \cdot b_{eff} \cdot f_{cd}} = \frac{628 \cdot 435 - 628 \cdot 435}{0,8 \cdot 1000 \cdot 20,0} = 0$									
ověření:	x _{bal1}	=	167 mm	x	=	mm	>	x _{bal2}	=
nezapočtená tlačená výž.									
$x = \frac{A_{s1} \cdot f_{td} - A_{s2} \cdot f_{td}}{0,8 \cdot b_{eff} \cdot f_{cd}} = \frac{628 \cdot 435 - 628 \cdot 435}{0,8 \cdot 1000 \cdot 20,0} = 17,1 \text{ mm}$									
Momentová únosnost									
r _c	=	H - (c ₁ +Φ/2)	=	0,4	·	x	=	350	-
r _{cd}	=	H - (c ₂ +Φ/2)	=	350	-	85	=	180,0 mm	
M _{td}	=	0,8	·	b	·	x	·	f _{cd}	·
Max. moment:									
M _{td}	=	70,5 kN	>	M _{Ed}	=	60 kN	85%	vyhoví	

SMYKOVÁ ÚNOSNOST PRŮŘEZU BEZ SMYKOVÉ VÝŽUŽE									
k	=	1 + $\sqrt{\frac{200}{d}}$	=	1	+	200 /	265	=	1,869 < 2
A _{sd}	=	628	/	(1000	·	265	=	0,002 < 0,02
ρ _{wp}	=	A _{sd} / A _c	=	0	/	0,35	=	0	Mpa < 0,2f _{cd}
V _{Ed,c}	=	[C _{90s} K(100 ρ ₁ f _{td}) ^{1/3} + k ₁ ρ _{wp}] b _w d	=	(0,12	·	1,869	·	30
V _{min}	=	0,035 k ₁ ^{1/2} · f _{td} ^{1/2}	=	0,0350	·	2,55461	=	5,48	= 0,490
V _{Ed,c}	=	(V _{min} + k ₁ ρ _{wp}) b _w d	=	0,490	·	0,15	·	1000	= 265 = 130 kN
Max. smyk:	V _{Ed,ct}	=	130 kN	>	V _{Ed}	=	200 kN	154%	nevyhoví
SMYKOVÁ ÚNOSNOST PRŮŘEZU SE SMYKOVOU VÝŽUŽÍ									
sklon tlak. diagonál:	1	<	cot θ	=	2,500	<	2,500	θ	= 21,80°
v = 0,6 $\sqrt{\frac{f_{ctd}}{250}}$	=	0,6	(1	-	30 /	250	=	0,53
z	=	0,9	·	(H - (d ₁ + Φ/2)	=	0,9	(350 - 85
tl. diag.:	V _{Ed,max}	=	c _{90s} b _w z h ₁ f _{td} / (cot θ + tan θ)	=	1000	·	239	·	0,53
tržninky:	V _{Ed,s}	=	A _{stirrup} z f _{ywd} cot θ	=	314	/	0,25	·	239
ohyby:	V _{Ed,s}	=	A _{bend} / S	=	0	/	1,00	·	239
únosnost tlakových diagonál:	V _{Ed,max}	=	868,47 kN	>	V _{Ed}	=	200,0 kN	vyhoví	
únosnost tržnink:	V _{Ed,s, stirrup}	=	325,77 kN	>	V _{Ed}	=	200,0 kN	vyhoví	
únosnost ohyb:	V _{Ed,s, bend}	=	0,00 kN	<	V _{Ed,s, stirr}	=	325,8 kN	vyhoví	
únosnost oceli:	V _{Ed,s}	=	325,77 kN	>	V _{Ed}	=	200,0 kN	vyhoví	
Max. smyk:	V _{Ed}	=	325,77 kN	>	V _{Ed}	=	200,0 kN	61%	vyhoví
přídavná ohybová výž.	F _{Ed}	=	$\frac{1}{2} \frac{V_{Ed}}{z} \frac{V_{Ed}}{F_{Ed}}$	=	0,500	·	200	(2,50 - 1
A _{s,extra}	=	F _{Ed} / f _{td}	=	150	/	435	=	345 mm ²	
MEZNI STAV POUŽITELNOSTI - VÝPOČET TRHLIN									
napětí ve výž.									
x = $\frac{\alpha_s (A_s + A_{s2})}{b (A_s + A_{s2})} \left[1 + \frac{1}{\alpha_s} \frac{A_{s1} d + A_{s2} d}{(A_s + A_{s2})} \right] = 0,01$ (-1 + 1 + 0,33 · $\frac{2,2E-04}{1,6E-06}$) ^{1/3} = 45 mm									
f _{cr} = 1/30 x ² + α _s [A _{s1} (d-x) + A _{s2} (x-d)] = 3,0E-05 + 6,06 (3,1E-05 + 1,0E-06) = 0,000221 m ⁴									
σ _s = α _s · M _d / I _{cr} (d-x) = 6,06 · 40 / 2,2E-04 (265 - 45) = 242,1 MPa									
šířka trhlin:									
h _{eff} = min(212,5 ; 102 ; 175) = 102 mm									
σ _{s,eff} (A _s + α _s ² A _{s2}) / A _{s,eff} = 628 / 101809 = 0,0062									
σ _s - k ₁ $\frac{f_{ct,eff}}{\rho_{s,eff}}$ (1 + α _s ρ _{s,eff}) = 242,1 - 0,4 · $\frac{2,9}{0,0062}$ (1 + 6,06 · 0,0062) = 0,00024									
ε _{sm} - ε _{cm} = $\frac{\sigma_s - k_1 \frac{f_{ct,eff}}{\rho_{s,eff}} (1 + \alpha_s \rho_{s,eff})}{E_s}$ = 0,6 · $\frac{242,1}{200000}$ / 200000 = 0,00073									
S _{cr,max} = k ₃ σ + k ₁ k ₃ σ _{s,eff} / ρ _{s,eff} = 3,4 · 80 + 0,17 · 10 / 0,0062 = 547 mm									
W _k = S _{cr,max} (ε _{sm} - ε _{cm}) = 547 · 0,00073 = 0,398 mm < w _{k,max} = 0,400 mm									

Křídlo_y_průřez 2

Průřez									
b _{eff}	=	1000 mm	b _w	=	1000 mm	H	=	350 mm	
c ₁	=	80 mm	c ₂	=	80 mm	w _{k,max}	=	0,40 mm	
d	=	261 mm	d ₂	=	85 mm	A _c	=	0,350 m ²	
Materiály									
ocel: B 500 B		beton: C30/37		f _{yk}		f _{tk}		MPa	
Y _s	=	1,15	f _{yk}	=	500 MPa	ρ _s	=	0,13%	
f _{td}	=	434,8 MPa	E _{cm}	=	33,0	ρ _s	=	0,13%	
E _y	=	200,0 GPa	α _c	=	6,06	ρ _s	=	0,13%	
Ohybová výtěž									
tažená výtěž		8 Φ 18 mm		+ 0 Φ 25 mm		A _{s1}		= 2036 mm ²	
A _{s,min}	=	A _{s,min} = 0,26 · $\frac{f_{ctm}}{f_{yk}}$ · b _d · d	0,0013b _d · d		= 394		< 2 036		< A _{s,max}
přidaná ohyb. výzt.									
min. rozř. výtěž:		0,0 Φ 18 mm		A _{s,extra}		= 518 mm ²			
tažená výtěž		6,0 Φ 10 mm		A _{s,perp}		= 407 mm ²		(pro desky)	
tlačená výtěž		8 Φ 10 mm		A _{s2}		= 628 mm ²		Tlačená výtěž nezapočtena	
Smyková výtěž									
třímnky		4 Φ 10 mm		A _{ws,strip}		= 314 mm ²			
ohyby		0 Φ 10 mm		A _{ws,strip}		= 1257 mm ² /m ²		ρ _{ws} = A _{ws} /(s · b _w · sinα) = 0,13%	
celkem		S _w = 1000 mm		ρ _{ws} = A _{ws} /(s · b _w · sinα) = 0,00% <		P _{ws}		= 0,13%	
		P _{ws} + P _{wsb} = 0,13% >		P _{wsb} = (0,08 · $\frac{f_{ctm}}{f_{yk}}$) · f _{yk} = 0,09%					
Vnitřní síly									
M _d	=	160 kNm	M _k	=	120 kNm (kvazistátá)	V	=	300 kN	
OHYBOVÁ ÚNOSNOST PRŮŘEZU									
Police neutrální osy									
x _{bal1}	=	d · 700 / (700 + f _{pd})	=	270	· 700 / (700 + 434,8)	=	167 mm		
x _{bal2}	=	d · 700 / (700 - f _{pd})	=	80	· 700 / (700 - 434,8)	=	211,1 mm		
započtená tlačená výtěž:									
ověření:									
nezapočtená tlačená výtěž:									
Momentová únosnost									
r _c	=	H - (c ₁ +Φ/2)	=	0,4	· x	=	350	· 89	= 239 mm
r _{a2}	=	H - (c ₂ +Φ/2) - (c ₂ +Φ/2)	=	350	· 89	=	176,0 mm		
M _{td}	=	0,8 · b · x · f _{cd} · r _c	+ A _{s2} · f _{td} · r _{a2}						
Max. moment:	M _{red}	=	211,4 kN	>	M _{Ed}	=	160 kN	76%	

průřez 2

SMYKOVÁ ÚNOSNOST PRŮŘEZU BEZ SMYKOVÉ VÝTŽE


$k = 1 + \sqrt{\frac{200}{d}}$	=	1	+	200	/	261	=	1,875	<	2	k	=	1,875				
$\rho = \frac{A_{st}}{b_w \cdot d}$	=	2036	·	261	·	0,008	<	0,02			ρ	=	0,0078				
$\sigma_{cp} = \frac{N_{Ed}}{A_c}$	=	0	/	0,35	=	0	MPa	<	0,2f _{cd}	=	4,00	σ_{cp}	=	0,00			
$V_{red,c} = [C_{90} \cdot K(100 \cdot \rho^{1/3} \cdot f_{ctd})^{1/3} + k_1 \cdot \sigma_{cp}] \cdot b_w \cdot d$	=	(0,12	·	1,875	·	30	·	0,150	·	0,0)	1000	·	261	=	168 kN	
minimum:																	
$V_{min} = 0,035 \cdot k_1^{1/2} \cdot f_{ctd}^{1/2}$	=	0,0350	·	2,56822	=	0,492											
$V_{red,c} = (V_{min} + k_1 \cdot \sigma_{cp}) \cdot b_w \cdot d$	=	0,492	+	0,15	·	0,00)	1000	·	261	=	128 kN					
Max. smyk:	$V_{red,st}$	=	168 kN	>	V_{Ed}	=	300 kN									179%	nehoví

SMYKOVÁ ÚNOSNOST PRŮŘEZU SE SMYKOVOU VÝTŽÍ

sklon tlak. diagonál:	$1 < \cot \theta = \frac{2,500}{2,500}$	<	2,500	=	2,500	$\theta = 21,80^\circ$	vyhoví									
$v = 0,6 \sqrt{\frac{f_{ctd}}{250}}$	=	0,6	·	1	·	30	/	250	=	0,53	v	=	0,528			
$z = 0,9 \cdot (H - (d_1 + \Phi/2))$	=	0,9	·	(350 - 89)	=	235 mm										
tl. diag.:	$V_{red,max} = \alpha_{cw} \cdot b_w \cdot z \cdot v \cdot f_{ywd} (\cot \theta + \tan \theta)$	=	1000	·	235	·	0,53	·	20,0	/	2,90	=	855 kN			
třímnky:	$V_{red,s} = \frac{A_{st,max} \cdot z \cdot f_{ywd} \cdot \cot \theta}{S}$	=	314	/	0,25	·	235	·	435	·	2,50	=	321 kN			
ohyby:																
$V_{red,s} = \frac{A_{st,max} \cdot z \cdot f_{ywd} \cdot \cot(\theta)}{S}$	=	0	/	1,00	·	235	·	435	·	3,50	·	0,70711	=	kN		
únosnost tlakových diagonál:	$V_{td,max}$	=	855,36 kN	>	V_{Ed}	=	300,0 kN						vyhoví			
únosnost třímnků:	$V_{td,s,strip}$	=	320,85 kN	>	V_{Ed}	=	300,0 kN						vyhoví			
únosnost ohybů:	$V_{td,s,bend}$	=	0,00 kN	<	$V_{td,s,strip}$	=	320,9 kN						vyhoví			
únosnost oceli:	$V_{rd,s}$	=	320,85 kN	>	V_{Ed}	=	300,0 kN						vyhoví			
Max. smyk:	V_{rd}	=	320,85 kN	>	V_{Ed}	=	300,0 kN						94%	vyhoví		
přidavná ohybová výtěž:																
$F_{Ed} = \frac{V_{Ed}}{2} \cdot \frac{z}{f_{ywd}} \cdot (\cot \theta - \cot \alpha)$	=	0,500	·	300	·	(2,50 - 1)	=	225,0 kN								
$A_{st,extra} = F_{Ed} / f_{yd}$	=	225	/	435	=	517,5 mm ²										

MEZNI STAV POUŽITELNOSTI - VÝPOČET TRHLIN

napětí ve výtěž:	$\sigma_s = \frac{\alpha}{b} \cdot \frac{A_s}{(A_1 + A_2)} \cdot \left[-1 + \frac{1}{\alpha} \cdot \frac{2b \cdot A_d + A_2}{(A_1 + A_2)} \right]$	=	0,02	·	(-1 + 1 + 0,33 · $\frac{5,8E-04}{7,1E-06}$) ^{1/3}	=	70 mm					
$I_{xx} = 1/30 \cdot x^3 + \alpha_s \cdot [A_1 \cdot (d - x)^3 + A_2 \cdot (x - d_2)^3]$	=	1,1E-04	+	6,06	·	(7,5E-05 + 1,5E-07)	=	0,000565 m ⁴				
$\sigma_s = \alpha_s \cdot M_{Ed} / (I_{xx} \cdot (d - x))$	=	6,06	·	120	/	5,7E-04	·	(261 - 70) =	246,3	MPa		
šířka trhlin:												
$h_{eff} = \min(222,5 ; 93 ; 175)$	=	93										
$\lambda_{tr,act} = (A_s + \xi_s^2 \cdot A_2) / A_{s,act}$	=	2036	/	93474	=	0,0218						
$\epsilon_{sm} - \epsilon_{cm} = \frac{\sigma_s - \alpha_s \cdot \frac{f_{ct,eff}}{\rho_{p,eff}} (1 + \alpha_s \cdot \rho_{p,eff})}{E_s}$	=	246,3	·	0,4	·	$\frac{2,9}{0,0218}$ · (1 + 6,06 · 0,0218)	=	0,00093				
$0,6 \cdot \frac{\sigma_s}{E_s}$	=	0,6	·	246,3	/	200000	=	0,00074				
$S_{cr,max} = k_{\sigma} \cdot \sigma_s + k_1 \cdot k_2 \cdot \sigma_s \cdot \epsilon_{cm}$	=	3,4	·	80	·	0,17	·	18	/	0,0218	=	413 mm
$W_k = S_{cr,max} \cdot (\epsilon_{sm} - \epsilon_{cm})$	=	413	·	0,00093	=	0,384 mm	<	$W_{k,max}$	=	0,400 mm		vyhoví

 PUDIS akciová společnost	Stavba:	Rekonstrukce průtahu silnic III/37418, 37417 a mostu č.e. 37417-1 v obci Letovice – Podolí
	Objekt:	SO 201 Most č.e. 37417-1

III. ÚHLOVÉ ZDI Z1 A Z2

1. Charakteristiky modelu

- Úhlová zeď byla modelována v programu FIN GEO v15 modul Úhlová zeď
- Stabilita svahu byla spočtena v modulu Stabilita svahu
- Sedání bylo spočteno v modulu Patky
- Model byl zatížen:
 - zemním tlakem
 - modelem zatížení LM1
 - osamělou silou reprezentující vl. tíhu římsy.

2. Výpočet

Výpočet MSÚ byl proveden:

- dle návrhového přístupu 2 pro posouzení překlopení, posunutí, únosnost základové půdy, únosnost ŽB průřezu
- dle návrhového přístupu 3 pro posouzení celkové stability konstrukce

Model je podrobně popsán ve výstupovém dokumentu ze softwaru. Celková stabilita konstrukce byla počítána pro fázi výstavby, kdy je základ zdi zepředu zasypán. (odpovídá skutečnému stavu).

Výpočet úhlové zdi

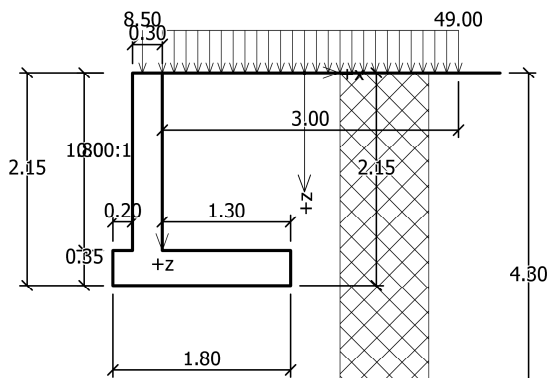
Vstupní data

Projekt

Datum : 8/9/2013

Název : Úhlová zeď SZ

Fáze : 1



Nastavení

Standardní - EN 1997 - DA2

Materiály a normy

Betonové konstrukce : EN 1992-1-1 (EC2)

Součinitele EC2 : standardní

Výpočet zdi

Výpočet aktivního tlaku : Coulomb (ČSN 730037)

Výpočet pasivního tlaku : Caquot-Kerisel (ČSN 730037)

Výpočet zemětřesení : Mononobe-Okabe

Tvar zemního klínu : počítat šikmý

Výstupek základu : výstupek uvažovat jako šikmou základovou spáru

Metodika posouzení : výpočet podle EN1997

Návrhový přístup : 2 - redukce zatížení a odporu

Součinitele redukce zatížení (F)

Trvalá návrhová situace

		Nepříznivé	Příznivé
Stálé zatížení :	$\gamma_G =$	1.35 [-]	1.00 [-]
Proměnné zatížení :	$\gamma_Q =$	1.50 [-]	0.00 [-]
Zatížení vodou :	$\gamma_w =$	1.35 [-]	

Součinitele redukce odporu (R)

Trvalá návrhová situace

Součinitel redukce odporu na překlopení :	$\gamma_{Re} =$	1.40 [-]
Součinitel redukce odporu na posunutí :	$\gamma_{Rh} =$	1.10 [-]
Součinitel redukce odporu základové půdy :	$\gamma_{Rv} =$	1.40 [-]

Kombinační součinitele pro proměnná zatížení

Trvalá návrhová situace

Součinitel kombinační hodnoty :	$\psi_0 =$	0.70 [-]
Součinitel časté hodnoty :	$\psi_1 =$	0.50 [-]
Součinitel kvazistálé hodnoty :	$\psi_2 =$	0.30 [-]

Materiál konstrukce

Objemová tíha $\gamma = 25.00 \text{ kN/m}^3$

Výpočet betonových konstrukcí proveden podle normy EN 1992-1-1 (EC2).

Beton : C 30/37

Válcová pevnost v tlaku

$f_{ck} = 30.00 \text{ MPa}$

Pevnost v tahu $f_{ctm} = 2.90 \text{ MPa}$

Ocel podélná : B500

Mez kluzu

 $f_{yk} = 500.00 \text{ MPa}$

Parametry zemín

AN

Objemová tíha : $\gamma = 21.00 \text{ kN/m}^3$
Napjatost : efektivní
Úhel vnitřního tření : $\varphi_{ef} = 24.00^\circ$
Soudržnost zeminy : $c_{ef} = 5.00 \text{ kPa}$
Třecí úhel kce-zemina : $\delta = 10.00^\circ$
Zemina : nesoudržná
Obj.tíha sat.zeminy : $\gamma_{sat} = 22.00 \text{ kN/m}^3$

FL1

Objemová tíha : $\gamma = 18.50 \text{ kN/m}^3$
Napjatost : efektivní
Úhel vnitřního tření : $\varphi_{ef} = 19.00^\circ$
Soudržnost zeminy : $c_{ef} = 5.00 \text{ kPa}$
Třecí úhel kce-zemina : $\delta = 8.00^\circ$
Zemina : nesoudržná
Obj.tíha sat.zeminy : $\gamma_{sat} = 20.00 \text{ kN/m}^3$

FL2

Objemová tíha : $\gamma = 21.50 \text{ kN/m}^3$
Napjatost : efektivní
Úhel vnitřního tření : $\varphi_{ef} = 30.00^\circ$
Soudržnost zeminy : $c_{ef} = 0.00 \text{ kPa}$
Třecí úhel kce-zemina : $\delta = 12.00^\circ$
Zemina : nesoudržná
Obj.tíha sat.zeminy : $\gamma_{sat} = 22.50 \text{ kN/m}^3$

W5

Objemová tíha : $\gamma = 20.50 \text{ kN/m}^3$
Napjatost : efektivní
Úhel vnitřního tření : $\varphi_{ef} = 30.00^\circ$
Soudržnost zeminy : $c_{ef} = 0.00 \text{ kPa}$
Třecí úhel kce-zemina : $\delta = 12.00^\circ$
Zemina : nesoudržná
Obj.tíha sat.zeminy : $\gamma_{sat} = 22.00 \text{ kN/m}^3$

W4-W3


Objemová tíha : $\gamma = 21.50 \text{ kN/m}^3$
Napjatost : efektivní
Úhel vnitřního tření : $\varphi_{ef} = 33.00^\circ$
Soudržnost zeminy : $c_{ef} = 15.00 \text{ kPa}$
Třecí úhel kce-zemina : $\delta = 13.00^\circ$
Zemina : nesoudržná
Obj.tíha sat.zeminy : $\gamma_{sat} = 22.50 \text{ kN/m}^3$

W2



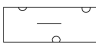
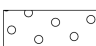


Objemová tíha : $\gamma = 22.00 \text{ kN/m}^3$
Napjatost : efektivní
Úhel vnitřního tření : $\varphi_{ef} = 36.00^\circ$
Soudržnost zeminy : $c_{ef} = 70.00 \text{ kPa}$
Třecí úhel kce-zemina : $\delta = 15.00^\circ$
Zemina : nesoudržná
Obj.tíha sat.zeminy : $\gamma_{sat} = 23.00 \text{ kN/m}^3$

Třída G2, ulehla

Objemová tíha : $\gamma = 20.00 \text{ kN/m}^3$
Napjatost : efektivní
Úhel vnitřního tření : $\varphi_{ef} = 38.50^\circ$
Soudržnost zeminy : $c_{ef} = 0.00 \text{ kPa}$
Třecí úhel kce-zemina : $\delta = 10.00^\circ$
Zemina : nesoudržná
Obj.tíha sat.zeminy : $\gamma_{sat} = 22.00 \text{ kN/m}^3$

 PUDIS akciová společnost	Stavba:	Rekonstrukce průtahu silnic III/37418, 37417 a mostu č.e. 37417-1 v obci Letovice – Podolí
	Objekt:	SO 201 Most č.e. 37417-1

Geologický profil a přiřazení zemin

Číslo	Vrstva [m]	Přiřazená zemina	Vzorek
1	4.30	AN	
2	1.60	FL1	
3	0.80	FL2	
4	0.60	W5	
5	1.50	W4-W3	
6	-	W2	

Tvar terénu

Terén za konstrukcí je rovný.

Vliv vody

Hladina podzemní vody za konstrukcí je v hloubce 4.30 m
Vztlak v základové spáře od rozdílných tlaků není uvažován.

Zadaná plošná přitížení

Číslo	Přítížení		Působ.	Vel.1 [kN/m ²]	Vel.2 [kN/m ²]	Poř.x x [m]	Délka l [m]	Hloubka z [m]
	nové	změna						
1	ANO		proměnné	49.00		0.00	3.00	na terénu
Číslo	Název							
1	LM1 UDL1							

Odpor na lici konstrukce

Odpor na lici konstrukce není uvažován.

Zadané síly působící na konstrukci

Číslo	Síla		Název	Působ.	F _x [kN/m]	F _z [kN/m]	M [kNm/m]	x [m]	z [m]
	nová	změna							
1	ANO		Římsa	stálé	0.00	8.50	0.00	-0.20	0.00

Nastavení výpočtu fáze

Návrhová situace : trvalá
Zed' se může přemístit, je počítána na zatížení aktivním tlakem.

Posouzení čís. 1

Spočtené síly působící na konstrukci

Název	F _{vod} [kN/m]	Působíště Z [m]	F _{svis} [kN/m]	Působíště X [m]	Koef. překl.	Koef. posun.	Koef. napětí
Tíh.- zed'	0.00	-0.67	29.25	0.65	1.000	1.000	1.350
Tíh.- zemní klín	0.00	-1.00	27.05	0.94	1.000	1.000	1.350
Aktivní tlak	13.70	-0.68	16.32	1.48	1.000	1.350	1.350
Tlak vody	0.00	-2.15	0.00	0.63	1.000	1.000	1.000
LM1 UDL1	22.23	-0.90	25.74	1.26	1.500	1.500	1.500
Římsa	0.00	-2.15	8.50	0.30	1.000	1.000	1.350

Posouzení celé zdi

Posouzení na překlopení


Moment vzdorující M_{vzd} = 85.55 kNm/m
Moment klopící M_{kl} = 39.24 kNm/m

Zed' na překlopení VYHOVUJE

Posouzení na posunutí

Vodor. síla vzdorující H_{vzd} = 56.98 kN/m

[GEO5 - Úhlová zed' verze 5.15.15.0 | hardwarový klíč 4294 / 1 | PUDIS a.s. | Copyright © 2013 Fine spol. s r.o. All Rights Reserved | www.fine.cz]

 PUDIS akciová společnost	Stavba:	Rekonstrukce průtahu silnic III/37418, 37417 a mostu č.e. 37417-1 v obci Letovice – Podolí
	Objekt:	SO 201 Most č.e. 37417-1

Vodor. síla posunující $H_{pos} = 51.85 \text{ kN/m}$

Zed' na posunutí VYHOVUJE

Celkové posouzení - ZED' VYHOVUJE

Maximální napětí v základové spáře : 107.40kPa

Únosnost základové půdy

Posouzení plošného základu

Vstupní data

Nastavení

Standardní - EN 1997 - DA2

Materiály a normy

Betonové konstrukce : EN 1992-1-1 (EC2)

Součinitele EC2 : standardní

Sedání

Metoda výpočtu : ČSN 73 1001 (Výpočet pomocí edometrického modulu)

Omezení deformační zóny : procentem Sigma,Or

Koef. omezení deformační zóny : 10.0 [%]

Patky

Výpočet pro odvodněné podmínky : EC 7-1 (EN 1997-1:2003)

Metodika posouzení : výpočet podle EN1997

Návrhový přístup : 2 - redukce zatížení a odporu

Součinitele redukce zatížení (F)			
Trvalá návrhová situace			
		Nepříznivé	Příznivé
Stálé zatížení :	$\gamma_G =$	1.35 [-]	1.00 [-]

Součinitele redukce odporu (R)			
Trvalá návrhová situace			
Součinitel redukce svislé únosnosti :	$\gamma_{Rvs} =$	1.40 [-]	
Součinitel redukce vodorovné únosnosti :	$\gamma_{Rhs} =$	1.10 [-]	

Založení

Typ základu: základový pas

Hloubka od původního terénu $h_z = 2.15 \text{ m}$

Hloubka základové spáry $d = 0.75 \text{ m}$

Tloušťka základu $t = 0.35 \text{ m}$

Sklon upraveného terénu $s_1 = 0.00^\circ$

Sklon základové spáry $s_2 = 0.00^\circ$

Objemová tíha zeminy nad základem = 21.00 kN/m³

Štěrkopískový polštář

Zemina tvořící ŠP polštář - Třída G2, ulehlá

Přesah ŠP polštáře mimo základ $d_{sp} = 0.05 \text{ m}$

Hloubka štěrkopískového polštáře $h_{sp} = 0.40 \text{ m}$

Zatížení


Číslo	Zatížení		Název	Typ	N [kN/m]	M _y [kNm/m]	H _x [kN/m]
	nové	změna					
1	ANO		ZS 1	Užitné	122.37	11.48	-43.25
2	ANO		ZS 2	Návrhové	122.37	11.48	-43.25
3	ANO		ZS 3	Užitné	99.69	7.45	-43.25
4	ANO		ZS 4	Návrhové	99.69	7.45	-43.25

Hladina podzemní vody

Hladina podzemní vody je v hloubce 4.30 m od původního terénu.

Celkové nastavení výpočtu

Typ výpočtu : výpočet pro odvodněné podmínky

 PUDIS akciová společnost	Stavba:	Rekonstrukce průtahu silnic III/37418, 37417 a mostu č.e. 37417-1 v obci Letovice – Podolí
	Objekt:	SO 201 Most č.e. 37417-1

Nastavení výpočtu fáze

Návrhová situace : trvalá

Posouzení čís. 1

Posouzení zatěžovacích stavů

Název	VL. tíha příznivě	e_x [m]	e_y [m]	σ [kPa]	R_d [kPa]	Využití [%]	Vyhovuje
ZS 2	Ano	-0.17	0.00	105.05	166.37	63.14	Ano
ZS 2	Ne	-0.16	0.00	110.58	173.11	63.88	Ano
ZS 4	Ano	-0.17	0.00	89.35	151.85	58.84	Ano
ZS 4	Ne	-0.16	0.00	94.89	160.28	59.20	Ano

Výpočet proveden s automatickým výběrem nejnepříznivějších zatěžovacích stavů.

Spočtená vlastní tíha pasu $G = 21.26$ kN/m

Spočtená tíha nadloží $Z = 19.28$ kN/m

Posouzení svislé únosnosti

Tvar kontaktního napětí : obdélník

Nejnepříznivější zatěžovací stav číslo 2. (ZS 2)

Parametry smykové plochy pod základem:

Hloubka smykové plochy $z_{sp} = 2.36$ m

Dosah smykové plochy $l_{sp} = 6.51$ m

Výpočtová únosnost zákl. půdy $R_d = 173.11$ kPa

Extrémní kontaktní napětí $\sigma = 110.58$ kPa

Svislá únosnost VYHOVUJE

Posouzení vodorovné únosnosti

Nejnepříznivější zatěžovací stav číslo 4. (ZS 4)

Zemní odpor: není uvažován

Úhel tření základ-základová spára $\psi = 38.50^\circ$

Soudržnost základ-základová spára $a = 0.00$ kPa

Horizontální únosnost základu $R_{dh} = 93.80$ kN

Extrémní horizontální síla $H = 43.25$ kN

Vodorovná únosnost VYHOVUJE

Únosnost základu VYHOVUJE

Posouzení čís. 1

Sednutí a natočení základu - vstupní data

Výpočet proveden s automatickým výběrem nejnepříznivějších zatěžovacích stavů.

Výpočet proveden s uvažováním koeficientu κ_1 (vliv hloubky založení).

Napětí v základové spáře neuvažováno.

Spočtená vlastní tíha pasu $G = 15.75$ kN/m

Spočtená tíha nadloží $Z = 14.28$ kN/m

Sednutí středu délkové hrany $= 3.9$ mm

Sednutí středu šířkové hrany 1 $= 6.5$ mm

Sednutí středu šířkové hrany 2 $= 5.2$ mm

(1-hrana max.tlačená; 2-hrana min.tlačená)

Sednutí a natočení základu - výsledky

Tuhost základu:

Spočtený vážený průměrný modul přetvárnosti $E_{def} = 51.54$ MPa

Základ je ve směru délky tuhý ($k=4.71$)

Základ je ve směru šířky tuhý ($k=27.45$)

Celkové sednutí a natočení základu:

Sednutí základu $= 5.0$ mm

Hloubka deformační zóny $= 4.03$ m

Natočení ve směru šířky $= 0.703$ (\tan^*1000)

Výpočet úhlové zdi

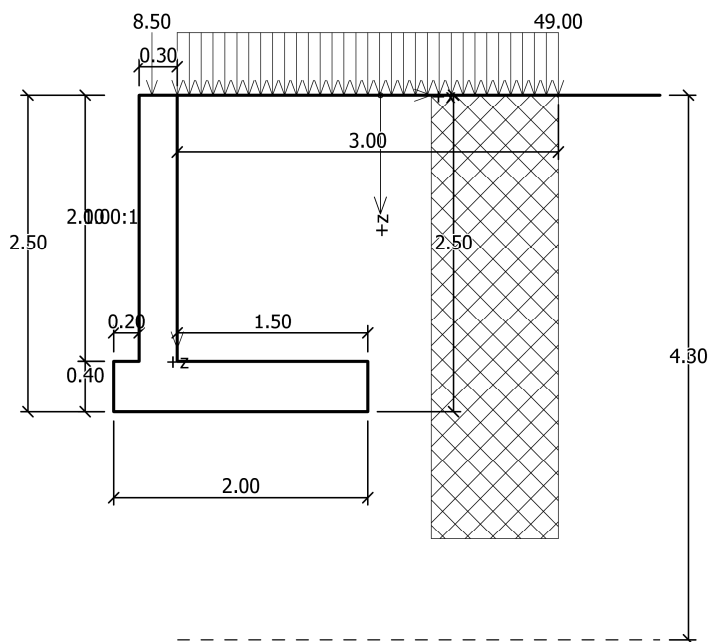
Vstupní data

Projekt

Datum : 8/9/2013

Název : Úhlová zeď SV

Fáze : 1



Nastavení

Standardní - EN 1997 - DA2

Materiály a normy

Betonové konstrukce : EN 1992-1-1 (EC2)

Součinitele EC2 : standardní

Výpočet zdi

Výpočet aktivního tlaku : Coulomb (ČSN 730037)

Výpočet pasivního tlaku : Caquot-Kerisel (ČSN 730037)

Výpočet zemětřesení : Mononobe-Okabe


Tvar zemního klínu : počítat šikmý

Výstupek základu : výstupek uvažovat jako šikmou základovou spáru

Metodika posouzení : výpočet podle EN1997

Návrhový přístup : 2 - redukce zatížení a odporu

Součinitele redukce zatížení (F)			
Trvalá návrhová situace			
Stálé zatížení :	$\gamma_G =$	1.35 [-]	1.00 [-]
Proměnné zatížení :	$\gamma_Q =$	1.50 [-]	0.00 [-]
Zatížení vodou :	$\gamma_w =$	1.35 [-]	
Součinitele redukce odporu (R)			
Trvalá návrhová situace			
Součinitel redukce odporu na překlopení :	$\gamma_{Re} =$	1.40 [-]	
Součinitel redukce odporu na posunutí :	$\gamma_{Rh} =$	1.10 [-]	
Součinitel redukce odporu základové půdy :	$\gamma_{Rv} =$	1.40 [-]	
Kombinační součinitele pro proměnná zatížení			
Trvalá návrhová situace			
Součinitel kombinační hodnoty :	$\psi_0 =$	0.70 [-]	
Součinitel časté hodnoty :	$\psi_1 =$	0.50 [-]	
Součinitel kvazistálé hodnoty :	$\psi_2 =$	0.30 [-]	

 PUDIS akciová společnost	Stavba:	Rekonstrukce průtahu silnic III/37418, 37417 a mostu č.e. 37417-1 v obci Letovice – Podolí
	Objekt:	SO 201 Most č.e. 37417-1

Materiál konstrukce

Objemová tíha $\gamma = 25.00 \text{ kN/m}^3$

Výpočet betonových konstrukcí proveden podle normy EN 1992-1-1 (EC2).

Beton : C 30/37

Válcová pevnost v tlaku

$f_{ck} = 30.00 \text{ MPa}$

Pevnost v tahu



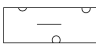



$f_{ctm} = 2.90 \text{ MPa}$

Ocel podélná : B500

Mez kluzu

$f_{yk} = 500.00 \text{ MPa}$

Geologický profil a přiřazení zemin

Číslo	Vrstva [m]	Přiřazená zemina	Vzorek
1	4.30	AN	
2	1.60	FL1	
3	0.80	FL2	
4	0.60	W5	
5	1.50	W4-W3	
6	-	W2	

Tvar terénu

Terén za konstrukcí je rovný.

Vliv vody

Hladina podzemní vody za konstrukcí je v hloubce 4.30 m

Vztlak v základové spáře od rozdílných tlaků není uvažován.

Zadaná plošná přitížení

Číslo	Přítížení		Působ.	Vel.1 [kN/m ²]	Vel.2 [kN/m ²]	Poř.x x [m]	Délka l [m]	Hloubka z [m]
	nové	změna						
1	ANO		proměnné	49.00		0.00	3.00	na terénu
Číslo	Název							
1	LM1							

Odpor na lici konstrukce

Odpor na lici konstrukce není uvažován.

Zadané síly působící na konstrukci

Číslo	Síla		Název	Působ.	F_x [kN/m]	F_z [kN/m]	M [kNm/m]	x [m]	z [m]
	nová	změna							
1	ANO		Římsa	stálé	0.00	8.50	0.00	-0.20	0.00

Nastavení výpočtu fáze


Návrhová situace : trvalá

Zed' se může přemístit, je počítána na zatížení aktivním tlakem.

Posouzení čís. 1

Spočtené síly působící na konstrukci

Název	F_{vod} [kN/m]	Působíště Z [m]	F_{svis} [kN/m]	Působíště X [m]	Koef. překl.	Koef. posun.	Koef. napětí
Tíh.- zed'	0.00	-0.75	35.75	0.71	1.000	1.000	1.350
Tíh.- zemní klín	0.00	-1.16	36.08	1.00	1.000	1.000	1.350
Aktivní tlak	19.67	-0.80	23.41	1.62	1.350	1.350	1.350
Tlak vody	0.00	-2.50	0.00	0.64	1.000	1.000	1.000
LM1	26.04	-1.05	30.34	1.37	1.500	1.500	1.500
Římsa	0.00	-2.50	8.50	0.30	1.000	1.000	1.350

 PUDIS akciová společnost	Stavba:	Rekonstrukce průtahu silnic III/37418, 37417 a mostu č.e. 37417-1 v obci Letovice – Podolí
	Objekt:	SO 201 Most č.e. 37417-1

Posouzení celé zdi

Posouzení na překlopení

Moment vzdorující $M_{vzd} = 127.02 \text{ kNm/m}$

Moment klopící $M_{kl} = 62.35 \text{ kNm/m}$

Zed' na překlopení VYHOVUJE

Posouzení na posunutí

Vodor. síla vzdorující $H_{vzd} = 70.39 \text{ kN/m}$

Vodor. síla posunující $H_{pos} = 65.61 \text{ kN/m}$

Zed' na posunutí VYHOVUJE

Celkové posouzení - ZED' VYHOVUJE

Maximální napětí v základové spáře : 124.77kPa

Únosnost základové půdy

Posouzení plošného základu

Vstupní data

Nastavení

Standardní - EN 1997 - DA2

Materiály a normy

Betonové konstrukce : EN 1992-1-1 (EC2)

Součinitele EC2 : standardní

Sedání

Metoda výpočtu : ČSN 73 1001 (Výpočet pomocí edometrického modulu)

Omezení deformační zóny : procentem Sigma,Or

Koef. omezení deformační zóny : 10.0 [%]

Patky

Výpočet pro odvozené podmínky : EC 7-1 (EN 1997-1:2003)

Metodika posouzení : výpočet podle EN1997

Návrhový přístup : 2 - redukce zatížení a odporu

Součinitele redukce zatížení (F)			
Trvalá návrhová situace			
		Nepříznivé	Příznivé
Stálé zatížení :	$\gamma_G =$	1.35 [-]	1.00 [-]

Součinitele redukce odporu (R)			
Trvalá návrhová situace			
Součinitel redukce svislé únosnosti :	$\gamma_{Rvs} =$	1.40 [-]	
Součinitel redukce vodorovné únosnosti :	$\gamma_{Rhs} =$	1.10 [-]	

Založení

Typ základu: základový pas

Hloubka od původního terénu $h_z = 2.50 \text{ m}$

Hloubka základové spáry $d = 0.75 \text{ m}$

Tloušťka základu $t = 0.40 \text{ m}$

Sklon upraveného terénu $s_1 = 0.00^\circ$

Sklon základové spáry $s_2 = 0.00^\circ$

Objemová tíha zeminy nad základem = 21.00 kN/m³

Štěrkopískový polštář


Zemina tvořící ŠP polštář - Třída G2, ulehlá

Přesah ŠP polštáře mimo základ $d_{sp} = 0.05 \text{ m}$

Hloubka štěrkopískového polštáře $h_{sp} = 0.40 \text{ m}$

Zatížení

Číslo	Zatížení		Název	Typ	N [kN/m]	M _y [kNm/m]	H _x [kN/m]
	nové	změna					
1	ANO		ZS 1	Užitné	153.80	18.60	-55.53
2	ANO		ZS 2	Návrhové	153.80	18.60	-55.53

 PUDIS akciová společnost	Stavba:	Rekonstrukce průtahu silnic III/37418, 37417 a mostu č.e. 37417-1 v obci Letovice – Podolí
	Objekt:	SO 201 Most č.e. 37417-1

Číslo	Zatížení nové změna	Název	Typ	N [kN/m]	M _y [kNm/m]	H _x [kN/m]
3	ANO	ZS 3	Užitné	125.68	12.98	-55.53
4	ANO	ZS 4	Návrhové	125.68	12.98	-55.53

Hladina podzemní vody

Hladina podzemní vody je v hloubce 4.30 m od původního terénu.

Celkové nastavení výpočtu

Typ výpočtu : výpočet pro odvodněné podmínky

Nastavení výpočtu fáze

Návrhová situace : trvalá

Posouzení čís. 1

Posouzení zatěžovacích stavů

Název	VI. tíha příznivě	e _x [m]	e _y [m]	σ [kPa]	R _d [kPa]	Využití [%]	Vyhovuje
ZS 2	Ano	-0.22	0.00	119.96	141.29	84.90	Ano
ZS 2	Ne	-0.20	0.00	125.48	146.90	85.42	Ano
ZS 4	Ano	-0.22	0.00	102.40	127.92	80.05	Ano
ZS 4	Ne	-0.21	0.00	107.91	134.97	79.95	Ano

Výpočet proveden s automatickým výběrem nejnepříznivějších zatěžovacích stavů.

Spočtená vlastní tíha pasu $G = 27.00$ kN/m

Spočtená tíha nadloží $Z = 18.85$ kN/m

Posouzení svislé únosnosti

Tvar kontaktního napětí : obdélník

Nejnepříznivější zatěžovací stav číslo 2. (ZS 2)

Parametry smykové plochy pod základem:

Hloubka smykové plochy $z_{sp} = 2.52$ m

Dosah smykové plochy $l_{sp} = 6.83$ m

Výpočtová únosnost zákl. půdy $R_d = 146.90$ kPa

Extrémní kontaktní napětí $\sigma = 125.48$ kPa

Svislá únosnost VYHOVUJE

Posouzení vodorovné únosnosti

Nejnepříznivější zatěžovací stav číslo 4. (ZS 4)

Zemní odpor: není uvažován

Úhel tření základ-základová spára $\psi = 38.50^\circ$

Soudržnost základ-základová spára $a = 0.00$ kPa

Horizontální únosnost základu $R_{dh} = 115.45$ kN

Extrémní horizontální síla $H = 55.53$ kN

Vodorovná únosnost VYHOVUJE

Únosnost základu VYHOVUJE

Posouzení čís. 1

Sednutí a natočení základu - vstupní data

Výpočet proveden s automatickým výběrem nejnepříznivějších zatěžovacích stavů.

Výpočet proveden s uvažováním koeficientu κ_1 (vliv hloubky založení).

Napětí v základové spáře neuvažováno.

Spočtená vlastní tíha pasu $G = 20.00$ kN/m

Spočtená tíha nadloží $Z = 13.96$ kN/m

Sednutí středu délkové hrany $= 5.4$ mm

Sednutí středu šířkové hrany 1 $= 9.1$ mm

Sednutí středu šířkové hrany 2 $= 7.1$ mm

(1-hrana max.tlačená; 2-hrana min.tlačená)

Sednutí a natočení základu - výsledky

Tuhost základu:

Spočtený vážený průměrný modul přetvárnosti $E_{def} = 46.41 \text{ MPa}$

Základ je ve směru délky tuhý ($k=5.69$)

Základ je ve směru šířky tuhý ($k=45.51$)

Celkové sednutí a natočení základu:

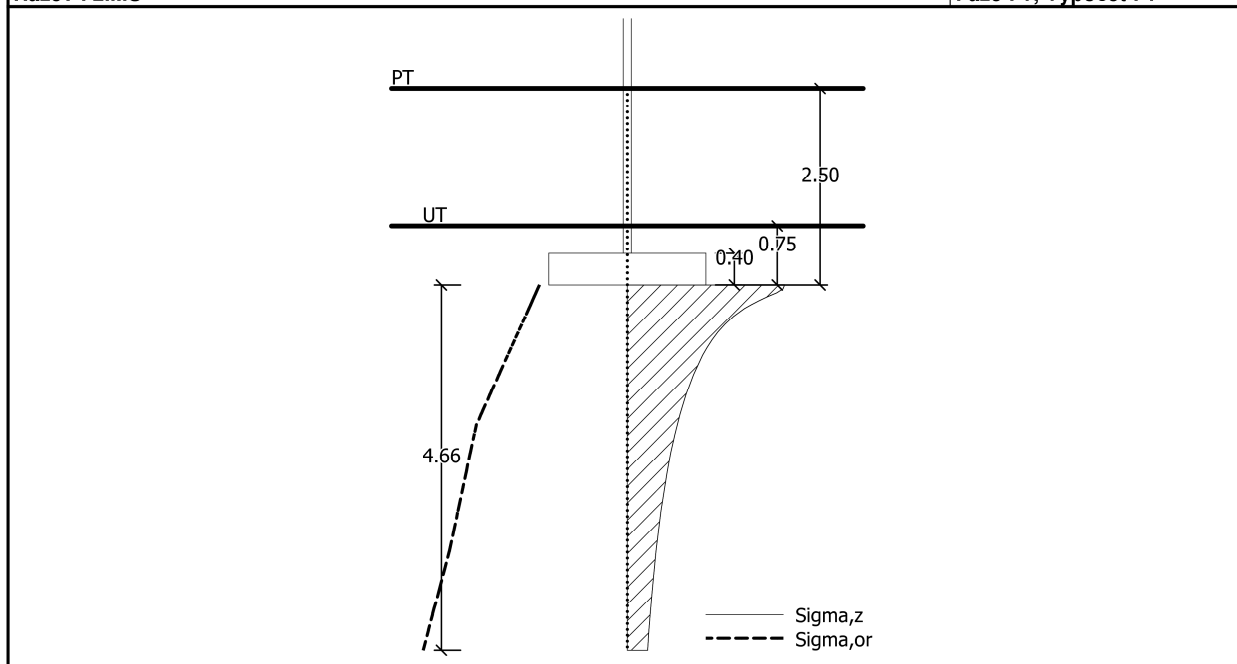
Sednutí základu = 7.1 mm

Hloubka deformační zóny = 4.66 m

Natočení ve směru šířky = 1.021 (tan*1000)

Název : 2.MS

Fáze : 1; Výpočet : 1



Dimenzace čís. 1

Spočtené síly působící na konstrukci

Název	F_{vod} [kN/m]	Působíště Z [m]	F_{svis} [kN/m]	Působíště X [m]	Koef. moment	Koef. norm.sila	Koef. pos.sila
Tíh.- zed'	0.00	-1.05	15.74	0.15	1.000	1.350	1.000
Tlak v klidu	27.44	-0.70	0.00	0.30	1.350	1.000	1.350
Tlak vody	0.00	-2.10	0.00	0.30	1.000	1.000	1.000
LM1	36.25	-1.22	0.00	0.30	1.500	0.000	1.500
Římsa	0.00	-2.10	8.50	0.10	1.350	1.350	1.000

Posouzení dříku zdi

Vyztužení a rozměry průřezu

Profil vložky = 16.0 mm

Počet vložek = 8

Krytí výztuže = 60.0 mm

Šířka průřezu = 1.00 m


Výška průřezu = 0.30 m

Stupeň vyztužení $\rho = 0.69 \% > 0.15 \% = \rho_{min}$

Poloha neutrálné osy $x = 0.04 \text{ m} < 0.14 \text{ m} = x_{max}$

Moment na mezi únosnosti $M_{Rd} = 150.02 \text{ kNm} > 93.07 \text{ kNm} = M_{Ed}$

Průřez VYHOVUJE.

 PUDIS akciová společnost	Stavba:	Rekonstrukce průtahu silnic III/37418, 37417 a mostu č.e. 37417-1 v obci Letovice – Podolí
	Objekt:	SO 201 Most č.e. 37417-1

IV. OPĚRNÁ KONSTRUKCE NA PILOTOVÉM ZÁKLADU

1. Charakteristika modelu

- Konstrukce byla modelována v GEO v15 - modul Pažení posudek
- Bylo uvažováno zatížení
 - zemním tlakem
 - modelem zatížení LM1
 - osamělou silou reprezentující vl. tíhu římsy.

2. Výpočet

Výpočet byl proveden:

- S charakteristickými hodnotami - zjištění vodorovných deformací
- S návrhovými hodnotami (návrhový přístup DA2) pro spočtení návrhových hodnot vnitřních sil

Model je podrobně popsán ve výstupovém dokumentu ze softwaru.

Posouzení pažící konstrukce

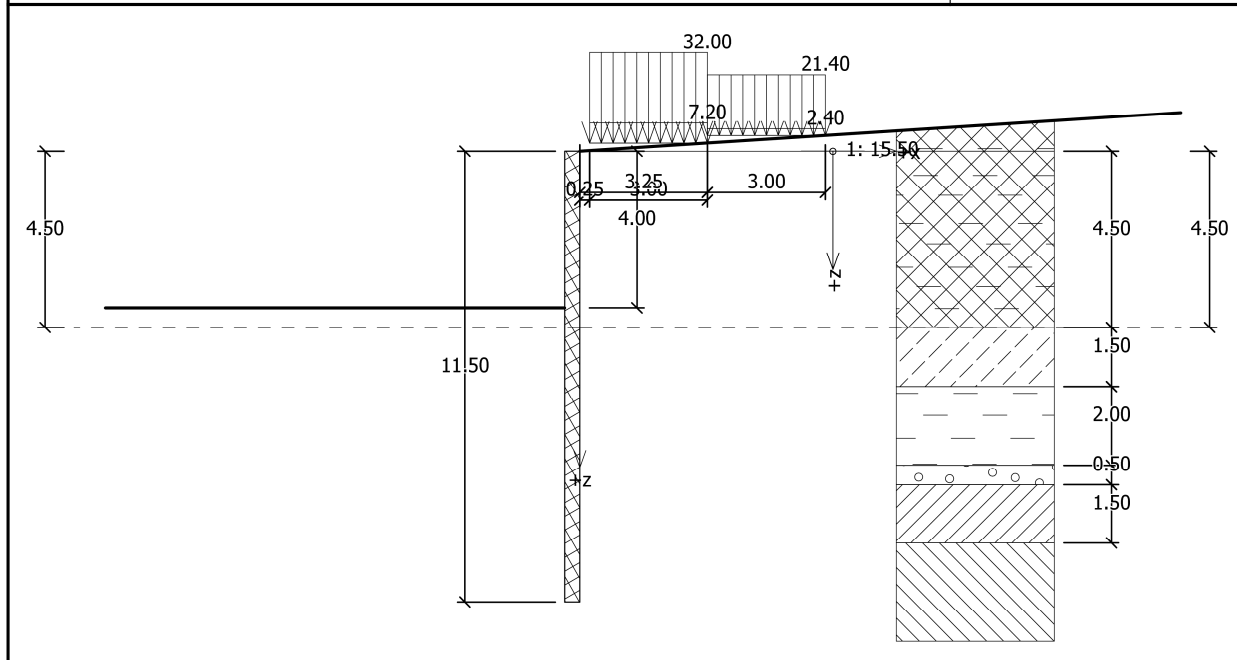
Vstupní data

Projekt

Datum : 8/9/2013

Název : Pilotová stěna

Fáze : 1



Nastavení

Standardní - bez redukce

Materiály a normy

Betonové konstrukce : EN 1992-1-1 (EC2)

Součinitele EC2 : standardní

Výpočet tlaků

Výpočet aktivního tlaku : Coulomb (ČSN 730037)

Výpočet pasivního tlaku : Caquot-Kerisel (ČSN 730037)

Výpočet zemětřesení : Mononobe-Okabe

Redukovat modul reakce podloží pro záporové pažení

Metodika posouzení : mezní stavy

Součinitele redukce parametrů zemin			
Trvalá návrhová situace			
Součinitel redukce úhlu vnitřního tření :	$\gamma_{m\phi}$	1.00	[-]
Součinitel redukce soudržnosti :	γ_{mc}	1.00	[-]
Součinitel redukce Poissonova čísla :	γ_{mv}	1.00	[-]
Součinitel redukce objemové tíhy za konstrukcí :	$\gamma_{m\gamma}$	1.00	[-]
Součinitel redukce objemové tíhy před konstrukcí :	$\gamma_{m\gamma}$	1.00	[-]
Součinitel redukce stability kotvy :	γ_{Ris}	1.00	[-]

Geometrie konstrukce

Délka konstrukce = 11.50 m

Typ konstrukce : Pilotová stěna

Norma : EN 1992-1-1 (EC2)

Materiál : C 30/37


Průměr piloty d = 0.70 m

Osová vzdálenost pilot a = 0.60 m

Koef.redukce tlaku před stěnou = 1.00

Plocha průřezu

A = 5.50E-01 m²/m

 PUDIS akciová společnost	Stavba:	Rekonstrukce průtahu silnic III/37418, 37417 a mostu č.e. 37417-1 v obci Letovice – Podolí
	Objekt:	SO 201 Most č.e. 37417-1

Moment setrvačnosti $I = 1.68E-02 \text{ m}^4/\text{m}$
Modul pružnosti $E = 33000.00 \text{ MPa}$
Modul pružnosti ve smyku $G = 13750.00 \text{ MPa}$
Modul reakce podloží vypočten z přetvárných charakteristik zemin.

Parametry zemin

AN

Objemová tíha : $\gamma = 20.00 \text{ kN/m}^3$
Napjatost : efektivní
Úhel vnitřního tření : $\varphi_{ef} = 24.00^\circ$
Soudržnost zeminy : $c_{ef} = 10.00 \text{ kPa}$
Třecí úhel kce-zemina : $\delta = 9.00^\circ$
Zemina : soudržná
Poissonovo číslo : $\nu = 0.40$
Modul přetvárnosti : $E_{def} = 5.00 \text{ MPa}$
Poissonovo číslo : $\nu = 0.40$
Koef. strukturní pevnosti : $m = 0.30$
Obj.tíha sat.zeminy : $\gamma_{sat} = 22.00 \text{ kN/m}^3$

FL1

Objemová tíha : $\gamma = 20.00 \text{ kN/m}^3$
Napjatost : totální
Úhel vnitřního tření : $\varphi_u = 0.00^\circ$
Soudržnost zeminy : $c_u = 60.00 \text{ kPa}$
Přilnavost kce-zemina : $a = 48.00 \text{ kPa}$
Zemina : soudržná
Poissonovo číslo : $\nu = 0.40$
Modul přetvárnosti : $E_{def} = 4.00 \text{ MPa}$
Poissonovo číslo : $\nu = 0.40$
Koef. strukturní pevnosti : $m = 0.10$

FL2

Objemová tíha : $\gamma = 21.00 \text{ kN/m}^3$
Napjatost : totální
Úhel vnitřního tření : $\varphi_u = 0.00^\circ$
Soudržnost zeminy : $c_u = 50.00 \text{ kPa}$
Přilnavost kce-zemina : $a = 40.00 \text{ kPa}$
Zemina : soudržná
Poissonovo číslo : $\nu = 0.40$
Modul přetvárnosti : $E_{def} = 4.50 \text{ MPa}$
Poissonovo číslo : $\nu = 0.40$
Koef. strukturní pevnosti : $m = 0.10$

W5

Objemová tíha : $\gamma = 20.50 \text{ kN/m}^3$
Napjatost : efektivní
Úhel vnitřního tření : $\varphi_{ef} = 30.00^\circ$
Soudržnost zeminy : $c_{ef} = 0.00 \text{ kPa}$
Třecí úhel kce-zemina : $\delta = 12.00^\circ$
Zemina : nesoudržná
Modul přetvárnosti : $E_{def} = 10.00 \text{ MPa}$
Poissonovo číslo : $\nu = 0.38$
Koef. strukturní pevnosti : $m = 0.30$
Obj.tíha sat.zeminy : $\gamma_{sat} = 22.50 \text{ kN/m}^3$




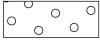


W4,W3

Objemová tíha : $\gamma = 21.50 \text{ kN/m}^3$
Napjatost : efektivní
Úhel vnitřního tření : $\varphi_{ef} = 33.00^\circ$
Soudržnost zeminy : $c_{ef} = 15.00 \text{ kPa}$
Třecí úhel kce-zemina : $\delta = 14.00^\circ$
Zemina : nesoudržná
Modul přetvárnosti : $E_{def} = 35.00 \text{ MPa}$
Poissonovo číslo : $\nu = 0.35$
Koef. strukturní pevnosti : $m = 0.30$
Obj.tíha sat.zeminy : $\gamma_{sat} = 22.50 \text{ kN/m}^3$

W2

Objemová tíha : $\gamma = 22.00 \text{ kN/m}^3$
 Napjatost : $\gamma_{\text{efektivní}}$
 Úhel vnitřního tření : $\varphi_{\text{ef}} = 36.00^\circ$
 Soudržnost zeminy : $c_{\text{ef}} = 70.00 \text{ kPa}$
 Třecí úhel kce-zemina : $\delta = 15.00^\circ$
 Zemina : nesoudržná
 Modul přetvárnosti : $E_{\text{def}} = 150.00 \text{ MPa}$
 Poissonovo číslo : $\nu = 0.30$
 Koef. strukturní pevnosti : $m = 0.30$
 Obj.tíha sat.zeminy : $\gamma_{\text{sat}} = 23.00 \text{ kN/m}^3$

Geologický profil a přiřazení zemín

Číslo	Vrstva [m]	Přiřazená zemina	Vzorek
1	4.50	AN	
2	1.50	FL1	
3	2.00	FL2	
4	0.50	W5	
5	1.50	W4, W3	
6	-	W2	

Hloubení

Zemina před stěnou je odebrána do hloubky 4.00 m.

Tvar terénu

Terén za konstrukcí je ve sklonu 1: 15.50 (úhel sklonu je 3.69°).

Vliv vody

Hladina podzemní vody za konstrukcí je v hloubce 4.50 m
 Hladina podzemní vody před konstrukcí je v hloubce 4.50 m
 Podloží u paty konstrukce je nepropustné.

Zadaná plošná přitížení

Číslo	Přítížení		Působ.	Vel.1 [kN/m ²]	Vel.2 [kN/m ²]	Poř.x x [m]	Délka l [m]	Hloubka z [m]
	nové	změna						
1	ANO		proměnné	32.00		0.25	3.00	na terénu
2	ANO		proměnné	21.40		3.25	3.00	na terénu
3	ANO		proměnné	7.20		0.25	3.00	na terénu
4	ANO		proměnné	2.40		3.25	3.00	na terénu

Číslo	Název
1	LM1 P1
2	LM1 P2
3	LM1 UDL
4	LM1 UDL2

Celkové nastavení výpočtu

Počet dělení stěny na konečné prvky = 20
 Vlastní výpočet mezních tlaků : redukovat podle nastavení


Nastavení výpočtu fáze

Návrhová situace : trvalá

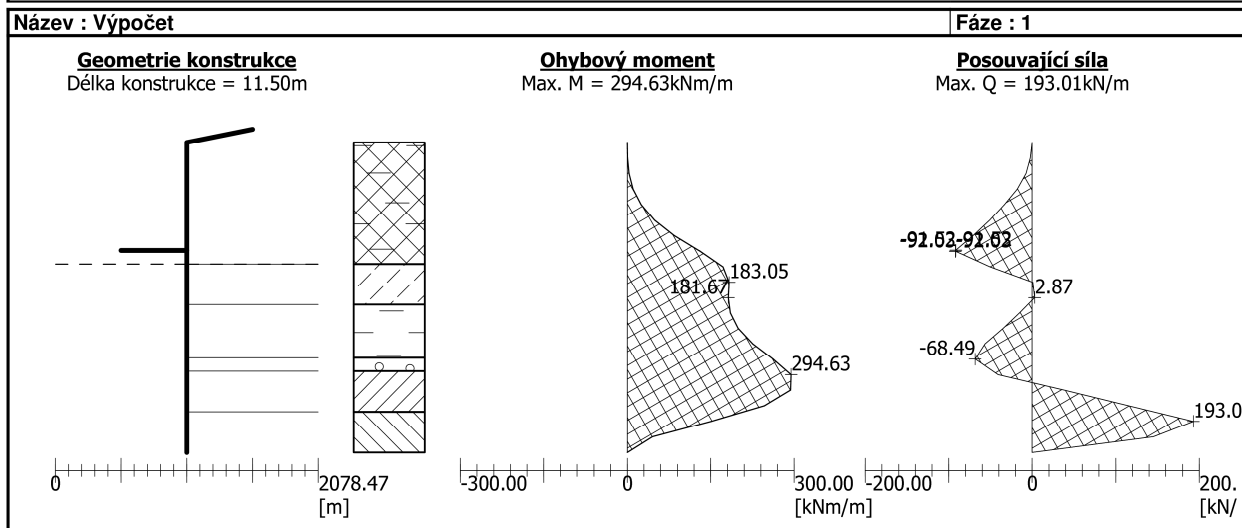
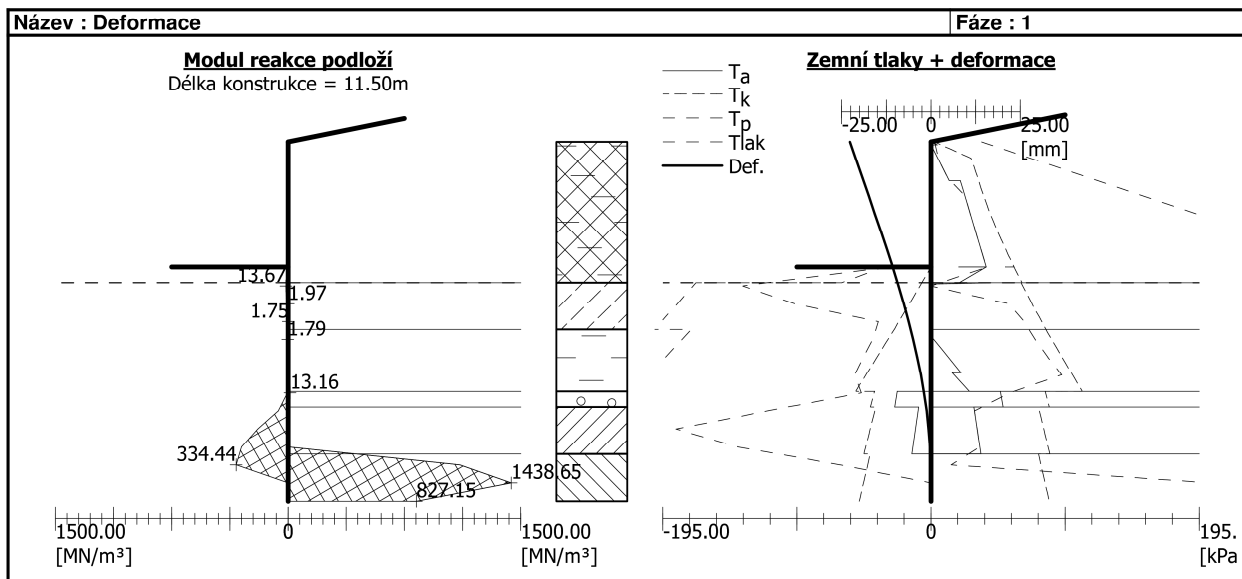
Výsledky výpočtu

Celkový provedený počet iterací modulu reakce podloží - 11.

Maximální posouvající síla = 193.01 kN/m

 PUDIS akciová společnost	Stavba:	Rekonstrukce průtahu silnic III/37418, 37417 a mostu č.e. 37417-1 v obci Letovice – Podolí
	Objekt:	SO 201 Most č.e. 37417-1


Maximální moment = 294.63 kNm/m
Maximální deformace = 22.7 mm



Obálka vnitřních sil č. 1

Maximální hodnoty

Maximální deformace = -22.7 mm
Minimální deformace = 0.2 mm
Maximální ohybový moment = 294.63 kNm/m
Minimální ohybový moment = 0.00 kNm/m
Maximální posouvající síla = 193.01 kN/m

 PUDIS akciová společnost	Stavba:	Rekonstrukce průtahu silnic III/37418, 37417 a mostu č.e. 37417-1 v obci Letovice – Podolí
	Objekt:	SO 201 Most č.e. 37417-1

Posouzení pažící konstrukce

Vstupní data

Nastavení

Standardní - EN 1997 - DA2

Materiály a normy

Betonové konstrukce : EN 1992-1-1 (EC2)

Součinitele EC2 : standardní

Výpočet tlaků

Výpočet aktivního tlaku : Coulomb (ČSN 730037)

Výpočet pasivního tlaku : Caquot-Kerisel (ČSN 730037)

Výpočet zemětřesení : Mononobe-Okabe

Redukovat modul reakce podloží pro záporové pažení

Metodika posouzení : výpočet podle EN1997

Návrhový přístup : 2 - redukce zatížení a odporu

Součinitele redukce zatížení (F)			
Trvalá návrhová situace			
		Nepříznivé	Příznivé
Stálé zatížení :	$\gamma_G =$	1.35 [-]	1.00 [-]
Proměnné zatížení :	$\gamma_Q =$	1.50 [-]	0.00 [-]
Zatížení vodou :	$\gamma_w =$	1.35 [-]	

Součinitele redukce odporu (R)			
Trvalá návrhová situace			
Součinitel redukce stability kotvy :	$\gamma_{Ris} =$	1.10 [-]	
Součinitel redukce zemního odporu :	$\gamma_{Re} =$	1.40 [-]	

Celkové nastavení výpočtu

Počet dělení stěny na konečné prvky = 20

Vlastní výpočet mezních tlaků : redukovat podle nastavení

Nastavení výpočtu fáze

Návrhová situace : trvalá

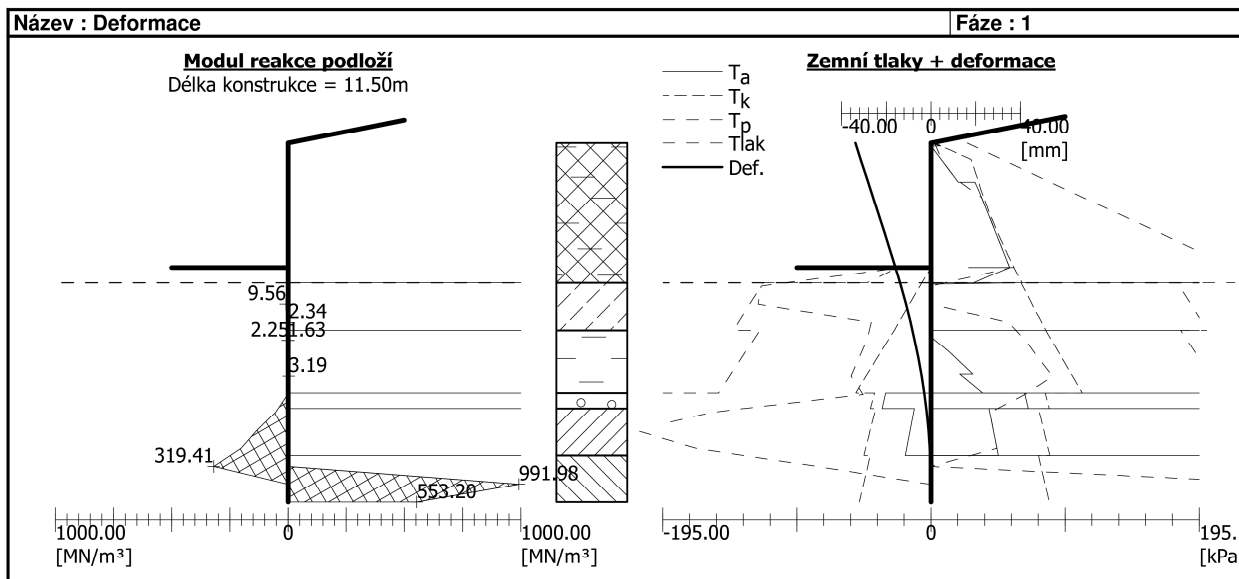
Výsledky výpočtu

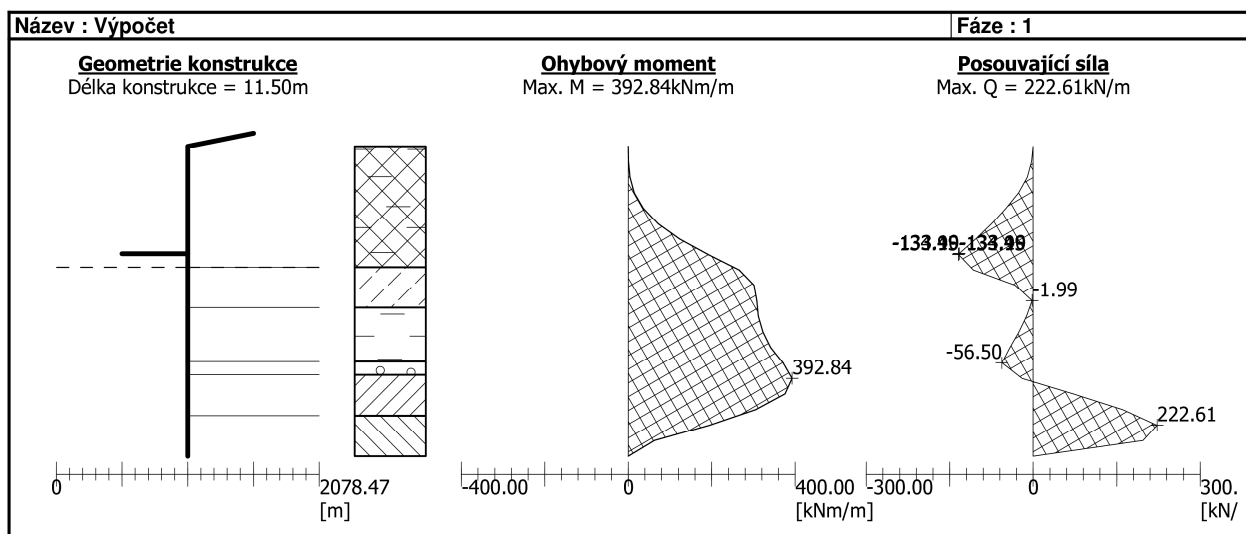
Celkový provedený počet iterací modulu reakce podloží - 11.

Maximální posouvající síla = 222.61 kN/m

Maximální moment = 392.84 kNm/m

Maximální deformace = 33.8 mm





Výpočet stability svahu

Vstupní data

Projekt

Nastavení

Standardní - EN 1997 - DA2

Stabilitní výpočty

Metodika posouzení : výpočet podle EN1997

Návrhový přístup : 2 - redukce zatížení a odporu

Součinitele redukce zatížení (F)				
Trvalá návrhová situace				
		Nepříznivé		Příznivé
Stálé zatížení :	$\gamma_G =$	1.35	[-]	1.00 [-]
Proměnné zatížení :	$\gamma_Q =$	1.50	[-]	0.00 [-]
Zatížení vodou :	$\gamma_w =$	1.35	[-]	

Součinitele redukce odporu (R)				
Trvalá návrhová situace				
Součinitel redukce odporu na smyk. ploše :		$\gamma_{Rs} =$	1.10	[-]

Nastavení výpočtu fáze

Návrhová situace : trvalá

Výsledky (Fáze budování 1)

Výpočet 1

Kruhá smyková plocha

Parametry smykové plochy						
Střed :	x =	-1.75 [m]	Úhly :	$\alpha_1 =$	-58.81	[°]
	z =	4.18 [m]		$\alpha_2 =$	77.95	[°]
Poloměr :	R =	15.80 [m]				
Smyková plocha po optimalizaci.						

Posouzení stability svahu (Bishop)

Sumace aktivních sil : $F_a = 881.31$ kN/m

Sumace pasivních sil : $F_p = 3421.37$ kN/m

Moment sesouvající : $M_a = 13915.42$ kNm/m

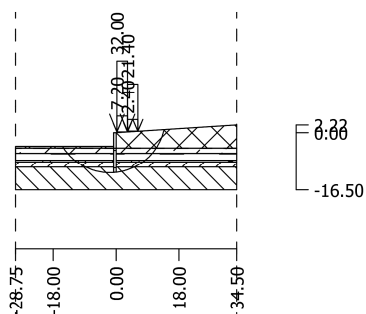
Moment vzdorující : $M_p = 49110.74$ kNm/m

Využití : 28.3 %

Stabilita svahu VYHOVUJE

Název : Výpočet

Fáze - výpočet : 1 - 1



Obálka vnitřních sil č. 1

Maximální hodnoty

Maximální deformace	=	-33.8 mm
Minimální deformace	=	0.4 mm
Maximální ohybový moment	=	392.84 kNm/m
Minimální ohybový moment	=	0.00 kNm/m
Maximální posouvající síla	=	222.61 kN/m

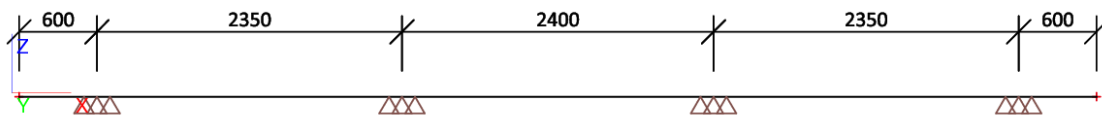
V. PILOTOVÝ PRÁH

1. Charakteristika modelu

Pilotový práh byl modelován v programu SCIA Engineer jako prutový prvek - spojitý nosník o 3 polích s převislými konci. Zatížen byl charakteristickou hodnotou svislé reakce spočtené při výpočtu rámu (přepočtené na 1 m).

2. Zatížení, vnitřní síly

Výpočtový model

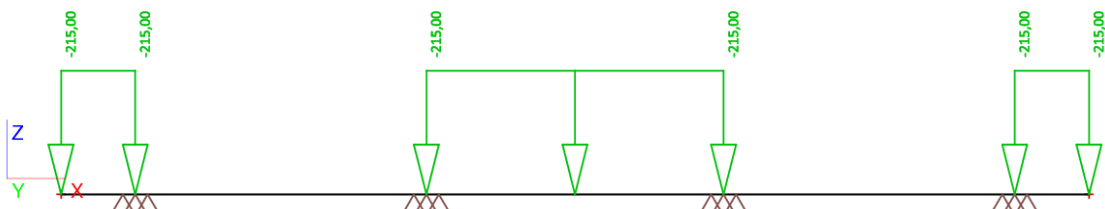


Zatěžovací stavy

Jméno	Popis
g0	vlastní tíha



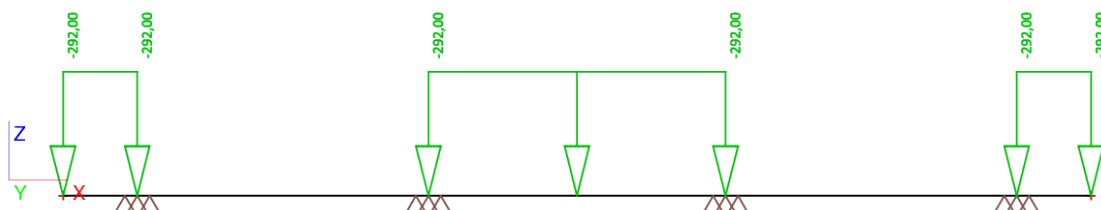
Jméno	Popis
R char1	Reakce od rámu - char.



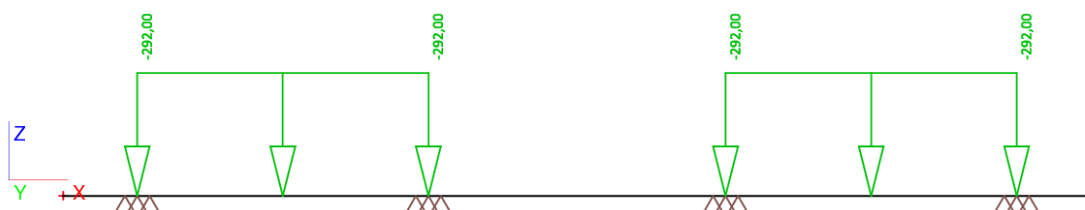
Jméno	Popis
R char2	Reakce od rámu - char.



Jméno	Popis
R návr1	Reakce od rámu - návrh.



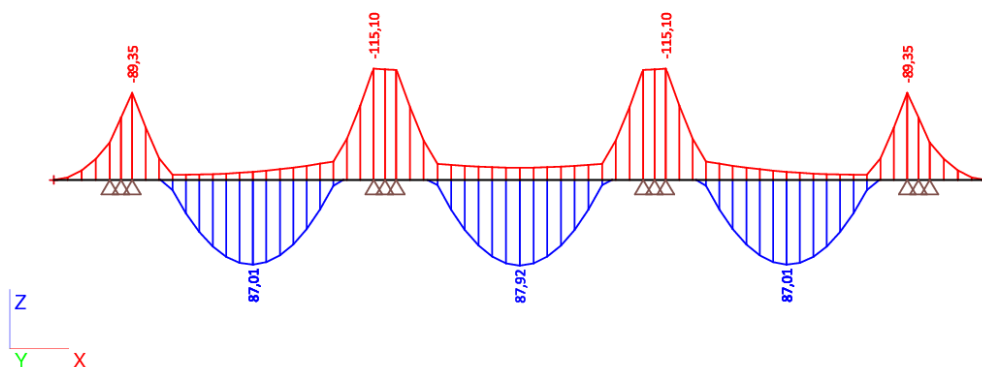
Jméno	Popis
R návr2	Reakce od rámu - návrh.



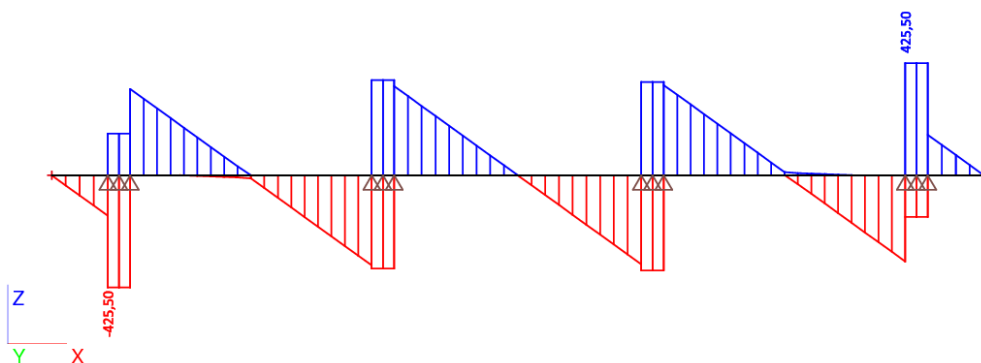
Kombinace

Jméno	Typ	Zatěžovací stavy	Souč. [-]
MSP	Obálka - použitelnost	g0 - vlastní tíha	1,00
		R char1 - Reakce od rámu - char.	1,00
		R char2 - Reakce od rámu - char.	1,00
MSÚ	Obálka - únosnost	g0 - vlastní tíha	1,35
		R návr1 - Reakce od rámu - návrh.	1,00
		R návr2 - Reakce od rámu - návrh.	1,00

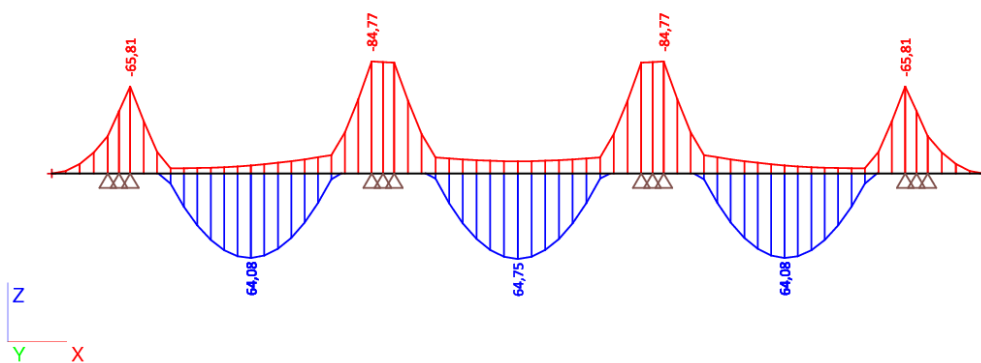
MSÚ - My



MSÚ - Vz



MSP - My




Vnitřní síly na prutu

Lineární výpočet, Extrém : Globální, Systém : LSS

Výběr : Vše

Třída : Všechny MSU

Prvek	Stav	dx [m]	N [kN]	Vz [kN]	My [kNm]
B1	MSÚ/1	0,000	0,00	0,00	0,00
B1	MSÚ/2	0,500	0,00	-425,50	-1,86
B1	MSÚ/2	7,600	0,00	425,50	-86,96
B1	MSÚ/3	2,850	0,00	-341,89	-115,10
B1	MSÚ/4	4,150	0,00	0,00	87,92

 PUDIS akciová společnost	Stavba:	Rekonstrukce průtahu silnic III/37418, 37417 a mostu č.e. 37417-1 v obci Letovice – Podolí
	Objekt:	SO 201 Most č.e. 37417-1

VI. PILOTOVÝ ZÁKLAD MOSTU

Pilota byla namodelována a posouzena v programu GEO v15 - modul Piloty. Model je podrobně popsán ve výstupovém dokumentu ze softwaru. Pilota byla zatížena normálovou silou a ohybovým momentem spočteným v I.

1. Výpočet a posouzení

Osová vzdálenost pilot: 2,35 m

Zatížení piloty v MSÚ

Svislá reakce ve vetknutí (na 3,0 m šířky): 892 kN

Vodorovná reakce ve vetknutí (na 3,0 m šířky) : 499 kN

Momentová reakce ve vetknutí (na 3,0 m šířky): 558 kNm


Svislá reakce ve vetknutí (na 1 pilotu): $892 \times 2,35/3,0 = \mathbf{698 \text{ kN}}$

Vodorovná reakce ve vetknutí (na 1 pilotu): $449 \times 2,35/3,0 = \mathbf{352 \text{ kN}}$

Momentová reakce ve vetknutí (na 1 pilotu): $558 \times 2,35/3,0 = \mathbf{437 \text{ kNm}}$

Zatížení piloty v MSP

Hodnoty vnitřních sil v char. a kvaz. kombinaci jsou vypočteny analogicky.

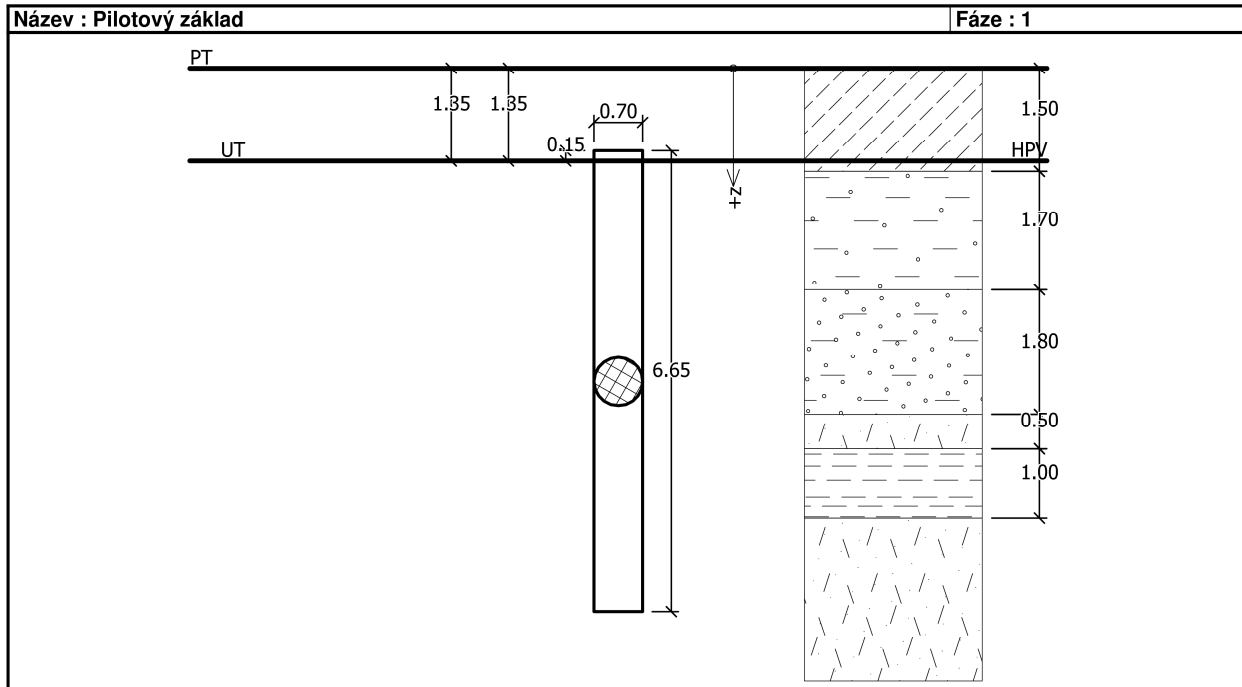
 PUDIS akciová společnost	Stavba:	Rekonstrukce průtahu silnic III/37418, 37417 a mostu č.e. 37417-1 v obci Letovice – Podolí
	Objekt:	SO 201 Most č.e. 37417-1

Posouzení piloty

Vstupní data

Projekt

Datum : 8/9/2013



Nastavení

Standardní - EN 1997 - DA2

Materiály a normy

Betonové konstrukce : EN 1992-1-1 (EC2)

Součinitele EC2 : standardní

Piloty

Výpočet pro neodvodněné podmínky : Tomlinson

Zatěžovací křivka : lineární (Poulos)

Metodika posouzení : výpočet podle EN1997

Návrhový přístup : 2 - redukce zatížení a odporu

Součinitele redukce zatížení (F)			
Trvalá návrhová situace			
		Nepříznivé	Příznivé
Stálé zatížení :	$\gamma_G =$	1.35 [-]	1.00 [-]

Součinitele redukce odporu (R)			
Trvalá návrhová situace			
Součinitel redukce odporu na plášti :	$\gamma_s =$	1.10 [-]	
Součinitel redukce odporu na patě :	$\gamma_b =$	1.10 [-]	
Součinitel redukce únosnosti tažené piloty :	$\gamma_{st} =$	1.15 [-]	

Parametry zemín

AN

Objemová tíha :	γ	=	20.00 kN/m ³
Poissonovo číslo :	ν	=	0.40
Modul přetvárnosti :	E_{def}	=	5.00 MPa
Obj.tíha sat.zeminy :	γ_{sat}	=	21.00 kN/m ³
Koeficient :	k	=	50.00 MN/m ³
Úhel roznášení :	β	=	12.00 °
Soudržnost zeminy :	c_u	=	60.00 kPa

FL1

Objemová tíha : $\gamma = 18.50 \text{ kN/m}^3$
 Poissonovo číslo : $\nu = 0.40$
 Modul přetvárnosti : $E_{\text{def}} = 4.00 \text{ MPa}$
 Obj.tíha sat.zeminy : $\gamma_{\text{sat}} = 20.00 \text{ kN/m}^3$
 Koeficient : $k = 50.00 \text{ MN/m}^3$
 Úhel roznášení : $\beta = 10.00^\circ$
 Soudržnost zeminy : $c_u = 30.00 \text{ kPa}$

FL2

Objemová tíha : $\gamma = 21.50 \text{ kN/m}^3$
 Poissonovo číslo : $\nu = 0.37$
 Modul přetvárnosti : $E_{\text{def}} = 15.00 \text{ MPa}$
 Obj.tíha sat.zeminy : $\gamma_{\text{sat}} = 22.50 \text{ kN/m}^3$
 Koeficient : $k = 100.00 \text{ MN/m}^3$
 Úhel roznášení : $\beta = 15.00^\circ$
 Soudržnost zeminy : $c_u = 40.00 \text{ kPa}$

W5

Objemová tíha : $\gamma = 20.50 \text{ kN/m}^3$
 Poissonovo číslo : $\nu = 0.35$
 Modul přetvárnosti : $E_{\text{def}} = 10.00 \text{ MPa}$
 Obj.tíha sat.zeminy : $\gamma_{\text{sat}} = 21.50 \text{ kN/m}^3$
 Koeficient : $k = 100.00 \text{ MN/m}^3$
 Úhel roznášení : $\beta = 15.00^\circ$
 Soudržnost zeminy : $c_u = 50.00 \text{ kPa}$

W4,W3

Objemová tíha : $\gamma = 21.50 \text{ kN/m}^3$
 Poissonovo číslo : $\nu = 0.35$
 Modul přetvárnosti : $E_{\text{def}} = 35.00 \text{ MPa}$
 Obj.tíha sat.zeminy : $\gamma_{\text{sat}} = 22.50 \text{ kN/m}^3$
 Koeficient : $k = 150.00 \text{ MN/m}^3$
 Úhel roznášení : $\beta = 15.00^\circ$
 Soudržnost zeminy : $c_u = 70.00 \text{ kPa}$

W2

Objemová tíha : $\gamma = 22.00 \text{ kN/m}^3$
 Poissonovo číslo : $\nu = 0.30$
 Modul přetvárnosti : $E_{\text{def}} = 150.00 \text{ MPa}$
 Obj.tíha sat.zeminy : $\gamma_{\text{sat}} = 23.00 \text{ kN/m}^3$
 Koeficient : $k = 200.00 \text{ MN/m}^3$
 Úhel roznášení : $\beta = 12.00^\circ$
 Soudržnost zeminy : $c_u = 100.00 \text{ kPa}$

Geometrie

Profil piloty: kruhová

Rozměry

Průměr $d = 0.70 \text{ m}$

Délka $l = 6.65 \text{ m}$

Umístění

Vysazení $h = 0.15 \text{ m}$

Hloubka upraveného terénu $h_z = 1.35 \text{ m}$

Typ technologie: Vrtané piloty

Modul reakce podloží uvažován jako lineární.

Materiál konstrukce

Objemová tíha $\gamma = 25.00 \text{ kN/m}^3$

Výpočet betonových konstrukcí proveden podle normy EN 1992-1-1 (EC2).

Beton : C 30/37

Válcová pevnost v tlaku $f_{\text{ck}} = 30.00 \text{ MPa}$


Pevnost v tahu $f_{\text{ctm}} = 2.90 \text{ MPa}$

Modul pružnosti $E_{\text{cm}} = 33000.00 \text{ MPa}$


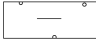

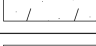
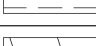
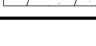
Modul pružnosti ve smyku $G = 13750.00 \text{ MPa}$

Ocel podélná : B500

Mez kluzu $f_{\text{yk}} = 500.00 \text{ MPa}$

 PUDIS akciová společnost	Stavba:	Rekonstrukce průtahu silnic III/37418, 37417 a mostu č.e. 37417-1 v obci Letovice – Podolí
	Objekt:	SO 201 Most č.e. 37417-1

Geologický profil a přiřazení zemín

Číslo	Vrstva [m]	Přiřazená zemina	Vzorek
1	1.50	AN	
2	1.70	FL1	
3	1.80	FL2	
4	0.50	W5	
5	1.00	W4, W3	
6	-	W2	

Zatížení

Číslo	Zatížení nové / změna	Název	Typ	N [kN]	M _x [kNm]	M _y [kNm]	H _x [kN]	H _y [kN]
1	ANO	Zatížení č. 1	Návrhové	686.00	0.00	350.00	323.00	0.00

Hladina podzemní vody

Hladina podzemní vody je v hloubce 1.35 m od původního terénu.

Celkové nastavení výpočtu

Výpočet svislé únosnosti : analytické řešení

Typ výpočtu : výpočet pro neodvodněné podmínky

Nastavení výpočtu fáze

Návrhová situace : trvalá

Metodika posouzení : bez redukce vstupních dat

Posouzení čís. 1

Posouzení svislé únosnosti : Tomlinson

Výpočet proveden s automatickým výběrem nejnepríznivějších zatěžovacích stavů.

Posouzení tlačené piloty:

Nejnepríznivější zatěžovací stav číslo 1. (Zatížení č. 1)

Únosnost piloty na plášti $R_s = 591.32$ kN

Únosnost piloty v patě $R_b = 314.87$ kN

Únosnost piloty $R_c = 906.20$ kN

Extrémní svislá síla $V_d = 686.00$ kN

$$R_c = 906.20 \text{ kN} > 686.00 \text{ kN} = V_d$$

Svislá únosnost piloty VYHOVUJE

Posouzení čís. 1

Výpočet zatěžovací křivky piloty - vstupní data

Vrstva číslo	E_s [MPa]
1	15.00
2	4.00
3	15.00
4	10.00
5	35.00
6	150.00

Druh piloty : opřená o tuhé podloží

Limitní sedání piloty $s_{lim} = 5.0$ mm

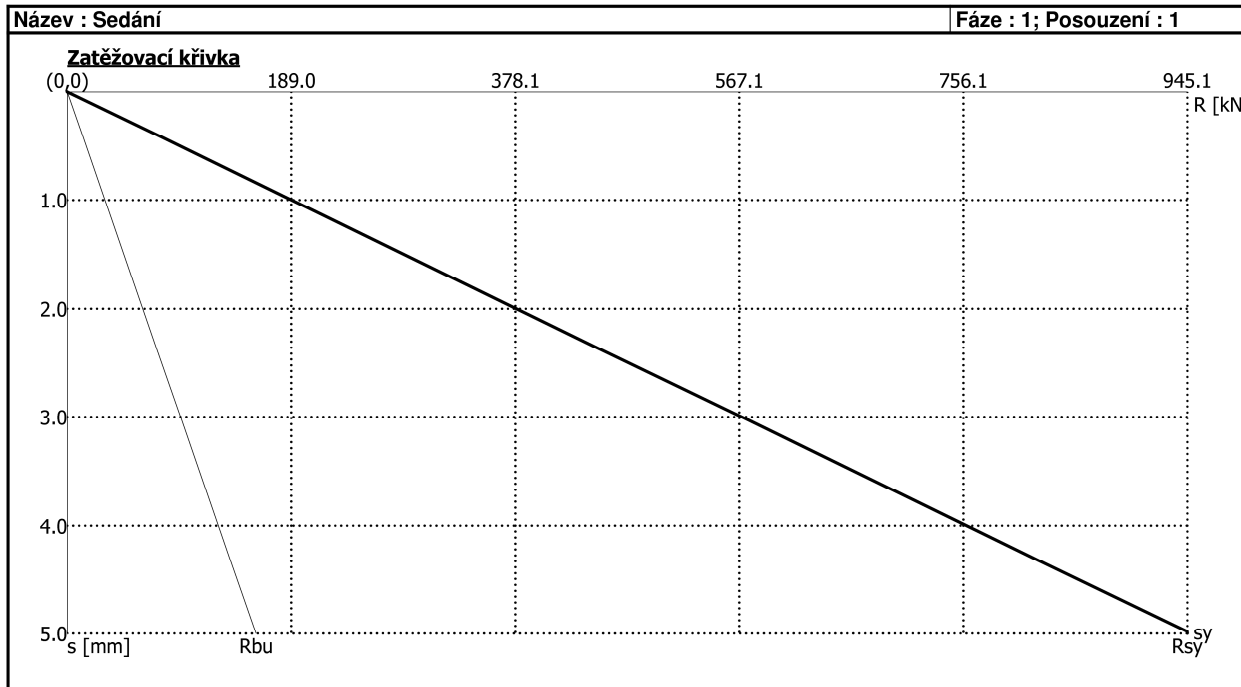
Výpočet zatěžovací křivky piloty - výsledky

Zatížení na mezi mobilizace pláště tření $R_{yu} = 944.97 \text{ kN}$

Velikost sedání odpovídající síle R_{yu} $s_y = 5.0 \text{ mm}$

Celková únosnost $R_c = 945.14 \text{ kN}$

Maximální sednutí $s_{lim} = 5.0 \text{ mm}$



Posouzení čís. 1

Vstupní data pro výpočet vodorovné únosnosti piloty

Výpočet proveden s automatickým výběrem nejnepríznivějších zatěžovacích stavů.

Vodorovná únosnost posouzena ve směru maximálního účinku zatížení.

Maximální vnitřní síly a deformace:

Deformace hlavy piloty = -32.2 mm

Max.deformace piloty = 32.2 mm

Max.posouvající síla = 323.00 kN

Maximální moment = 384.02 kNm

Dimenzace výztuže:

Vyztužení - 16 ks profil 20.0 mm; krytí 100.0 mm

Typ konstrukce (stupně vyztužení) : pilota

Stupeň vyztužení $\rho = 1.306 \% > 0.500 \% = \rho_{min}$

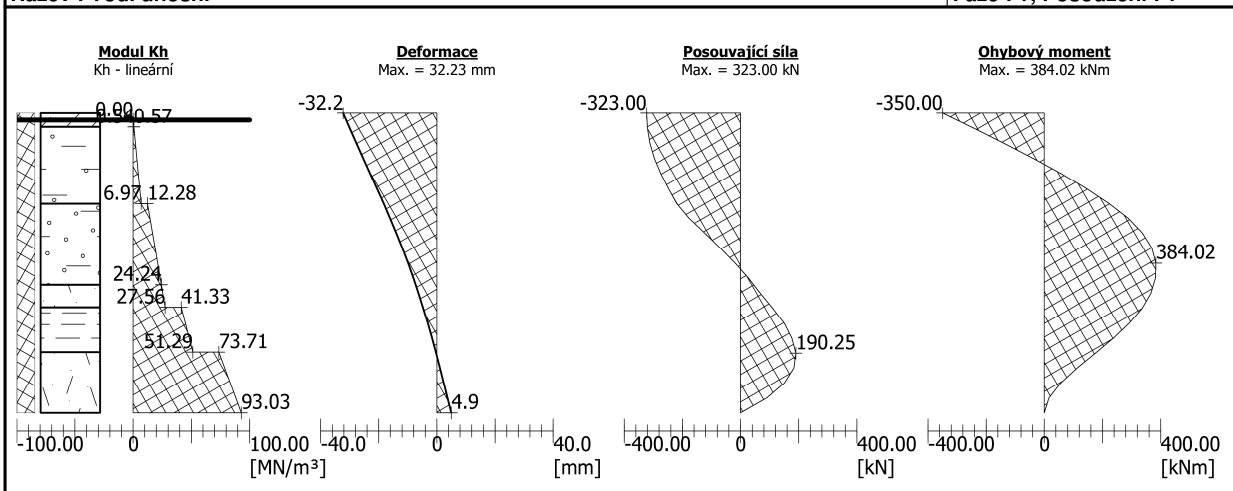
Zatížení : $N_{Ed} = -686.00 \text{ kN}$ (tlak) ; $M_{Ed} = 384.02 \text{ kNm}$

Únosnost : $N_{Rd} = -1203.70 \text{ kN}$; $M_{Rd} = 673.82 \text{ kNm}$

Navržená výztuž piloty VYHOVUJE

Název : Vod. únosn.

Fáze : 1; Posouzení : 1



VII. POSOUZENÍ VYBRANÝCH PRŮŘEZŮ

Hodnoty vnitřních sil, které jsou výstupem z modelu rámu, jsou pro konstrukci se zatěžovací šířkou 3 metry. Do ověřovacích posudků byly tyto hodnoty přepočítány na 1 metr šířky nebo na jednu pilotu (osová vzd. 2,35 m)

Hodnoty vnitřních sil opěrné konstrukce na pilotách jsou přepočteny na 1 pilotu. V kapitole IV jsou hodnoty vnitřních sil v kN/m nebo kNm/m. Osová vzdálenost pilot je uvažována 0,7 m.

Obsah

Název kapitoly
Stručné shrnutí výsledků posouzení řezů
Posouzení řezů
Řez Pilotový práh
Řez Pilota - most
Řez Mostovka - rámový roh
Řez Opěra - vetknutí
Řez Opěra - střed
Řez Opěra - rám. roh
Řez Mostovka - střed
Řez Pilota - opěrná konstrukce

1. Stručné shrnutí výsledků posouzení řezů

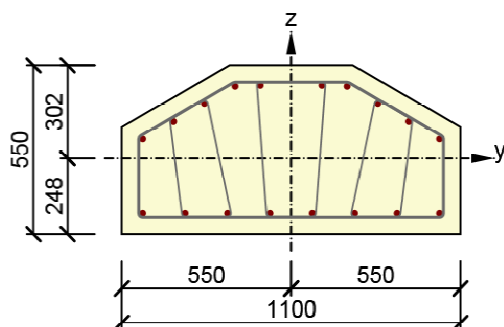
Dimenzační dílec	Typ dílce	Počet řezů	Název extrémního řezu	Využití	Status posudku
Piloty	Tlačený prvek	2	Pilota - most	87.28	✓
Rám - opěra	Tlačený prvek	3	Opěra - vetknutí	90.69	✓
Rám - mostovka	Tlačený prvek	2	Mostovka - rámový roh	93.97	✓
Pilotový práh	Nosník	1	Pilotový práh	100.00	✓
Název řezu	Dimenzační dílec	Typ dílce	Vyztužený průřez	Využití	Status posudku
Pilotový práh	Pilotový práh	Nosník	R 9	100.00	✓
Pilota - most	Piloty	Tlačený prvek	R 2	87.28	✓
Mostovka - rámový roh	Rám - mostovka	Tlačený prvek	R 4	93.97	✓
Opěra - vetknutí	Rám - opěra	Tlačený prvek	R 6	90.69	✓
Opěra - střed	Rám - opěra	Tlačený prvek	R 5	74.50	✓
Opěra - rám. roh	Rám - opěra	Tlačený prvek	R 11	74.90	✓
Mostovka - střed	Rám - mostovka	Tlačený prvek	R 3	85.10	✓
Pilota - opěrná konstrukce	Piloty	Tlačený prvek	R 7	84.55	✓

2. Posouzení řezů

2.1 Řez Pilotový práh

2.1.1. Kritický extrém S 8 - E 1

Dimenzační dílec	Pilotový práh
Vyztužený průřez	R 9



Beton : C30/37
Stáří : 28.0 d
Výztuž : (B 500B)
2ø16, úroveň 237 mm
2ø16, úroveň 234 mm
2ø16, úroveň 177 mm
2ø16, úroveň 120 mm
2ø16, úroveň 63 mm
8ø16, úroveň -180 mm
Třmínky :
ø10 - 250 mm
ø6 - 250 mm
ø6 - 250 mm
ø6 - 250 mm

Krytí :
Všechny povrchy : 3
Ostatní povrchy : 60
Ostatní povrchy : 60
Ostatní povrchy : 60
Ostatní povrchy : 60
Ostatní povrchy : 60
Ostatní povrchy : 60

2.1.1.1. Souhrn

Rozhodující typ posudku	N [kN]	EdM [kNm]	Ed,yM [kNm]	Ed,zV [kN]	EdT [kNm]	EdHodnota [%]	Posudek
Interakce	-1.00	-115.00	0.00	500.00	0.00	100.00	OK
Typ posudku	N [kN]	EdM [kNm]	Ed,yM [kNm]	Ed,zV [kN]	EdT [kNm]	EdHodnota [%]	Posudek
Únosnost N-M-M	-1.00	-115.00	0.00			33.53	OK
Smyk	-1.00			500.00	0.00	98.21	OK
Interakce	-1.00	-115.00	0.00	500.00	0.00	100.00	OK
Omezení napětí	-1.00	-85.00	0.00			9.49	OK
Šířka trhliny	-1.00	-35.00	0.00			0.00	OK
Konstrukční zásady	-1.00	-115.00	0.00			77.71	OK

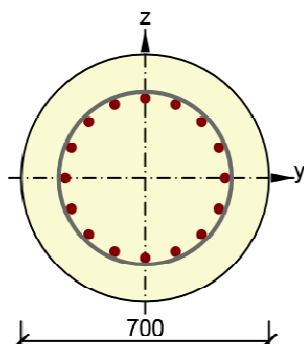
Mezní hodnota využití průřezu

100.00 %

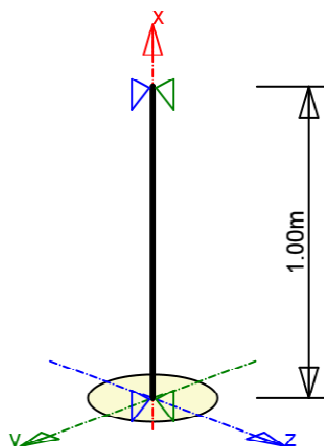
2.2. Řez Pilota - most

2.2.1. Kritický extrém S 2 - E 1

Dimenzační dílec	Piloty
Vyztužený průřez	R 2



Beton : C35/45
Stáří : 28.0 d
Výztuž : (B 500B)
1ø25, Pozice 0, 226 mm
2ø25, úroveň 208 mm
2ø25, úroveň 159 mm
2ø25, úroveň 86 mm
2ø25, úroveň 0 mm
2ø25, úroveň -86 mm
2ø25, úroveň -159 mm
2ø25, úroveň -208 mm
1ø25, Pozice 0, -226 mm
Třmínky :
ø12 - 200 mm
Krytí :
Rovnoměrné krytí : 100 mm



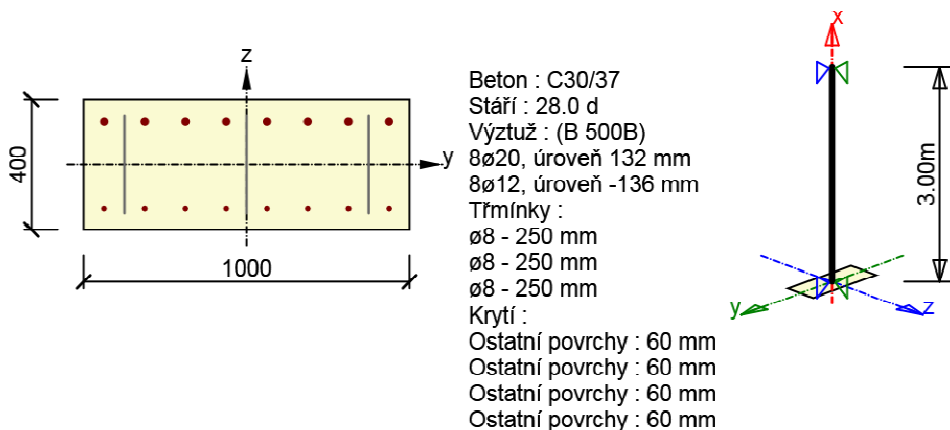
2.2.1.1. Souhrn

Rozhodující typ posudku	N [kN]	EdM [kNm]	Ed,yM [kNm]	Ed,zV [kN]	EdT [kNm]	EdHodnota [%]	Posudek
Omezení napětí	-517.00	307.00	0.00			87.28	OK
Typ posudku	N [kN]	EdM [kNm]	Ed,yM [kNm]	Ed,zV [kN]	EdT [kNm]	EdHodnota [%]	Posudek
Únosnost N-M-M	-698.00	438.75	16.29			52.25	OK
Smyk	-698.00			352.00	0.00	80.38	OK
Interakce	-698.00	438.75	16.29	352.00	0.00	84.60	OK
Omezení napětí	-517.00	307.00	0.00			87.28	OK
Šířka trhliny	-275.00	214.00	0.00			0.00	OK
Konstrukční zásady	-698.00	437.00	0.00			66.67	OK
Osa				l [m]	0λ [-]	λ [-]	lim
Štíhlost y [⊥]				1.00	5.72	51.19	
Štíhlost z [⊥]				1.00	5.72	42.02	
Mezní hodnota využití průřezu				100.00 %			

2.3. Řez Mostovka - rámový roh

2.3.1. Kritický extrém S 4 - E 1

Dimenzační dílec	Rám - mostovka
Vyztužený průřez	R 4



2.3.1.1. Souhrn

Rozhodující typ posudku	N [kN]	EdM [kNm]	Ed,yM [kNm]	Ed,zV [kN]	EdT [kNm]	EdHodnota [%]	Posudek
Interakce	-100.00	-205.33	0.00	200.00	0.00	93.97	OK
Typ posudku	N [kN]	EdM [kNm]	Ed,yM [kNm]	Ed,zV [kN]	EdT [kNm]	EdHodnota [%]	Posudek
Smyk	-100.00			200.00	0.00	93.97	OK
Interakce	-100.00	-205.33	0.00	200.00	0.00	93.97	OK
Omezení napětí	-70.00	-147.00	0.00			61.46	OK
Šířka trhliny	-30.00	-57.00	0.00			0.00	OK
Osa				l [m]	0λ [-]	λ [-]	lim
Štíhlost y \perp				3.00	25.98	119.76	
Štíhlost z \perp				3.00	10.39	88.80	

Mezní hodnota využití průřezu

100.00 %

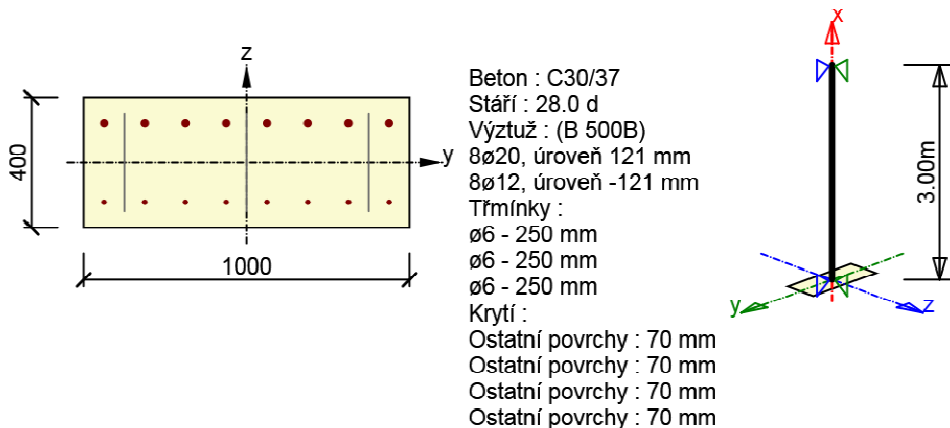
2.4. Řez Opěra - vetknutí

2.4.1. Stručné shrnutí výsledků extrémů v řezu

Název extrému	Stáří	Využití	Status posudku
S 7 - E 1	28.0	78.72	✓
S 7 - E 2	28.0	90.69	✓

2.4.2. Kritický extrém S 7 - E 2

Dimenzační dílec	Rám - opěra
Vyztužený průřez	R 6



2.4.2.1. Souhrn

Rozhodující typ posudku	N [kN]	EdM [kNm]	Ed,yM [kNm]	Ed,zV [kN]	EdT [kNm]	EdHodnota [%]	Posudek
Smyk	-297.00			166.00	0.00	90.69	OK
Typ posudku	N [kN]	EdM [kNm]	Ed,yM [kNm]	Ed,zV [kN]	EdT [kNm]	EdHodnota [%]	Posudek
Únosnost N-M-M	-297.00	99.90	0.00			44.04	OK
Smyk	-297.00			166.00	0.00	90.69	OK
Interakce	-297.00	99.90	0.00	166.00	0.00	90.69	OK
Omezení napětí	-220.00	62.00	0.00			14.84	OK
Šířka trhliny	-92.00	0.00	0.00			0.00	OK
Osa	l [m]		0λ [-]		λ [-]		lim
Štíhlost y [⊥]	3.00		25.98		80.00		
Štíhlost z [⊥]	3.00		10.39		51.53		

Mezní hodnota využití průřezu

100.00 %

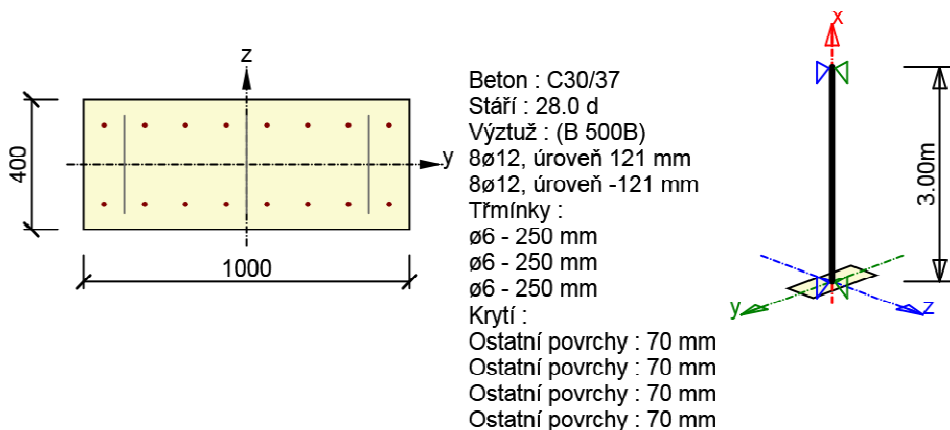
2.5. Řez Opěra - střed

2.5.1. Stručné shrnutí výsledků extrémů v řezu

Název extrému	Stáří	Využití	Status posudku
S 6 - E 1	28.0	48.65	✓
4 Stojka - střed - E 2	28.0	74.50	✓

2.5.2. Kritický extrém 4 Stojka - střed - E 2

Dimenzační dílec	Rám - opěra
Vyztužený průřez	R 5



2.5.2.1. Souhrn

Rozhodující typ posudku	N [kN]	EdM [kNm]	Ed,yM [kNm]	Ed,zV [kN]	EdT [kNm]	EdHodnota [%]	Posudek
Interakce	-1.00	57.03	0.00	81.00	0.00	74.50	OK
Typ posudku	N [kN]	EdM [kNm]	Ed,yM [kNm]	Ed,zV [kN]	EdT [kNm]	EdHodnota [%]	Posudek
Únosnost N-M-M	-1.00	57.03	0.00			41.73	OK
Smyk	-1.00			81.00	0.00	45.99	OK
Interakce	-1.00	57.03	0.00	81.00	0.00	74.50	OK
Omezení napětí	-1.00	39.00	0.00			7.90	OK
Šířka trhliny	-1.00	18.00	0.00			0.00	OK
Osa	l [m]		0λ [-]		λ [-]		lim
Štíhlost y [⊥]	3.00		25.98		1089.05		
Štíhlost z [⊥]	3.00		10.39		822.00		

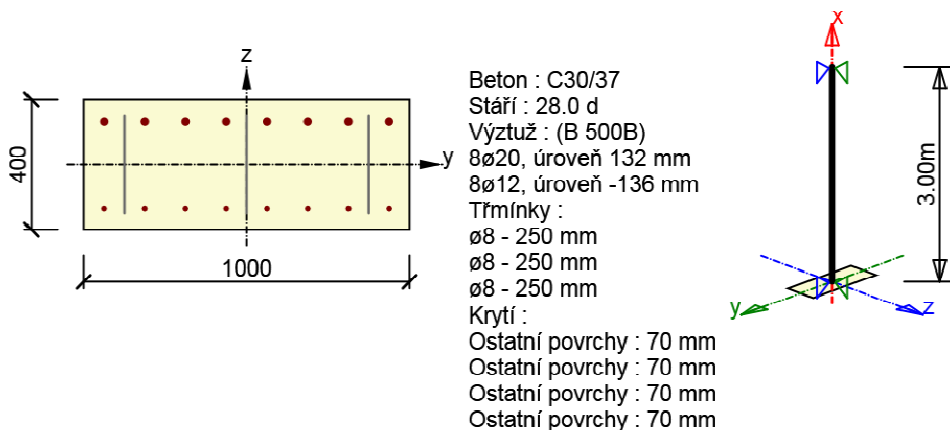
Mezní hodnota využití průřezu

100.00 %

2.6. Řez Opěra - rám. roh

2.6.1. Kritický extrém S 5 - E 1

Dimenzační dílec	Rám - opěra
Vyztužený průřez	R 11



2.6.1.1. Souhrn

Rozhodující typ posudku	N [kN]	EdM [kNm]	Ed,yM [kNm]	Ed,zV [kN]	EdT [kNm]	EdHodnota [%]	Posudek
Interakce	-297.00	-211.90	0.00	125.00	0.00	74.90	OK
Typ posudku	N [kN]	EdM [kNm]	Ed,yM [kNm]	Ed,zV [kN]	EdT [kNm]	EdHodnota [%]	Posudek
Únosnost N-M-M	-297.00	-211.90	0.00			53.13	OK
Smyk	-297.00			125.00	0.00	52.66	OK
Interakce	-297.00	-211.90	0.00	125.00	0.00	74.90	OK
Omezení napětí	-220.00	-145.00	0.00			60.53	OK
Šířka trhliny	-92.00	-57.00	0.00			0.00	OK
Osa	l [m]		0λ [-]		λ [-]		lim
Štíhlost y [⊥]	3.00		25.98		69.71		
Štíhlost z [⊥]	3.00		10.39		51.53		

Mezní hodnota využití průřezu

100.00 %

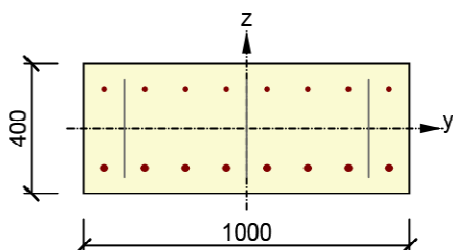
2.7. Řez Mostovka - střed

2.7.1. Stručné shrnutí výsledků extrémů v řezu

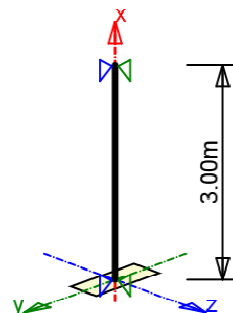
Název extrému	Stáří	Využití	Status posudku
1 Mostovka - střed - E 1	28.0	81.63	✓
1 Mostovka - střed - E 2	28.0	85.10	✓

2.7.2. Kritický extrém 1 Mostovka - střed - E 2

Dimenzační dílec	Rám - mostovka
Vyztužený průřez	R 3



Beton : C30/37
Stáří : 28.0 d
Výztuž : (B 500B)
8ø12, úroveň 121 mm
8ø20, úroveň -121 mm
Třmínky :
ø6 - 250 mm
ø6 - 250 mm
ø6 - 250 mm
Krytí :
Ostatní povrchy : 60 mm
Ostatní povrchy : 60 mm
Ostatní povrchy : 60 mm
Ostatní povrchy : 60 mm



2.7.2.1. Souhrn

Rozhodující typ posudku	N [kN]	EdM [kNm]	Ed,yM [kNm]	Ed,zV [kN]	EdT [kNm]	EdHodnota [%]	Posudek
Interakce	-1.00	208.03	0.00	100.00	0.00	85.10	OK
Typ posudku	N [kN]	EdM [kNm]	Ed,yM [kNm]	Ed,zV [kN]	EdT [kNm]	EdHodnota [%]	Posudek
Smyk	-1.00			100.00	0.00	50.63	OK
Interakce	-1.00	208.03	0.00	100.00	0.00	85.10	OK
Omezení napětí	-1.00	147.00	0.00			65.40	OK
Šířka trhliny	-1.00	63.00	0.00			0.00	OK
Osa				l [m]	0λ [-]	λ [-]	lim
Štíhlost y⊥				3.00	25.98	1183.72	
Štíhlost z⊥				3.00	10.39	888.00	

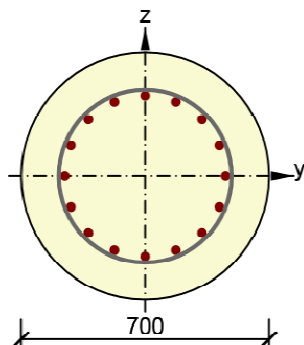
Mezní hodnota využití průřezu

100.00 %

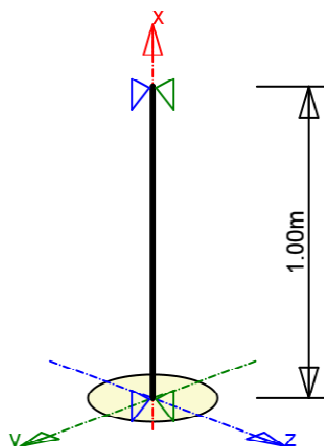
2.8. Řez Pilota - opěrná konstrukce

2.8.1. Kritický extrém S 2 - E 1

Dimenzační dílec	Piloty
Vyztužený průřez	R 7



Beton : C35/45
Stáří : 28.0 d
Výztuž : (B 500B)
1ø22, Pozice 0, 227 mm
2ø22, úroveň 210 mm
2ø22, úroveň 161 mm
2ø22, úroveň 87 mm
2ø22, úroveň 0 mm
2ø22, úroveň -87 mm
2ø22, úroveň -161 mm
2ø22, úroveň -210 mm
1ø22, Pozice 0, -227 mm
Třmínky :
ø12 - 200 mm
Krytí :
Rovnoměrné krytí : 100 mm



2.8.1.1. Souhrn

Rozhodující typ posudku	N [kN]	EdM [kNm]	Ed,yM [kNm]	Ed,zV [kN]	EdT [kNm]	EdHodnota [%]	Posudek
Smyk	-1.00			156.00	0.00	84.55	OK
Typ posudku	N [kN]	EdM [kNm]	Ed,yM [kNm]	Ed,zV [kN]	EdT [kNm]	EdHodnota [%]	Posudek
Únosnost N-M-M	-1.00	275.00	0.02			48.01	OK
Smyk	-1.00			156.00	0.00	84.55	OK
Interakce	-1.00	275.00	0.02	156.00	0.00	84.55	OK
Omezení napětí	-1.00	205.00	0.00			71.05	OK
Šířka trhliny	-1.00	115.00	0.00			0.00	OK
Konstrukční zásady	-1.00	275.00	0.00			66.67	OK
Osa				l [m]	0λ [-]	λ [-]	lim
Štíhlost y [⊥]				1.00	5.72	1308.45	
Štíhlost z [⊥]				1.00	5.72	1049.29	
Mezní hodnota využití průřezu				100.00 %			

VIII. NAVRŽENÁ VÝZTUŽ - USPOŘÁDÁNÍ

Mostovka			
Povrch	Vrstva	Typ	Profil
	1	Smyková - spony	12Φ8/m ²
Dolní (střed rozpětí)	2	Ohybová	8Φ20/m
	3	Rozdělovací	8Φ12/m
Horní (rámový roh)	2	Ohybová	8Φ20/m

	3	Rozdělovací	8Φ12/m
--	---	-------------	--------

Opěra			
Povrch	Vrstva	Typ	Profil
	1	Smyková - spony	12Φ8/m ²
Vnitřní (rámový roh)	2	Rozdělovací - vodorovná	8Φ12/m
	3	Ohybová - svislá	8Φ12/m
Vnější (rámový roh)	2	Rozdělovací - vodorovná	8Φ12/m
	3	Ohybová - svislá	8Φ20/m
Vnitřní (vetknutí)	2	Rozdělovací - vodorovná	8Φ12/m
	3	Ohybová - svislá	8Φ12/m
Vnější (vetknutí)	2	Rozdělovací - vodorovná	8Φ12/m
	3	Ohybová - svislá	8Φ20/m

Křídla			
Povrch	Vrstva	Typ	Profil
	1	Smyková - spony	12Φ10/m ²
Vnitřní - vetknutí do opěry	2	Vodorovná - ohybová	8Φ22/m
Vnitřní i vnější	2	Vodorovná	8Φ12/m
	3	Svislá	8Φ12/m

Piloty			
Umístění	Vrstva	Typ	Profil
Základ mostu	1	Třmínky	Φ12/200 mm
	2	Ohybová - svislá	16Φ25
Základ opěrné konstrukce	1	Třmínky	Φ12/200 mm
	2	Ohybová - svislá	16Φ22

Opěrná konstrukce na pilotovém základu - dřík			
Povrch	Vrstva	Typ	Profil
	1	Smyková - spony	12Φ8/m ²
Zasypaný	2	Rozdělovací - vodorovná	8Φ10/m; do výšky 1,0 m od pilotového prahu 8Φ12/m
	3	Ohybová - svislá	8Φ16/m
Pohledový	2	Rozdělovací - vodorovná	8Φ10/m; do výšky 1,0 m od pilotového prahu 8Φ12/m
	3	Svislá	8Φ12/m

Pilotový práh (nad pilotami mostu)

Povrch	Vrstva	Typ	Profil
	1	Smyková - třmínky	4Φ10/m (po obvodu) 3×4Φ6m (vnitřní)
Dolní	2	Ohybová	8Φ16
Horní	2	Ohybová	10Φ16

Úhlová zeď - dřík



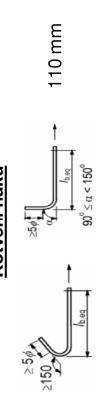
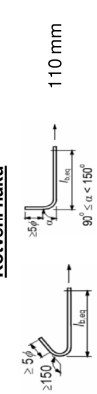
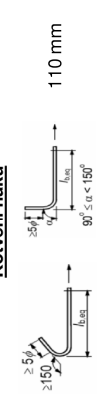
Povrch	Vrstva	Typ	Profil
	1	Smyková - spony	12Φ8/m ²
Vnitřní (zasypaný)	2	Rozdělovací - vodorovná	8Φ10/m; do výšky 1,0 m od základové desky 8Φ12/m
	3	Svislá - ohybová	8Φ16/m
Vnější	2	Rozdělovací - vodorovná	8Φ10/m; do výšky 1,0 m od základové desky 8Φ12/m
	3	Svislá	8Φ10/m


Úhlová zeď - základová deska

Povrch	Vrstva	Typ	Profil
	1	Smyková - spony	12Φ8/m ²
Dolní	2	Ohybová	8Φ10/m
	3	Rozdělovací	8Φ10/m;
Horní	2	Ohybová	8Φ16/m
	3	Rozdělovací	8Φ10/m;

Dimenze výztuže jsou počítány pro směr výztuže kolmý na opěry. Pokud bude zvoleno vyztužení mostovky rovnoběžné s osou vozovky, je nutné plochy výztuže přepočítat dle cosinu příslušného úhlu. V praxi to znamená zvětšení ploch výztuže cca o 15% pro ohybovou výztuž mostovky.

IX. KONSTRUKČNÍ ZÁSADY PRO VÁZANOU VÝZTUŽ

Konstrukční uspořádání vázané výztuže			
Materiály		Konstrukční zásady	
ocel: B 500 B f_{yk} = 500 MPa c = 60 mm V_s = 1.15 s = 125 mm f_{yd} = 435 MPa Ø = 22 mm největší zrna E_y = 200.0 GPa	beton: C30/37 $f_{ak,005}$ = 2.00 MPa f_{cd} = 20.00 MPa d_g = 22 mm $f_{cd} = \alpha_{ct} f_{ct,k,0.05} / \gamma_c = 1.33 \text{ MPa}$	Kotvení podélné výztuže $f_{cd} = 2.25 \cdot \eta_1 \cdot \eta_2 \cdot f_{cd} = 2.25 \cdot 0.7 \cdot 1 \cdot 1.33 = 2.10 \text{ MPa}$ <input type="checkbox"/> úhel alfa mezi 45 a 90 st <input type="checkbox"/> výztuž je v dolních 250mm (spodní výztuž) <input type="checkbox"/> výztuž je v horních 300mm (horní výztuž) $l_{b,req} = (\phi / 4) \cdot (\sigma_{sd} / f_{cd}) = 5.5 \cdot 435 / 2.10 = 1139 \text{ mm}$ (měř se na osu) $l_{bd} = \alpha_1 \cdot \alpha_2 \cdot \alpha_3 \cdot \alpha_5 \cdot l_{b,req} = 1 \cdot 1139 = 1138.7 \text{ mm}$ $l_{b,min} = \max (10 \phi ; 220 \text{ mm} ; 100 \text{ mm}) = 220 \text{ mm}$ 	
Geometrie h = 500 mm		Kotvení třmínek 	
Konstrukční zásady Minimální vzdálenost prutů světélá vzdálenost: $\max (1.2 \cdot \phi = 26 \text{ mm} ; d_g + 5 = 27 \text{ mm} ; 20 \text{ mm})$ osová vzdálenost: 49 mm		Kotvení háků 	
Maximální vzdálenost prutů u desek hlavní výztuž: $\min (2 \cdot h = 1000 \text{ mm} ; 300 \text{ mm})$ rozdělovací výztuž: $\min (3.5 \cdot h = 1750 \text{ mm} ; 450 \text{ mm})$		Přesahy nosné výztuže 100% se stykují pouze při 1 vrstvě v průřezu a zároveň světélá vzdálenosti sousedních prutů > 2 phi. U tlačných prutů a rozdělovací výztuže je možné stykovat 100% vždy. množství stykované výztuže: $p_1 = 100\%$ $l_0 = \alpha_1 \cdot \alpha_2 \cdot \alpha_3 \cdot \alpha_5 \cdot l_{b,req} = 1 \cdot 1.50 \cdot 1138.7 = 1708 \text{ mm}$ $l_{0,min} = \max (15 \phi = 330 \text{ mm} ; 200 \text{ mm}) = 330 \text{ mm}$ Příčná výztuž přesahu: $\phi 12 \text{ mm}$ Příčná výztuž musí být tvořena min. 4 pruty na délku přesahu. Pokud je hlavní výztuž tlačná, přidává se 1 profil příčné výztuže na každou stranu. 	
Maximální rozestupy smykové výztuže u trámů třmínky (světlé) podélné: $\min (0.75 \cdot d = 338 \text{ mm} ; 400 \text{ mm})$ třmínky příčné (vzdál. větví): $\min (0.75 \cdot d = 338 \text{ mm} ; 600 \text{ mm})$ ohnyby podélné: $s_{b,max} = 0.6 \cdot d \cdot (1 + \cot \alpha) = 540 \text{ mm}$		Minimální průměry zakřivení vnitřní - porušení výztuže: na osu: $r_{min} = 7 \phi = 154 \text{ mm}$ $r_{min} = 176 \text{ mm}$	
Minimální průměry zakřivení (vnitřní průměr) při plném využití prutu, například v rámovém rohu $\phi_{h,min} \geq F_{xt} \cdot (1/a_b) + 1/(2 \cdot \phi) / f_{cd} = 165.3 \cdot (1/22) / 2.10 = 320 \text{ mm}$ na osu: $r_{min} = 342 \text{ mm}$			

 PUDIS akciová společnost	Stavba:	Rekonstrukce průtahu silnic III/37418, 37417 a mostu č.e. 37417-1 v obci Letovice – Podolí
	Objekt:	SO 201 Most č.e. 37417-1

	Beton C30/37											
	6	8	10	12	14	16	18	20	25	28	32	φ
kotvení dobré podmínky	218	290	363	435	508	580	653	725	906	1015	1160	36,3
kotvení špatné podmínky	311	414	519	621	726	829	933	1036	1294	1450	1657	51,9
stykování dobré podmínky	327	435	545	653	762	870	980	1088	1359	1523	1740	54,5
stykování špatné podmínky	467	621	778	932	1089	1243	1399	1554	1941	2175	2486	77,9

Tloušťka krycí vrstvy byla určena dle [5]. Minimální krytí výztuže byla stanovena na 40 mm a hodnota nominálního krytí na 50 mm.